



TUGAS AKHIR – RC18 – 4803

**PERENCANAAN PERKUATAN TANAH PADA
KELONGSORAN TALUD RSUD BALIKPAPAN
DENGAN KOMBINASI *SEGMENTAL BLOK*
*GEOGRID DAN GROUND ANCHOR***

SLAMET ROHADI BUDI PRASETYO
NRP. 03111745000029

Dosen Pembimbing I
Putu Tantri Kumala Sari, ST., MT.

Dosen Pembimbing II
Ir. Suwarno, M.Eng.

DEPARTEMEN TEKNIK SIPIL
Fakultas Teknik Sipil, Lingkungan, dan Kebumian
Institut Teknologi Sepuluh Nopember
Surabaya 2019



TUGAS AKHIR (RC18-4803)

**PERENCANAAN PERKUATAN TANAH PADA
KELONGSORAN TALUD RSUD BALIKPAPAN DENGAN
KOMBINASI *SEGMENTAL BLOK GEORGRID* DAN
*GROUND ANCHOR***

SLAMET ROHADI BUDI PRASETYO

NRP.03111745000029

Dosen Pembimbing I
Putu Tantri Kumalasari, ST.MT

Dosen Pembimbing II
Ir.Suwarno, M.eng

JURUSAN TEKNIK SIPIL
Fakultas Teknik Sipil Lingkungan dan Kebumian
Institut Teknologi Sepuluh Nopember
Surabaya 2019

“Halaman ini sengaja dikosongkan...”



FINAL PROJECT (RC18-4803)

**SLOPE REINFORCEMENT PLANNING IN CASE OF
LANDSLIDES AT RSUD BALIKPAPAN WITH COMBINATION
OF SEGMENTAL BLOCK GEOGRID AND GROUND ANCHOR**

SLAMET ROHADI BUDI PRASETYO
NRP.03111745000029

Academic Supervisor I
Putu Tantri Kumalasari, ST.MT

Academic Supervisor II
Ir.Suwarno, M.eng

DEPARTEMEN OF CIVIL ENGINEERING
Faculty of Civil Engineering and Planning
Institut Teknologi Sepuluh Nopember
Surabaya 2019

“Halaman ini sengaja dikosongkan ...”

**PERENCANAAN PERKUATAN TANAH PADA
KELONGSORAN TALUD RSUD BALIKPAPAN DENGAN
KOMBINASI SEGMENTAL BLOK GEOGRID DAN GROND
ANCHOR**

TUGAS AKHIR

Diajukan Untuk Memenuhi Salah Satu Syarat
Memperoleh Gelar Sarjana Teknik
Pada
Bidang Geoteknik
Program Studi S-1 Jurusan Teknik Sipil
Fakultas Teknik Sipil Lingkungan dan Kebumian

Oleh

SLAMET ROHADI BUDI PRASETYO

NRP.03111715000029

Disetujui oleh Pembimbing I Tugas Akhir:

1. Putu Tantri Kunungan ST MT DEPARTEMEN TEKNOLOGI DAN TEKNIK SIPIL (Pembimbing I)
2. Ir.Suwarno, M.Eng DEPARTEMEN TEKNIK SIPIL (Pembimbing II)

**SURABAYA
JULI, 2019**

“Halaman ini sengaja dikosongkan....”

PERENCANAAN PERKUATAN TANAH PADA KELONGSORAN TALUD RSUD BALIKPAPAN DENGAN KOMBINASI SEGMENTAL BLOK GEOGRID DAN GROUND ANCHOR

Nama Mahasiswa : Slamet Rohadi Budi Prasetyo
Nrp : 03111745000029
Jurusan/Fakultas : Teknik Sipil/ FTSLK ITS
Dosen Konsultasi : Putu Tantri Kumala Sari, ST.MT
Ir.Suwarno, M.Eng

ABSTRAK

Daerah dengan topografi berbukit sangat rawan apabila dilakukan pembangunan infrastruktur di atasnya. Kondisi ini akan lebih berbahaya apabila terdapat hujan dengan intensitas tinggi di wilayah tersebut yang akan dapat menimbulkan masalah seperti longsor yang terjadi di talud RSUD Balikpapan. Kelongsoran terjadi pada saat pekerjaan land clearing disertai dengan hujan deras dalam jangka waktu yang relatif lama. Pada awalnya, masalah kelongsoran tersebut telah diatasi dengan diberi perkuatan bored pile dan juga dilengkapi dengan pemasangan drainase horizontal pada permukaan tanah. Namun, pada jangka waktu kurang lebih 11 bulan berikutnya, terjadi kelongsoran baru pada bagian yang telah diperbaiki. Pada Tugas akhir sebelumnya yang disusun oleh Mita Octavenia (2017), sudah dirancang perkuatan tanah pada kelongsoran talud Balikpapan menggunakan Ground Anchor dan Soldier pile. Akan tetapi metode ini tidak bisa diterapkan khususnya pada pekerjaan Soldier pile karena keterbatasan lahan yang tersedia. Untuk itu, jenis alternatif perkuatan yang digunakan dalam tugas akhir ini adalah perkuatan tanah menggunakan kombinasi Segmental Blok, Geogrid dan Ground Anchor yang dirasa sesuai dengan kondisi lapangan.

Hasil analisa menunjukkan bahwa kelongsoran pertama terjadi karena stabilitas talud yang rendah dan perkuatan bored pile dengan diameter 80 cm yang ada dilapangan tidak memenuhi syarat stabilitas karena asumsi yang digunakan tidak sama dengan asumsi yang ada dilapangan. Asumsi yang lebih mendekati kenyataan dilapangan adalah asumsi behaving like sand. Untuk tipe perkuatan yang digunakan pada Tugas akhir ini, digunakan 6 buah Ground anchor dengan jarak 2 m dengan tipe yang berbeda pada setiap potongan. Gaya anchor maksimum sebesar 603 kN dengan panjang grouting 13 m. Gaya tarik maksimum yang diterima oleh Geogrid sebesar 73,2 kN/m sehingga digunakan Geogrid dengan kapasitas yang tarik yang lebih tinggi dari gaya yang terjadi. Segmental Blok yang digunakan memiliki dimensi panjang 585 mm, lebar 300 mm , tinggi 200 mm dan berat 40 kg/segmen. Berdasarkan analisa bearing capacity dinyatakan aman dengan SF= 3,8 dengan $Q_{ult} = 7244 \text{ kN/m}^2$ dan $Q_{act} = 1823,36 \text{ kN/m}^2$ dimana Q_{act} diperoleh dari total berat Segmental Blok.

Kata Kunci: Geogrid, Ground Anchor, Segmental Blok, Perkuatan Talud

SLOPE REINFORCEMENT PLANNING IN CASE OF LANDSLIDES AT RSUD BALIKPAPAN WITH COMBINATION OF SEGMENTAL BLOCK GEOGRID AND GROUND ANCHOR

Student Name : Slamet Rohadi Budi Prasetyo
Nrp : 03111745000029
Major/Faculty : Teknik Sipil/ FTSLK ITS
**Under Supervision : Putu Tantri Kumala Sari, ST.MT
Ir.Suwarno, M.Eng**

ABSTRAK

Areas with hilly topography are very prone to the development of infrastructure on it. This condition will be more dangerous if there is rain with high intensity in the region that will be able to cause such a landslide that occurs in slope of the RSUD Balikpapan. The Landslide occurs when land clearing jobs are accompanied by heavy rains for a relatively long period of time. At first, the problems of the loosening were addressed by being given bored pile reinforcement and also equipped with the installation of horizontal drainage at ground level. However, over the next 11 months, a new sliding occurs in the repaired section. At the previous final project compiled by Mita Octavenia (2017), it has been designed to strengthen the land in Balikpapan talud Kelongsoran using Ground Anchor and Soldier pile. But this method can not be applied especially on the work of Soldier pile because of limited land available. For that, the alternative type of attachment used in this final project is the slope reinforcement with combination of segmental block, Geogrid and Ground Anchor which is felt according to the condition of the field.

The results of the analysis showed that the first sliding was due to the low stability of slope and the bored pile in which there was a 80 cm in the field which was not qualified due to stability. Its happened because the assumptions used is not equal to the existing

assumptions Field. Assumptions closer to the reality of the field are assuming behaving like sand. For the reinforcement used in this final project, it is used 6 Ground anchors with a distance of 2 m with different types on each piece. The maximum anchor force is 603 kN with a grouting length of 13 m. The maximum tensile force received by Geogrid amounted to 73.2 kN/m so that the Geogrid is used with a higher tensile capacity than the style that occurs. Segmental blocks used have a dimension length of 585 mm, width 300 mm, height 200 mm and weight 40 kg/segment. Based on bearing capacity analysis is safe with SF = 3.8 with Qult = 7244 kN/m² and Qact = 1823.36 kN/m² where Qact is obtained from the total weight of Segmental block.

Keyword: Geogrid, Ground Anchor, Segmental Block , Slope Reinforcement

KATA PENGANTAR

Alhamdulillah puji syukur kehadirat Allah SWT karena atas rahmat, taufiq serta hidayah-Nya penulis dapat menyelesaikan Tugas Akhir ini tepat pada waktunya yang berjudul “**PERENCANAAN PERKUATAN TANAH PADA KELONGSORAN TALUD RSUD BALIKPAPAN DENGAN KOMBINASI SEGMENTAL BLOK GEOGRID DAN GROUND ANCHOR.**”

Tugas akhir ini diajukan sebagai persyaratan gelar kesarjanaan jurusan Teknik Sipil, Fakultas Teknik Sipil Lingkungan dan Kebumian, Institut Teknologi Sepuluh Nopember Surabaya. Penulis Berharap Tugas Akhir ini dapat berguna bagi semua pihak dalam pengaplikasian ilmu dan teknologi dalam masyarakat. Penulis menyadari bahwa Tugas Akhir ini masih terdapat kekurangan, untuk itu segala saran dan masukan sangat diharapkan.

Adapun dalam proses penyusunan Tugas Akhir ini penulis memperoleh bantuan dan bimbingan serta banyak dukungan dari berbagai pihak. Oleh karena itu, penulis mengucapkan banyak terima kasih kepada:

1. Orang Tua penulis yang selalu memberikan motivasi untuk menyelesaikan Tugas Akhir in
2. Putu Tantri Kumalasari, ST.MT dan Ir.Suwarno. M.eng , sebagai dosen pembimbing Tugas Akhir yang dengan sabar memberikan tenaga dan waktu dalam membimbing hingga terselesaiannya Tugas Akhir ini.
3. Seluruh dosen dan karyawan yang ada di Jurusan Teknik Sipil ITS khususnya bidang Geoteknik.
4. Teman-teman jurusan Teknik Sipil Lintas Jalur 2017 yang telah memberi dukungan dan semangat selama masa perkuliahan.

5. Sahabat-sahabatku kos yang selalu memberi dukungan dan bantuan, M. Hamzah Al Amien, A. Rizal Fathoni, Misbahul Karim, Rizal Akbar, Wahyu dan Arif.

Semoga Tugas Akhir ini dapat memberikan manfaat dan menambah Wawasan bagi rekan Sedisiplin Ilmu ini. Penulis juga memohon maaf atas kekurangan yang ada pada buku Tugas Akhir ini.

Surabaya, Juli 2019

Penulis

DAFTAR ISI

Halaman Judul	i
Lembar Pengesahan	v
Abstrak	vii
Kata Pengantar	xi
Daftar Isi	xiii
Daftar Gambar	xvii
Daftar Tabel	xxi
BAB I	1
1.1 Latar Belakang	1
1.2 Rumusan Masalah	5
1.3 Tujuan	6
1.4 Manfaat	6
1.5 Ruang Lingkup Pekerjaan	6
1.6 Batasan Masalah	6
BAB II	7
2.1 Jenis Tanah dan Perilakunya	7
2.1.1 Jenis Tanah	7
2.1.2 Tanah Kohesif dan Non Kohesif Pada Talud	7
2.1.3 Tanah Behaving Like Sand	8
2.2 Korelasi Parameter Data Tanah	9
2.2.1 Data Lapangan	9
2.2.2 Data Laboratorium	10
2.2.3 Korelasi Nilai Paramter Tanah	10
2.3 Tipe Kelongsoran	12
2.3.1 Kelongsoran Pada Talud Menerus	12
2.3.2 Kelongsoran Pada Talud Tinggi Terbatas	19
2.3.3 Faktor-faktor Penyebab Kelongsoran	20
2.4 Tekanan Tanah Lateral	21
2.4.1 Tekanan Tanah Aktif	22
2.4.2 Tekananan Tanah Pasif	23
2.5 Analisis Stabilitas Talud	24

2.5.1 Konsep Stabilitas	24
2.5.2 Analisa Metode <i>Bishop</i>	26
2.5.3 Analisa Stabilitas Talud dengan Program Bantu <i>Geoslope</i>	28
2.6 Perencanaan Perkuatan dengan <i>Ground Anchor</i>	29
2.6.1 Komponen <i>Ground Anchor</i>	30
2.6.2 Tipe-tipe <i>Ground Anchor</i>	31
2.6.3 Metode <i>Ground Anchor</i>	32
2.6.4 Perencanaan <i>Ground Anchor</i>	35
2.7 Perencanaan Perkuatan Lereng Tegak	37
2.7.1 Perencanaan Perkuatan dengan <i>Bored Pile</i>	37
2.7.2 Perencanaan Perkuatan dengan <i>Segmental Blok</i> dan <i>Geogrid</i>	38
2.7.3 Perencanaan Perkuatan dengan Kombinasi <i>Segmental Blok</i> <i>Geogrid</i> dan <i>Ground Anchor</i>	39
BAB III	43
3.1 Diagram Alir Perencanaan	43
3.2 Metodologi Penggerjaan Tugas Akhir	45
3.3 Jadwal Penggerjaan Tugas Akhir	47
BAB IV	49
4.1 Analisa Data Tanah	49
4.1.1 Data Lapangan	49
4.1.2 Data Laboratorium	52
4.1.3 Penyelidikan Data Lapisan Tanah	52
4.1.4 Data Lapisan Tanah Asumsi <i>Behaving Like Sand</i>	54
4.2 Analisa Topografi dan Pemodelan Talud	55
4.3 Analisa Stabilitas Talud	60
4.3.1 Analisa Talud Kondisi Awal	60
4.3.2 Analisa Perkuatan Eksisting	67
4.4 Data Perencanaan Perkuatan Talud	70
4.4.1 Data <i>Ground Anchor</i>	70
4.4.2 Data <i>Geogrid</i>	71
4.4.3 Data <i>Segmental Blok</i>	71

BAB V	73
5.1 Data Perkuatan Talud	73
5.1.2 Data <i>Ground Anchor</i>	73
5.1.3 Data <i>Geogrid</i>	73
5.1.4 Data <i>Segmental Blok</i>	73
5.2 Perencanaan Perkuatan Talud dengan Kombinasi <i>Segmental Blok Geogrid</i> dan <i>Ground Anchor</i>	74
5.2.1 Perhitungan <i>Ground Anchor</i>	74
5.2.2 Kontrol Kapasitas Tarik <i>Geogrid</i>	79
5.2.3 Kontrol <i>Bearing Capacity</i>	85
5.3 Metode Pelaksanaan Perkuatan Talud dengan Kombinasi <i>Segmental Blok Geogrid</i> dan <i>Ground Anchor</i>	87
5.4.1 Pemasangan <i>Segmental Blok</i> dan <i>Geogrid</i> pada Timbunan	88
5.4.2 Pemasangan <i>Ground Anchor</i>	91
BAB VI	
6.1 Kesimpulan	93
6.2 Saran	94
Daftar Pustaka	95
Lampiran 1	93
Lampiran 2	105
Lampiran 3	106
Lampiran 4	110
Lampiran 5	113

“Halaman ini sengaja dikosongkan”

DAFTAR GAMBAR

Gambar 1.1 Kota Balikpapan Indonesia	2
Gambar 1.2 Peta Topografi RSUD Balikpapan	3
Gambar 1.3 Lokasi Kelongsoran RSUD Balikpapan	3
Gambar 1.4 Ilustrasi Perkuatan <i>Bored Piled</i> yang Terkena Longsor	4
Gambar 2.1 Ilustrasi Gaya yang Bekerja Pada Talud Menerus Tanpa Rembesan	13
Gambar 2.2 Ilustrasi Gaya yang Bekerja Pada Talud Menerus dengan Rembesan	16
Gambar 2.3 Ilustrasi Gaya yang Bekerja Pada Talud Menerus dengan Rembesan	18
Gambar 2.4 Kekuatan Geser Tanah	25
Gambar 2.5 Keseimbangan pada Bidang Miring	26
Gambar 2.6 Sistem Gaya pada Suatu Elemen Menurut <i>Bishop</i>	27
Gambar 2.7 Harga ma untuk Persamaan Bishop	28
Gambar 2.8 Komponen <i>Ground Anchor</i>	29
Gambar 2.9 Tipe-tipe <i>Ground Anchor</i>	32
Gambar 2.10 Metode jangkar dengan tabung tekanan	33
Gambar 2.11 Metode jangkar dengan inti yang dipancang	34
Gambar 2.12 Metode pelat jangkar	34
Gambar 2.13 Metode jangkar dengan membesarkan bagian bawah	35
Gambar 2.14 Jenis-jenis <i>Bored Pile</i>	37
Gambar 2.15 pemasangan dinding penahan beton segmental dan geogrid	39
Gambar 2.16 Perkuatan Lereng dengan Kombinasi Segmental blok, Geogrid dan Ground Anchor	40
Gambar 2.17 Detail perkuatan kombinasi segmental blok, geogrid dan <i>ground anchor</i>	41
Gambar 2.19 Aplikasi lapangan perkuatan talud kombinasi <i>Segmental Blok, Geogrid</i> dan <i>Ground Anchor</i>	42

Gambar 3.1 Digram Alir Perencanaan	43
Gambar 4.1 Lokasi Pengujian Sondir	49
Gambar 4.2 Grafik sondir	50
Gambar 4.3 <i>Statigrafi</i> jenis lapisan tanah melintang	52
Gambar 4.4 <i>Statigrafi</i> jenis lapisan tanah memanjang	55
Gambar 4.5 Lapisan <i>Behaving Like Sand</i>	55
Gambar 4.6 <i>Lay out</i> lokasi perencanaan	56
Gambar 4.7 Geometri Talud untuk P1	57
Gambar 4.8 Geometri talud untuk P2	57
Gambar 4.9 Geometri talud untuk P3	58
Gambar 4.10 Geometri Talud P4	58
Gambar 4.11 Geometri Talud P5	59
Gambar 4.12 Geometri Talud P6	59
Gambar 4.13 Bidang Kelongsoran Pada Potongan 1	60
Gambar 4.14 <i>Safety factor</i> terkritis pada potongan 1	61
Gambar 4.15 Bidang Kelongsoran Pada Potongan 2	61
Gambar 4.16 <i>Safety Factor</i> terkritis pada potongan 2	62
Gambar 4.17 Bidang Kelongsoran pada potongan 3	62
Gambar 4.18 <i>Safety Factor</i> terkritis pada potongan 3	63
Gambar 4.19 Bidang Kelongsoran pada potongan 4	63
Gambar 4.20 <i>Safety Factor</i> terkritis potongan 4	64
Gambar 4.21 Bidang Kelongsoran pada potongan 5	64
Gambar 4.22 <i>Safety Factor</i> terkritis Potongan 5	65
Gambar 4.23 Bidang Kelongsoran pada potongan 6	65
Gambar 4.24 <i>Safety Factor</i> terkritis potongan 6	66
Gambar 4.25 Bidang Kelongsoran talud dengan perkuatan eksisting (<i>bored pile</i>) dengan data tanah asli	68
Gambar 4.26 Safety Factor Talud dengan perkuatan eksisting dengan data tanah asli	68
Gambar 4.27 Bidang Kelongsoran talud dengan perkuatan eksisting (<i>bored pile</i>) dengan asumsi behaving like sand	69
Gambar 4.28 Safety Factor talud dengan perkuatan eksisting asumsi behaving like sand	70

Gambar 5.1 Hasil <i>Running Geoslope</i> Potongan 2.....	74
Gambar 5.2 Koordinat Kelongsoran dan sudut Anchor	75
Gambar 5.3 Penguraian Gaya Anchor	77
Gambar 5.4 Lapisan tanah timbunan	80
Gambar 5.5 Tegangan lateral efektif	83
Gambar 5.6 Tegangan lateral akibat air	83
Gambar 5.7 Gaya yang bekerja pada <i>Geogrid</i>	84
Gambar 5.8 Pondasi/Dudukan <i>Segmental Blok</i>	85
Gambar 5.9 Perkuatan <i>Segmental blok, geogrid</i> dan <i>Ground Anchor</i>	87
Gambar 5.10 Perbaikan tanah dasar <i>Segmental Blok</i>	88
Gambar 5.11 Ilustrasi Pondasi Dasar Segmental	89
Gambar 5.12 Kontrol Elevasi antar Segmental blok	90
Gambar 5.13 Pemasangan <i>Segmental blok geogrid</i> pada <i>Ground Anchor</i>	90

“Halaman ini sengaja dikosongkan”

DAFTAR TABEL

Tabel 2.1 Tabel korelasi data tanah <i>Bowles</i>	11
Tabel 2.2 Konsistensi tanah untuk tanah dominan lempung	11
Tabel 2.3 Klasifikasi tanah berdasarkan data Sondir	12
Tabel 3.1 Jadwal Pengerjaan Tugas Akhir	47
Tabel 4.1 Klasifikasi lapisan tanah berdasarkan N-SPT	51
Tabel 4.2 Klasifikasi lapisan tanah berdasarkan Hambatan Konus	51
Tabel 4.3 Hasil rekapitulasi dari tes sodir dan uji laboratorium dilokasi perencanaan.	53
Tabel 4.3 Konsistensi tanah (untuk tanah dominan lanau dan lempung).	53
Tabel 4.4 Data tanah <i>behaving like sand</i>	54

“Halaman ini sengaja dikosongkan”

BAB I

PENDAHULUAN

1.1 Latar Belakang

Topografi di wilayah Indonesia memiliki bentuk yang bervariasi, antara lain yaitu terdapat banyak dataran tinggi, bukit, dan pegunungan yang memiliki ketinggian serta kemiringan yang berbeda-beda. Daerah yang memiliki topografi yang tidak rata seperti tebing, lereng bukit dan pegunungan, sangat rawan apabila dilakukan pembangunan infrastruktur diatasnya. Kondisi ini akan lebih berbahaya apabila terdapat hujan dengan intensitas yang cukup tinggi mengingat wilayah Indonesia termasuk dalam wilayah yang beriklim tropis. Kondisi-kondisi tersebut dapat menimbulkan berbagai macam masalah diantaranya adalah tanah longsor.

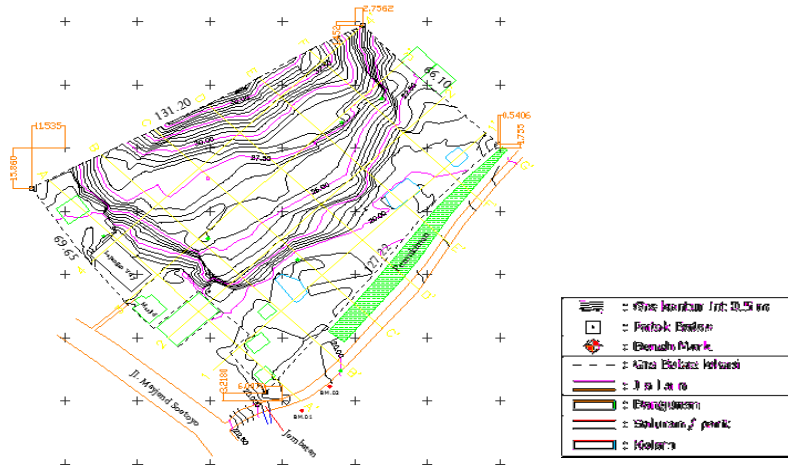
Seperti halnya kota Balikpapan (Gambar 1.1) yang memiliki kontur tanah berbukit-bukit dan struktur tanahnya terdiri atas tanah podsolk merah kuning, tanah aluvial dan pasir kwarsa. Diantara ketiga jenis tanah tersebut, jenis tanah podsolk merah kuning adalah yang paling mendominasi, dimana tanah ini bersifat labil dan pada umumnya memiliki tekstur kasar seperti lempung berpasir (Suharta dan Prasetyo 1986). Keadaan kontur dan karakteristik tanah seperti itu mudah terkikis dan membuat tanah tidak stabil apabila terjadi hujan dengan intensitas yang tinggi sehingga mudah terjadi longsor. (Data tanah lebih lanjut dapat dilihat pada Lampiran 1).

Salah satu peristiwa kelongsoran akibat ketidakstabilan tanah terjadi pada proyek gedung RSUD kota Balikpapan yang memiliki kontur tanah yang tidak rata atau naik turun seperti yang terlihat pada (Gambar 1.2). Kelongsoran tersebut terjadi pada tebing dibagian sisi barat dari lokasi gedung RSUD Balikpapan) serta terletak dekat dengan pemukiman warga dan PT.Indomarco. seperti yang terlihat pada (Gambar 1.3).

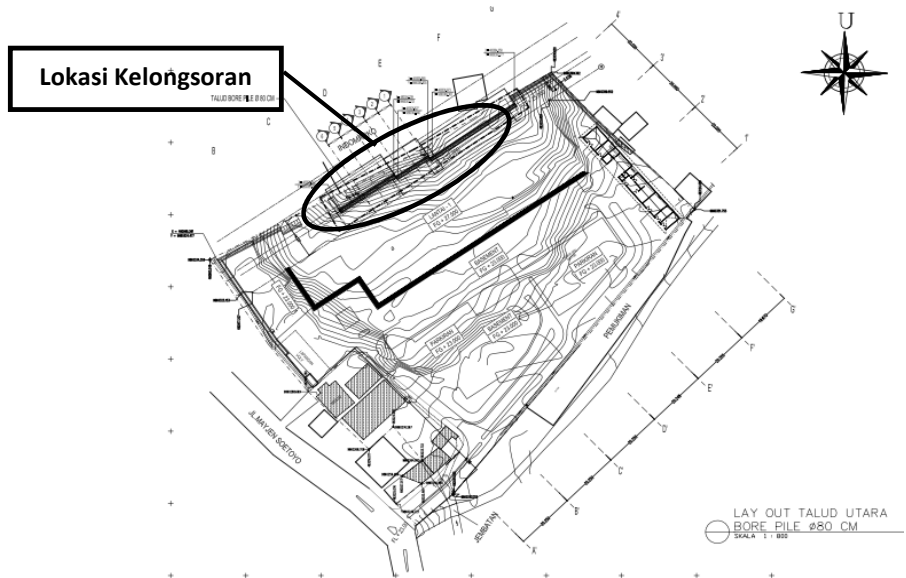


Gambar 1.1 Kota Balikpapan, Indonesia

Sumber : Data Sekunder

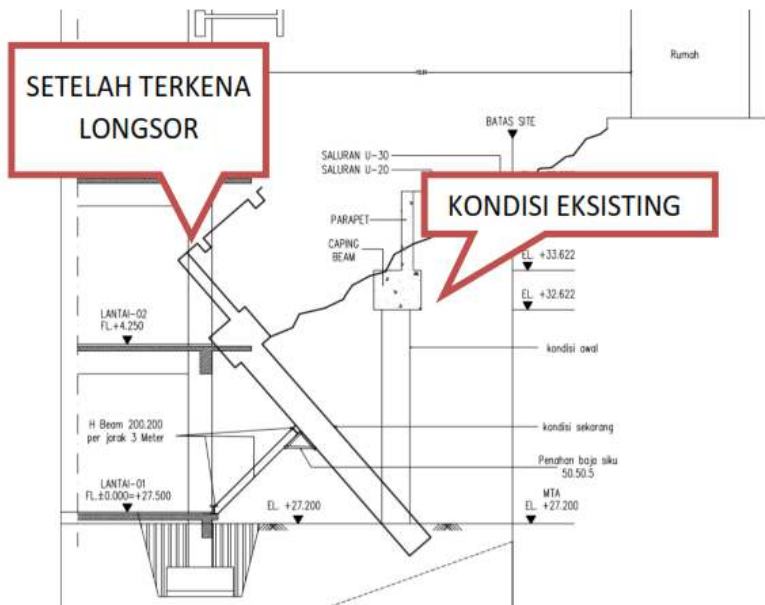


Gambar 1.2 Peta Topografi RSUD Balikpapan
Sumber : Data Sekunder



Gambar 1.3 Lokasi Kelongsoran RSUD Balikpapan
Sumber : Data Sekunder

Kelongsoran pada RSUD Balikpapan terjadi pada saat pekerjaan *land clearing* disertai dengan hujan deras dalam jangka waktu yang relatif lama. Pada awalnya, masalah kelongsoran tersebut telah diatasi dengan diberi perkuatan *bored pile* dan juga dilengkapi dengan pemasangan drainase horizontal pada permukaan tanah. Namun, pada jangka waktu kurang lebih 11 bulan berikutnya, terjadi kelongsoran baru pada bagian yang telah diperbaiki akibat adanya hujan dengan intensitas tinggi, sebagai akibatnya dinding *bored pile* pada bagian atas juga ikut ambruk membebani sisi gedung rumah sakit yang berdekatan seperti yang terlihat pada (Gambar 1.4).



Gambar 1.4 Ilustrasi perkuatan *bored pile* yang terkena longsor
Sumber : Data Sekunder

Akibat terjadinya kelongsoran tersebut, maka dilakukan evaluasi dan desain perkuatan tanah yang baru mengingat bahwa lereng di RSUD Balikpapan termasuk tanah keras dan lereng tersebut memiliki kemiringan yang curam. Pada Tugas akhir sebelumnya yang disusun oleh Mita Octavenia (2017), sudah dirancang perkuatan tanah pada kelongsoran talud Balikpapan menggunakan *Ground Anchor* dan *Soldier pile*. Akan tetapi metode ini tidak bisa diterapkan khususnya pada pekerjaan *Soldier pile* karena keterbatasan lahan yang tersedia. Sebagai akibatnya desain alternatif perkuatan perlu disesuaikan kembali dengan kondisi eksisting daerah tersebut. Untuk itu, jenis alternatif perkuatan tanah yang digunakan dalam tugas akhir ini adalah perkuatan tanah menggunakan kombinasi *Segmental block*, *geogrid* dan *Ground Anchor* karena perkuatan tersebut dirasa paling tepat dan sesuai dengan permasalahan dan kondisi eksisting yang ada. Metode ini sudah berhasil diterapkan oleh PT. TenCate Mirafi pada perkuatan tanah di komplek Apartemen Pa Ju, Kota Seoul Korea Selatan pada tahun 2010.

1.2 Rumusan Masalah

Berdasarkan latar belakang diatas, maka terdapat permasalahan umum yang akan diselesaikan yaitu merecanaakan perkuatan talud menggunakan kombinasi *Segmental block* , *Geogrid* dan *Ground Anchor* agar tidak longsor. Adapun rincian permasalahan dalam tugas akhir ini:

- a. Bagaimana kondisi tanah berserta parameter-parameternya yang sebelum dan sesudah terjadi kelongsoran?
- b. Bagaimana stabilitas talud di daerah RSUD Balikpapan ?
- c. Bagaimana desain perkuatan tanah menggunakan kombinasi *Segmental blok* , *Geogrid* dan *Ground Anchor* di kelongsoran talud RSUD Balikpapan yang dapat dilaksanakan pada luas lahan yang terbatas?

- d. Bagaimana metode pelaksanaan perkuatan tanah menggunakan kombinasi *Segmental blok*, *Geogrid* dan *Ground Anchor*?

1.3 Tujuan

Dari permasalahan diatas, adapun tujuan yang ingin dicapai dalam penyusunan tugas akhir ini yaitu mengetahui stabilitas talud di daerah RSUD Balikpapan dan merencanakan perkuatan talud menggunakan kombinasi *Segmental blok*, *Geogrid* dan *Ground Anchor*.

1.4 Manfaat

Tugas akhir ini diharapkan dapat memberikan gambaran tentang analisa stabilitas lereng pada RSUD Balikpapan serta perkuatan tanah yang sesuai dengan kondisi daerah tersebut sehingga bisa bermanfaat bagi pihak rumah sakit dan instansi pemerintah untuk mencegah terjadinya kelongsoran pada lereng.

1.5 Ruang Lingkup Pekerjaan

Adapun ruang lingkup masalah yang akan dibahas dalam tugas akhir ini yaitu :

1. Melakukan analisa stabilitas talud RSUD Balikpapan.
2. Menghitung momen dan gaya yang diterima *Ground Anchor*
3. Merencanakan jumlah dan panjang *Ground Anchor* yang digunakan.
4. Menghitung tegangan lateral tanah aktif timbunan
5. Menghitung gaya yang diterima *Geogrid*
6. Menghitung *Bearing Capacity*.
7. Menyusun metode pelaksanaan.

1.6 Batasan Masalah

- a. Data yang dipakai dalam tugas akhir adalah data sekunder.
- b. Tidak menghitung Rencana Anggaran Biaya.

BAB II

TINJAUAN PUSTAKA

2.1 Jenis Tanah dan Perilakunya

2.1.1 Jenis Tanah

Berdasarkan karakteristiknya tanah dapat diklasifikasikan menjadi dua jenis yaitu tanah non berkohefif dan berkohefif. Tanah non berkohefif adalah tanah yang tidak mempunyai atau sedikit sekali lekatan antara butir-butirnya. Sedangkan tanah kohesif adalah tanah yang mempunyai sifat lekatan antara butir-butirannya.

Tanah kohesif dan tanah non kohesif juga dapat diklasifikasikan sebagai tanah yang berbutir halus dan kasar. Tanah berbutir kasar yang diameter butirannya lebih besar dari 2 mm, diklasifikasikan sebagai kerikil. Jika butirannya dapat terlihat oleh mata, tetapi ukurannya kurang dari 2 mm, tanah ini disebut pasir. Tanah pasir disebut pasir kasar jika diameter butirannya berkisar antara 2-0,6 mm, pasir sedang jika diameter butirannya antara 0,6-0,2 mm dan pasir halus apabila diameter butirannya antara 0,2-0,06 mm (Hary Christady Hardyatmo, 2006)

2.1.2 Tanah Kohesif dan Non Kohesif pada Talud

Dalam perencanaan kestabilan talud dari tanah kohesif dan non kohesif, ada beberapa sifat penting yang perlu diperhatikan, yaitu :

a. Tanah berkohefif

Kestabilan talud dari tanah ini dipengaruhi oleh beberapa hal yaitu :

- Kekuatan geser yang dinyatakan dalam (ϕ) dan (C)
- Kelandaian talud yang dinyatakan dengan sudut (β)
- Tinggi talud (H)
- Berat volume tanah (γ)
- Tekanan air pori tanah.

b. Tanah non kohesif

Kestabilan talud dari tanah ini ($\phi > 0$, $C=0$) dipengaruhi oleh tiga hal, yaitu :

- Sudut geser dalam (ϕ)
- Kelandaian talud yang dinyatakan dengan sudut (β)
- Berat volume tanah (γ) perencanaan kestabilan talud dari tanah tak berkohesi, ada beberapa sifat penting yang perlu diperhatikan, yaitu :
- Tanah tak berkohesi mudah tererosi oleh limpasan permukaan (*surface run off*), sehingga geometri talud mudah berubah.
- Tanah tak berkohesi yang jenuh air mempunyai potensi tinggi terhadap bahaya *liquefaction* (*Liquefaction* atau Likuifikasi adalah fenomena di mana kekuatan dankekakuan tanah berkurang dikarenakan pergerakan tanah).
- Tanah tak berkohesi yang kering mudah mengalami penurunan bila terkena beban siklik (vibrasi).

2.1.3 Tanah Behaving Like Sand

Retakan tanah dapat terbentuk secara alami (diakibatkan oleh susut permukaan tanah, pergerakan massa tanah, dan getaran akibat gempa yang cukup kuat yang terjadi di masa lalu). Bidang retakan ini terbentuk secara acak didalam tanah, dapat berupa single crack atau multiple crack yang berhubungan satu dengan yang lain sehingga menjadi sebuah retakan. Keretakan tersebut pada saat kondisi hujan terisi air. Keretakan tersebut apabila kondisi hujan akan terisi air. Apabila hujan tidak deras air hujan masuk kedalam tanah dan kemudian mengalir ke luar di tempat-tempat yang lebih rendah. Pada kondisi hujan tidak deras ini, tidak ada peningkatan tekanan air pori yang berarti didalam bidang keretakan. Pada saat hujan deras, air mengalir ke dalam retakan tersebut secara terus menerus bertambah sehingga semua bidang retak menjadi penuh dengan air sampai di seluruh permukaan bidang retak. Selain itu penambahan tekanan air pori

juga terjadi didalam celah retakan secara signifikan karena jumlah air hujan yang masuk kedalam retakan lebih besar dari pada jumlah air hujan yang dapat mengalir ke luar dari celah-celah keretakan tersebut. Bidang-bidang keretakan keretakan yang hampir selalu dilalui air tersebut lambat laun mengalami erosi oleh air hujan, partikel tanah yang lebih halus seperti lanau dan lempung dengan mudah terbawa oleh rembesan air hujan tersebut, sehingga pada retakan tersebut hanya tertinggal butiran tanah pasir saja bahkan tersisa fraksi kerikil. Stabilitas lereng terhadap kelongsoran pada kondisi ini adalah adanya bidang-bidang keretakan yang sudah terisi pasir tersebut. Sehingga pada saat hujan deras stabilitas lereng harus dianggap seolah-olah berkelakuan seperti tanah pasir (behaving like sand) yang dalam kondisi jenuh air. (Mochtar, 2011)

2.2 Korelasi Parameter Data Tanah

2.2.1 Data Lapangan

Pengujian data tanah dilapangan dapat dilakukan dengan beberapa cara diantaranya adalah SPT dan CPT (sondir). SPT merupakan singkatan dari *standard penetration test*, merupakan salah satu uji tanah yang paling sering dilakukan, dilakukan dengan menjatuhkan batangan besi (pemukul) ke bor yang ada di dalam tanah, dan menghitung jumlah pukulan yang diperlukan untuk memperdalam lubang bor sedalam 15 cm. Semakin banyak pukulan yang diperlukan, semakin keras tanah yang sedang diteliti, dan dapat disimpulkan juga semakin besar phi ataupun kohesi dari tanah tersebut. *Standart Penetration Test* (SPT) dilakukan untuk mengestimasi nilai kerapatan relatif dari lapisan tanah yang diuji.Untuk melakukan pengujian SPT dibutuhkan sebuah alat utama yang disebut *Standard Split Barrel Sampler* atau tabung belah standar. Sedangkan Percobaan sondir atau *Cone Penetration Test* (CPT) adalah suatu pengujian tanah yang cukup banyak digunakan di Indonesia. Metode pengujian ini dikembangkan

oleh para insinyur Belanda dan digunakan pertama kali Tahun 1935. Bagian utama alat ini adalah sebuah kerucut terbalik atau disebut konus yang terbuat dari logam dengan ujung bersudut 60° luas dasar 10 cm^2 . Prinsip kerjanya adalah alat ini didorong masuk ke dalam tanah dengan kecepatan konstan dengan sambungan-sambungan pipa-pipa logam sepanjang 100 cm/batang dan gaya perlawanan tanah terhadap konus dicatat pada interval kedalaman tertentu. Nilai tahanan konus (q_c) sama dengan perlawanan dibagi dengan luas dasar konus (10 cm^2).

2.2.2 Data Laboratorium

Pengujian tanah di laboratorium bertujuan untuk memperoleh data dan informasi parameter sifat fisik maupun sifat mekanika tanah, selanjutnya parameter-parameter tersebut akan digunakan sebagai bahan analisis dan pertimbangan dalam perencanaan dan desain tipe penanganan longsoran. Ada beberapa data Laboratorium yang biasanya digunakan untuk analisa longsoran yaitu berat isi tanah, kadar air, *direct shear* dan *unconfined direct shear*.

2.2.3 Klasifikasi dan Korelasi Nilai Parameter tanah

Korelasi nilai parameter tanah digunakan untuk melengkapi data tanah yang belum lengkap. Berikut ini beberapa korelasi yang dapat digunakan seperti yang terlihat pada Tabel 2.1 dan Tabel 2.3. Sedangkan klasifikasi tanah berdasarkan nilai q_c hasil uji sondir dapat dilihat pada Tabel 2.3.

Tabel 2.1 Tabel korelasi data tanah Bowles

		<i>Cohesionless Soil/Sol Pulpirelent</i>				
N (blows)		0-3	4-10	11-30	31-50	>50
Y (KN/m ³)	-	12-16	14-18	16-20	18-23	
Ø(*)	-	25-32	28-36	30-40	>35	
State	<i>Very Loose</i>	<i>Loose</i>	<i>Medium</i>	<i>Dense</i>	<i>Very Dense</i>	
Dr (%)	0-15	15-35	35-65	65-85	85-100	
		<i>Cohesive Soil/Sol Coherent</i>				
N (blows)	<4	4-6	6-15	16-25	>25	
Y (KN/m ³)	14-18	16-18	16-18	16-20	>20	
qu (kPa)	<25	20-50	30-60	40-200	>100	
Consistency	<i>Very Soft</i>	<i>Soft</i>	<i>Medium</i>	<i>Stiff</i>	<i>Hard</i>	

(Sumber: Buku Pondasi Dalam Herman Wahyudi)

Tabel 2.2 Konsistensi tanah untuk tanah dominan lempung

Konsistensi Tanah	Taksiran harga kekuatan geser undrained, Cu		Taksiran harga SPT, harga N	Taksiran harga tahanan conus, q _c (dari Sondir)	
	kPa	ton/m ²		kg/cm ²	kPa
Sangat lunak (very soft)	0 - 12,5	0 - 1,25	0 - 2,5	0 - 10	0 - 1000
Lunak (soft)	12,5 - 25	1,25 - 2,5	2,5 - 5	10 - 20	1000 - 2000
Mengang (medium)	25 - 50	2,5 - 5	5-10	20 -40	2000 - 4000
Kaku (Stiff)	50 -100	5,0 - 10	10 - 20	40 - 75	4000 - 7500
Sangat kaku (Very stiff)	100 - 200	10 - 20	20 - 40	75 - 150	7500 - 15000
Keras (hard)	>200	>20	>40	>150	>15000

(Sumber: Mochtar,2012)

Tabel 2.3 Klasifikasi tanah berdasarkan data Sondir

Hasil Sondir		Klasifikasi
qc	fs	
6,0	0,15 - 0,40	Humus, lempung sangat lunak
6,0 - 10,0	0,20	Pasir kelanauan lepas, pasir sangat lepas
	0,20 - 0,60	Lempung lembek, lempung kelanauan lembek
	0,10	Kerikil lepas
10,0 - 30,0	0,10 - 0,40	Pasir lepas
	0,40 - 0,80	Lempung atau lempung kelanauan
	0,80 - 2,00	Lempung agak kenyal
	1,50	Pasir kelanauan, pasir agak padat
30 - 60	1,0 - 3,0	Lempung atau lempung kelanauan kenyal
	1,0	Kerikil kepasiran lepas
60 - 150	1,0 - 3,0	Pasir padat, pasir kelanauan atau lempung padat dan lempung kelanauan
	3,0	Lempung kekerikilan kenyal
150 - 300	1,0 - 2,0	Pasir padat, pasir kekerikilan, pasir kasar pasir, pasir kelanauan sangat padat

Sumber : Buku Mekanika Tanah Braja M.Das Jilid I

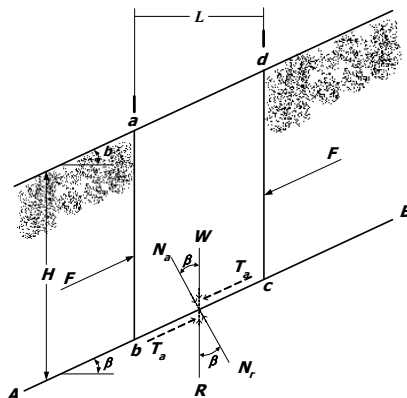
2.3 Tipe Kelongsoran

2.3.1 Kelongsoran pada Talud Menerus

Berikut ini ilustrasi gaya yang menyebabkan kelongsoran pada talud menerus. Kelongsoran talud menerus dibagi menjadi 2 yaitu kelongsoran talud tanpa rembesan dan kelongsoran talud dengan rembesan.

a. Kelongsoran talud menerus tanpa rembesan.

Berikut ini adalah ilustrasi gambar ilustrasi gaya yang bekerja pada talud menerus tanpa rembesan seperti yang terlihat pada (Gambar 2.1).



Gambar 2.1 Ilustrasi gaya yang bekerja pada talud menerus tanpa rembesan

Sumber : Buku Mekanika Tanah Braja M.Das Jilid II

➤ Kekuatan geser tanah dapat kita ketahui melalui persamaan sebagai berikut :

$$\tau_f = c + \sigma \tan \phi \quad (1)$$

➤ Dengan anggapan tekanan air pori = 0, kita evaluasi angka keamanan (FS) terhadap kemungkinan kelongsoran talud sepanjang bidang AB yang letaknya pada kedalaman H di bawah permukaan tanah. Keruntuhan talud (lereng) akibat pergerakan tanah diatas bidang AB terjadi dari kanan ke kiri.

➤ Elemen talud (abcd), mempunyai satu satuan tebal \perp terhadap bidang gambar. Gaya F bekerja pada bidang ab dan cd adalah sama besar dan berlawanan arah, oleh karenanya gaya tersebut dapat diabaikan.

Berat elemen tanah yang ditinjau (W) adalah :

$W = \text{volume tanah/element} \times \text{berat volume tanah}$

$$W = \gamma \cdot L \cdot H$$

Berat W dapat diuraikan dalam dua komponen sebagai berikut :

- ✓ Gaya yang \perp pada bidang AB = $Na = W \cos\beta = \gamma L H \cos\beta$,
- ✓ Gaya yang // pada bidang AB = $Ta = W \sin \beta = \gamma L H \sin \beta$,
Gaya Ta cenderung untuk menyebabkan kelongsoran sepanjang bidang.

➤ Jadi tegangan normal dan tegangan geser yang bekerja pada dasar elemen talud besarnya adalah :

$$\sigma = \frac{Na}{\text{Luasan dasar elemen talud}} = \frac{\gamma L H \cos \beta}{\frac{L}{\cos \beta}} = \gamma H \cos^2 \beta \quad (2)$$

$$\tau = \frac{Ta}{\text{Luasan dasar elemen talud}} = \frac{\gamma L H \sin \beta}{\frac{L}{\cos \beta}} = \gamma H \cos \beta \sin \beta \quad (3)$$

➤ Reaksi dari berat W adalah gaya R yang sama besarnya, tapi berlawanan arah komponen-komponen tegak dan paralel dari gaya R terhadap bidang AB adalah Nr dan Tr .

- ◆ $Nr = R \cos \beta = W \cos \beta$
- ◆ $Nr = R \sin \beta = W \sin \beta$

Dengan cara yang sama seperti di atas, Untuk keseimbangan tegangan geser perlawanan yang terbentuk pada dasar elemen .

$$\frac{\text{Tr}}{\text{Luasan dasar elemen talud}} = \gamma H \cos \beta \sin \beta$$

Hal ini dapat juga dituliskan dalam bentuk :

$$\tau_d = c_d + \sigma \tan \phi_d$$

Dan besarnya tegangan normal, di dapat :

$$\tau_d = c_d + \gamma H \cos^2 \beta \tan \phi_d$$

Sehingga :

$$\gamma H \sin \beta \cos \beta = c_d + \gamma H \cos^2 \beta \tan \phi_d$$

$$\frac{c_d}{\gamma H} = \sin \beta \cos \beta - \cos^2 \beta \tan \phi_d = \cos 2 \beta (\tan \beta - \tan \phi_d) \quad (4)$$

➤ Besarnya angka keamanan terhadap kekuatan tanah adalah

$$\tan \phi_d = \frac{\tan \phi_d}{FS} \quad \text{dan } C_d = \frac{C}{FS}$$

Sehingga dengan memasukkan hubungan tersebut, didapat

$$FS = \frac{C}{\gamma H \cos^2 \beta \sin \beta} + \frac{\tan \phi}{\tan \beta} \quad (5)$$

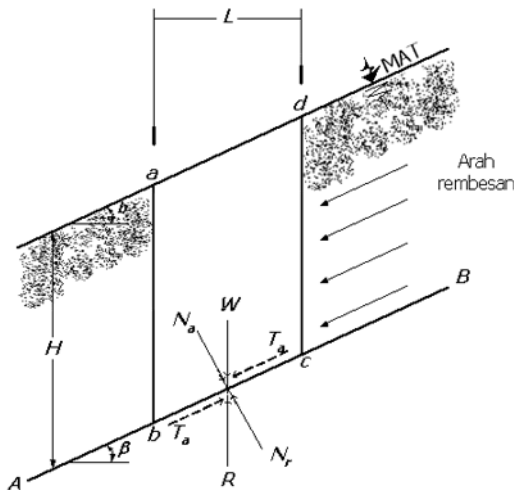
Untuk tanah berbutir $c = 0$, angka keamanan $FS \rightarrow \tan \phi / \tan \beta$. Ini menunjukkan bahwa suatu talud menerus yang terdiri dari tanah pasir, FS tidak tergantung dari tinggi H dan talud tetap stabil selama $\beta < \phi$.

➤ Bila tanah mempunyai kohesi (c) dan sudut geser (ϕ), ketebalan tanah pada talud kritis dapat ditentukan dengan memasukkan harga :

$$\begin{aligned} \blacklozenge \quad FS = 1 \quad H_{cr} &= \frac{C}{\gamma \cos^2 \beta (\tan \beta - \tan \phi)} \\ \blacklozenge \quad H &= H_{cr} \end{aligned}$$

b. Kelongsoran talud menerus tanpa rembesan.

Berikut ini adalah ilustrasi gambar ilustrasi gaya yang bekerja pada talud menerus dengan rembesan seperti yang terlihat pada (Gambar 2.1).



Gambar 2.2 Ilustrasi gaya yang bekerja pada talud menerus dengan rembesan

Sumber : Buku Mekanika Tanah Braja M.Das Jilid II

➤ Suatu talud (lereng) menerus yang ada rembesan di dalam tanah, dimana MAT-nya sama dengan permukaan tanah, kekuatan gesernya dapat dituliskan sebagai berikut :

$$\tau_f = c + \sigma \tan \phi$$

σ' = tegangan efektif (untuk membedakan dengan tegangan normal).

➤ Angka keamanan terhadap kelongsoran sepanjang bidang AB, perhatikan talud abcd. Gaya-gaya yang bekerja pada bidang vertikal ab dan cd adalah sama besar dan berlawanan arah.

Berat total elemen talud untuk satu satuan tebal adalah :

$$W = \gamma_{sat} \cdot L \cdot H$$

Komponen W dalam arah \perp dan // terhadap bidang AB adalah :

$$Na = W \cos\beta = \gamma_{sat} L H \cos \beta$$

$$Ta = W \sin \beta = \gamma_{sat} L H \sin \beta$$

Reaksi dari berat W adalah = R, jadi :

$$Nr = R \cos \beta = W \cos \beta = \gamma_{sat} L H \cos \beta \quad (6)$$

$$Nr = R \sin \beta = W \sin \beta = \gamma_{sat} L H \sin \beta \quad (7)$$

Tegangan normal total (σ) dan tegangan geser pada dasar elemen talud (τ) adalah sebagai berikut :

$$\sigma = \frac{Nr}{\left[\frac{L}{\cos \beta} \right]} = \gamma_{sat} H \cos^2 \beta \quad (8)$$

$$\tau = \frac{Tr}{\left[\frac{L}{\cos \beta} \right]} = \gamma_{sat} H \cos \beta \sin \beta \quad (9)$$

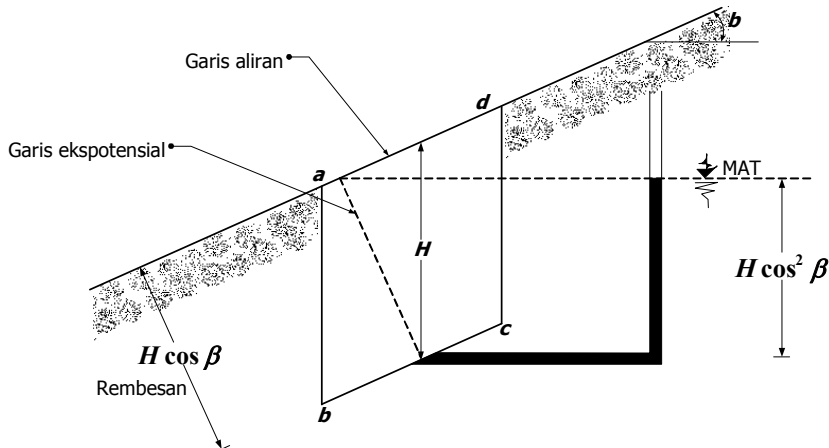
Tegangan geser perlawanan yang terbentuk pada dasar elemen talud dapat ditulis sebagai berikut :

$$\tau_d = c_d + \gamma H \cos^2 \beta \tan \phi_d = c_d + (\sigma - u) \tan \phi_d \quad (10)$$

dimana : u = tekanan air pori

$$u = \gamma_w H \cos^2 \beta \rightarrow \text{lihat Gambar 2.3}$$

Di bawah ini adalah detail Ilustrasi gaya yang bekerja pada talud menerus dengan rembesan seperti (Gambar 2.3).



Gambar 2.3 Ilustrasi gaya yang bekerja pada talud menerus dengan rembesan

Sumber : Buku Mekanika Tanah Braja M.Das Jilid II

Dengan memasukkan harga σ dan u ke dalam persamaan, didapat :

$$\begin{aligned}\tau_d &= c_d + (\gamma_{\text{sat}} H \cos^2 \beta - \gamma_w H \cos^2 \beta) \tan \phi_d \\ &= c_d + \gamma' H \cos^2 \beta \tan \phi_d\end{aligned}\quad (11)$$

Untuk keseimbangan tegangan gesernya, maka :

$$\gamma_{\text{sat}} H \cos \beta = c_d + \gamma' H \cos^2 \beta \tan \phi_d$$

$$\frac{c_d}{\gamma_{\text{sat}} H} = \cos 2\beta \left[\tan \beta - \frac{\gamma'}{\gamma_{\text{sat}}} \tan \phi_d \right] \quad (12)$$

Angka keamanan terhadap kekuatan tanah dapat ditentukan dengan menggantikan

$$\tan \phi_d = \frac{\tan \phi}{FS} \quad \text{dan } C_d = \frac{C}{FS} \quad \text{kedalam persamaan diatas}$$

Sehingga :

$$FS = \frac{C}{\gamma_{sat} H \cos^2 \beta \tan \beta} + \frac{\gamma'}{\gamma_{sat}} - \frac{\tan \phi}{\tan \beta} \quad (13)$$

2.3.2 Kelongsoran pada Talud Tinggi Terbatas

Penambahan beban di tubuh lereng bagian atas (Pembuatan/ peletakan bangunan, misalnya dengan membuat perumahan atau villa di tepi lereng atau dipuncak bukit) merupakan tindakan beresiko mengakibatkan longsor. Demikian juga pemotongan lereng pada pekerjaan *cut & fill*, jika tanpa perencanaan dapat menyebabkan perubahan keseimbangan tekanan pada lereng. Cara analisis kestabilan lereng banyak dikenal, tetapi secara garis besar dapat dibagi menjadi tiga kelompok yaitu: cara pengamatan visual, cara komputasi dan cara grafik (Pangular, 1985) sebagai berikut :

- a. Cara pengamatan visual adalah cara dengan mengamati langsung di lapangan dengan membandingkan kondisi lereng yang bergerak atau diperkirakan bergerak dan yang yang tidak, cara ini memperkirakan lereng labil maupun stabil dengan memanfaatkan pengalaman di lapangan (Pangular, 1985). Cara ini kurang teliti, tergantung dari pengalaman seseorang. Cara ini dipakai bila tidak ada resiko longsor terjadi saat pengamatan. Cara ini mirip dengan memetakan indikasi gerakan tanah dalam suatu peta lereng.
- b. Cara komputasi adalah dengan melakukan hitungan berdasarkan rumus (*Fellenius, Bishop, Janbu, Sarma, Bishop modified* dan lain-lain). Cara Fellenius dan Bishop menghitung Faktor Keamanan lereng dan dianalisis kekuatannya. Menurut *Bowles* (1989), pada

dasarnya kunci utama gerakan tanah adalah kuat geser tanah yang dapat terjadi :

- Tak terdrainase,
- Efektif untuk beberapa kasus pembebanan,
- Meningkat sejalan dengan peningkatan konsolidasi (sejalan dengan waktu) atau dengan kedalaman,
- Berkurang dengan meningkatnya kejemuhan air (sejalan dengan waktu) atau terbentuknya tekanan pori tanah yang berlebih atau terjadi peningkatan air tanah.

c. Cara grafik adalah dengan menggunakan grafik yang sudah standar (*Taylor, Hoek & Bray, Janbu, Cousins dan Morganstren*). Cara ini dilakukan untuk material homogen dengan struktur sederhana. Material yang heterogen (terdiri atas berbagai lapisan) dapat didekati dengan penggunaan rumus (carakomputasi). Stereonet, misalnya diagram jaring *Schmidt* (*Schmidt NetDiagram*) dapat menjelaskan arah longsoran atau runtuhan batuan dengan cara mengukur *strike/dip* kekar-kekar (joints) dan *strike/dip* lapisan batuan.

2.3.3 Faktor-faktor Penyebab Kelongsoran

Tanah mempunyai sifat-sifat fisik seperti berat jenis, sudut geser, dan kohesi yang sangat berperan dalam menentukan kekuatan tanah dan juga mempengaruhi stabilitas talud. Stabilitas talud merupakan suatu faktor yang sangat penting dalam pekerjaan yang berhubungan dengan penggalian dan penimbunan tanah. Faktor – faktor penyebab ketidakstabilan talud dapat dibagi menjadi dua kelompok besar (Terzaghi), antara lain :

a. Faktor Pengaruh Luar (Eksternal)

Faktor eksternal terjadi akibat meningkatnya tegangan geser yang terjadi pada tanah sehingga *Safety Factor*nya menurun ($SF<1$). Hal ini disebabkan karena faktor – faktor sebagai berikut:

- Kaki talud tererosi oleh aliran sungai atau air hujan.
- Adanya kegiatan galian pada talud.
- Air hujan yang tertahan di atas talud.
- Berat akibat timbunan tanah para talud.
- Berat bangunan di atas talud.
- Perubahan geometri talud akibat pergerakan tektonik dan gempa bumi.

b. Faktor Pengaruh Dalam (Internal)

Faktor internal terjadi akibat penurunan kekuatan geser tanah, penyebabnya antara lain:

- Peningkatan kadar air yang terjadi pada tanah lempung.
- Struktur geologi dan keadaan geometri talud.
- Absorbsi oleh mineral lempung yang diikuti oleh penurunan harga kohesi tanah.
- Penyusutan tanah lempung yang dapat menimbulkan retak susut.
- Perubahan berat volume dan tekanan air pori tanah.

2.4 Tekanan Tanah Lateral

Dalam memperkirakan dan menghitung kestabilan konstruksi penahan tanah, diperlukan perhitungan tekanan lateral. Tekanan lateral terjadi karena massa tanah menerima beban akibat tegangan normal maupun berat kolom tanah. Hal ini menyebabkan terjadinya tekanan ke arah tegak lurus atau kearah samping. Besarnya tekanan tanah lateral sendiri sangat dipengaruhi oleh fisik tanah, sudut geser, dan kemiringan tanah terhadap bentuk struktur konstruksi penahan tanah.

Tekanan tanah lateral dibagi menjadi tekanan tanah dalam keadaan diam, tekanan tanah aktif, dan tekanan tanah pasif. Tekanan tanah dalam kondisi diam terjadi akibat massa tanah pada dinding penahan berada dalam kondisi seimbang. Tekanan tanah aktif merupakan tekanan yang berusaha untuk mendorong dinding penahan tersebut ke depan. Sementara tekanan tanah

pasif merupakan tekanan yang berusaha mengimbangi tekanan tanah aktif.

2.4.1 Tekanan Tanah Aktif

Tekanan aktif merupakan tekanan yang mendorong dinding penahan tanah ke arah horizontal. Sementara dinding penahan tanah harus dalam keadaan seimbang dalam menahan tekanan arah horizontal. Tekanan ini dapat dievaluasi dengan menggunakan koefisien tanah K_a . Rumusan tekanan horizontal dapat dituliskan sebagai berikut:

$$\sigma_a = K_a \cdot \gamma \cdot H$$

Harga K_a :

- Untuk tanah datar:

$$K_a = \frac{1 - \sin \phi}{1 + \sin \phi} = \tan^2 (45^\circ - \frac{\phi}{2}) \quad (14)$$

- Untuk tanah miring:

$$K_a = \left(\frac{\cos \phi}{1 + \sqrt{\frac{\sin \phi \sin (\phi - \alpha)}{\cos \alpha}}} \right)^2 \quad (15)$$

dimana:

ϕ = sudut geser tanah

α = kemiringan tanah

Selain itu, kohesi sebagai lekatan antara butiran tanah juga memiliki pengaruh mengurangi tekanan aktif tanah yaitu sebesar $2c\sqrt{K_a}$, sehingga perumusan menjadi:

$$\sigma_a = K_a \gamma H - 2 c \sqrt{K_a} \quad (16)$$

2.4.2 Tekanan Tanah Pasif

Tekanan lateral pasif tanah merupakan tekanan yang melawan arah dari tekanan lateral aktif. Hal ini disebabkan oleh gaya yang mendorong dinding cencerung ke arah urugannya. Tekanan pasif menunjukkan nilai maksimum dari gaya yang dapat dikembangkan oleh tanah, yaitu gaya yang dibutuhkan untuk menahan dinding penahan tanah sebelum terjadi kegagalan. Rumusan tekanan horizontal pasif dapat dituliskan sebagai berikut:

$$\sigma_p = K_p \cdot \gamma \cdot H$$

Harga K_p :

- Untuk tanah datar adalah:

$$K_p = \frac{1 + \sin \phi}{1 - \sin \phi} = \tan^2 (45^\circ + \frac{\phi}{2}) \quad (17)$$

- Untuk tanah miring adalah:

$$K_p = \left(\frac{\cos \phi}{1 + \sqrt{\frac{\sin \phi \sin(\phi + \alpha)}{\cos \alpha}}} \right)^2 \quad (18)$$

dimana:

ϕ = sudut geser tanah

α = kemiringan tanah

Dalam kasus tekanan lateral pasif, kohesi (lekatan antar butiran tanah) mempunyai pengaruh memperbesar tekanan pasif tanah sebesar $2c\sqrt{K_p}$, sehingga perumusan menjadi:

$$\sigma_p = K_p \gamma H + 2 c \sqrt{K_p} \quad (19)$$

2.5 Analisis Stabilitas Talud

2.5.1 Konsep Stabilitas

Talud adalah suatu permukaan tanah yang miring dan membentuk sudut tertentu terhadap suatu bidang horizontal. Perbedaan elevasi pada talud dapat mengakibatkan pergerakan massa tanah dari elevasi yang tinggi menuju elevasi yang lebih rendah. Pergerakan massa tanah ini diakibatkan oleh gravitasi, air, dan gaya gempa. Pergerakan atau gaya tersebut akan menghasilkan tegangan geser yang berfungsi sebagai gaya penahan dan berat massa tanah bekerja sebagai gaya pendorong. Apabila berat massa tanah itu lebih besar daripada tegangan geser, maka akan mengakibatkan kelongsoran. Kelongsoran sendiri terjadi karena stabilitas talud rendah, dimana terjadi pergerakan tanah untuk mencari keseimbangan atau kestabilan karena terjadinya penambahan tegangan geser yang lebih besar daripada kuat geser talud tersebut. Maka dari itu perlu dilakukan analisis stabilitas talud untuk menentukan faktor keamanan dari bidang longsor tersebut.

Selain itu, salah satu tujuan dari dilakukannya analisis stabilitas talud adalah untuk mengetahui kekuatan geser tanah/batuan. Keruntuhan geser (*shear failure*) pada tanah/batuan terjadi akibat gerak relatif antar butirnya. Oleh sebab itu kekuatan geser tanah (Gambar 2.4) tergantung pada gaya yang bekerja antar butirnya. Dengan demikian dapat dikatakan bahwa kekuatan geser terdiri atas:

- (1) Bagian yang bersifat kohesi, tergantung pada macam tanah/batuan dan ikatan butirnya.

(2) Bagian yang bersifat gesekan, yang sebanding dengan tegangan efektif pada bidang geser. Kekuatan geser tanah dapat dinyatakan dalam rumus :

$$S = c' + (\sigma - u) \tan \phi'$$

dimana:

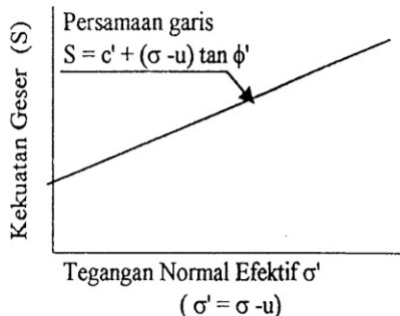
S = Kekuatan geser

σ = Tegangan total pada bidang geser

u = Tegangan air pori

c' = Kohesi efektif

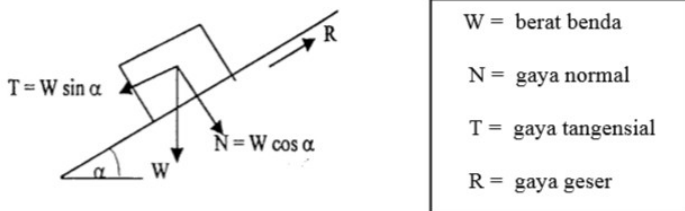
ϕ' = Sudut geser dalam efektif



Gambar 2.4 Kekuatan Geser Tanah

(Sumber: Buku Petunjuk Teknis Perencanaan dan Penanganan Kelongsoran Direktorat Jenderal Bina Marga)

Analisis dasar stabilitas talud didasarkan pada mekanisme gerak suatu benda yang terletak pada bidang miring seperti pada (Gambar 2.4).



Gambar 2.5 Keseimbangan pada Bidang Miring

(Sumber: Buku Petunjuk Teknis Perencanaan dan Penanganan Kelongsoran Direktorat Jenderal Bina Marga)

Pada (Gambar 2.5) terlihat bahwa yang akan longsor adalah T , sedangkan gaya yang melawan longsor adalah R yakni gaya geser yang terjadi antara berat benda W dengan bidang miring, sehingga dengan demikian dapat dikatakan :

$R/T < 1$ Benda akan bergerak

$R/T = 1$ Benda dalam keadaan seimbang

$R/T > 1$ Benda akan diam

2.5.2 Analisis Metode Bishop

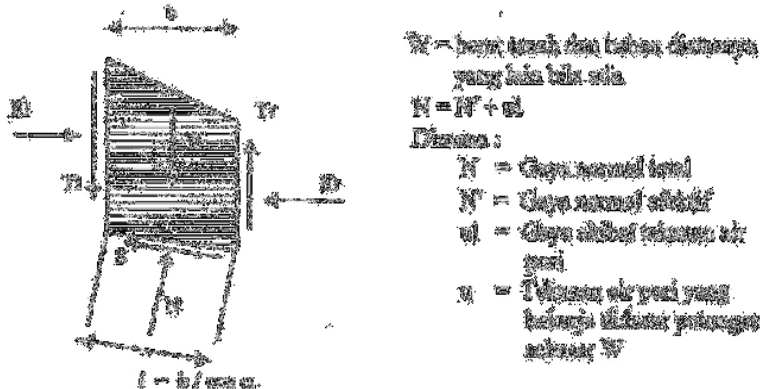
Cara analisa yang dibuat oleh *A.W. Bishop* (1955) menggunakan gaya yang bekerja pada tiap elemen (Gambar 2.6) dan memperhatikan persyaratan keseimbangan pada talud tersebut. *Safety factor* terhadap longsoran didefinisikan sebagai perbandingan antara kekuatan geser maksimum yang dimiliki tanah di bidang longsor (faktor penahan) dengan tahanan geser yang diperlukan untuk keseimbangan (faktor pendorong).

$$SF = \frac{\text{Faktor Penahan}}{\text{Faktor pedorong}}$$

Bila kekuatan geser tanah adalah:

$$(\text{Faktor penahan}) = c' + (\sigma-u) \tan \phi' = c' + \sigma' \tan \phi'$$

maka tahanan geser yang diperlukan untuk keseimbangan adalah:
 (Faktor pendorong) $= 1/SF (c' + (\sigma-u) \tan \phi)$

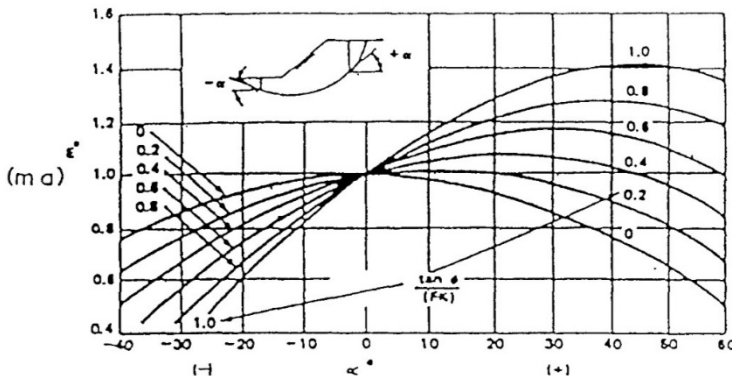


Gambar 2.6 Sistem Gaya pada Suatu Elemen Menurut *Bishop*
 (Sumber: Buku Petunjuk Teknis Perencanaan dan Penanganan
 Kelongsoran Direktorat Jenderal Bina Marga)

Safety factor dihitung berdasarkan rumus:

$$SF = \frac{\frac{1}{ma} (C'b + (w-ub)\tan\phi)}{w \sin \alpha} \quad (20)$$

Harga ma dapat ditentukan dari Gambar 2.7 dengan mencoba ulang (*trial and errors*) harga *safety factor* SF untuk mempercepat perhitungan. *Safety factor* menurut cara ini tidak sesuai dengan kenyataan yang ada karena terlalu besar apabila sudut negatif (-) di talud paling bawah mendekati 30° . Kondisi ini dapat terjadi apabila bidang longsor sangat dalam atau pusat rotasi berada dekat puncak talud. *Safety factor* yang didapat dari cara Bishop ini lebih besar dari yang didapat dengan cara Fellenius.



Gambar 2.7 Harga ma untuk Persamaan Bishop
 (Sumber: Buku Petunjuk Teknis Perencanaan dan Penanganan
 Kelongsoran Direktorat Jenderal Bina Marga)

2.5.3 Analisa Stabilitas Talud dengan Program Bantu *Geoslope*

Software GeoSlope adalah program komputer yang khusus diciptakan untuk membantu proses analisa yang berhubungan dengan lingkup teknik sipil. Program *GeoSlope* biasa digunakan dalam perhitungan konstruksi yang berkaitan dengan geoteknik. Program GeoSlope terbagi atas 6 sub program, yaitu : *Slope/w*, *Seep/w*, *Temp/w*, *Quake/w*, *Ctran/w* dan *Sigma/w*. Setiap subprogram memiliki fungsi yang berbeda. Program *Slope/w* dikhkususkan untuk perhitungan kestabilan talud, program *Seep/w* dikhkususkan untuk perhitungan yang berkaitan dengan air tanah, program *Quake/w* dikhkususkan untuk perhitungan yang berkaitan dengan analisa gempa, program *Ctran/w* dikhkususkan untuk perhitungan yang berkaitan dengan analisis jalan raya dan transportasi, program *Sigma/w* dikhkususkan untuk prehitungan yang berkaitan dengan permasalahan penurunan tanah.

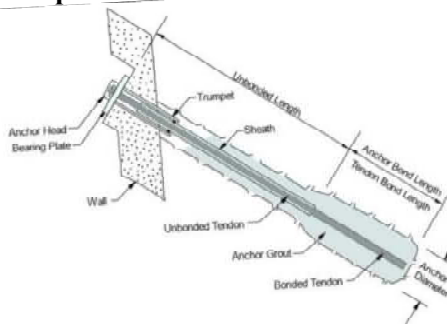
Dalam tugas akhir ini, jenis program *GeoSlope* yang digunakan adalah sub program *Slope/w*, yang dikhkususkan untuk perhitungan perkuatan talud. *Slope/w* adalah program yang

menggunakan teori kesetimbangan batas untuk menghitung *Safety factor* talud. Program *Slope/w* menggunakan *Ordinary* (atau *Fellenius*) method, metode *Bishop* disederhanakan, metode *Janbu* yang disederhanakan, metode *Spenser*, metode *Morgenstern – Price*, metode *Corps of Engineers*, metode *Lowe – Karafiat*, metode Generalized Limit Equilibrium(GLE). Untuk menghitung *Safety factor*, *slope/w* menggunakan teori kesetimbangan batas dari gaya dan momen. *Safety factor* merupakan faktor dimana kekuatan geser tanah direduksi hingga massa tanah pada wilayah kelongsoran mencapai kesetimbangan batas.

2.6 Perencanaan Perkuatan dengan Ground Anchor

Ground Anchor memiliki bagian penting yang mengirimkan gaya tarik (*tensile force*) dari struktur utama ke tanah di sekitarnya. Kekuatan geser dari tanah digunakan untuk melawan gaya tarik tersebut serta untuk mengikat struktur *Ground Anchor* pada tanah. Struktur *Ground Anchor* biasanya terdiri dari baja tendon dengan kekuatan tinggi yang dipasang pada sudut kemiringan (*inklinasi*) tertentu dan pada kedalaman yang diperlukan untuk melawan beban yang ada.

2.6.1 Komponen *Ground Anchor*



Gambar 2.8 Komponen *Ground Anchor*
 (Sumber: *Geotechnical Engineering Circular 4 “Ground Anchors And Anchored Systems”*)

Komponen *ground anchor* seperti pada (Gambar 2.9) meliputi *unbonded length anchor* dan *bond length anchor*. *Bond length anchor* berfungsi sebagai pembungkus material tanah untuk memindahkan beban serta gaya tarik (*tensile force*) dari struktur ke tanah di sekitar jangkar. Sedangkan *unbonded length anchor* adalah bagian dari tendon yang tidak terikat dan bebas bergerak di dalam tanah serta terletak pada bagian atas *bond length anchor* dimana tidak ada gaya tarik yang dipindahkan ke tanah di. Selain itu komponen *ground anchor* juga terdiri dari tendon, yaitu bagian yang terbuat dari baja berkekuatan tinggi (*bar, wire* atau *strand*) yang dikelilingi *cement grout* (material semen untuk *grouting*). Terdapat 9 faktor yang berperan penting dalam pemasangan *Ground anchor* (Littlejohn dan Bruce, 1977; FHWA, 1982; BSI, 1989; Xanthakos, 1991; PTI, 1996; Wyllie, 1999; dalam *Rock Slope Engineering*), yaitu:

1. Pengeboran (drilling), menentukan besarnya diameter lubang bor dan panjang yang akan dibor di lapangan berdasarkan pada peralatan yang tersedia.
2. Material dan dimensi, memilih material dan dimensi *anchor* yang cocok dengan diameter lubang dan gaya *anchor* yang disyaratkan.
3. Korosi, memperkirakan tingkat korosi di lapangan dan mengaplikasikan perlindungan korosi yang sesuai dengan tingkat korosi pada anchor.
4. Tipe Pengikatan (*bond type*), memilih antara semen atau *grout* atau *mechanical anchor* untuk mengamankan bagian ujung *anchor* pada lubang.
5. Panjang ikatan (*bond length*), penentuannya berdasarkan tipe pengikatan, diameter lubang, tegangan *anchor*, dan kekuatan geser tanah.
6. Panjang total *anchor*, menghitung panjang total *anchor*, yang terdiri dari jumlah panjang ikatan dan panjang yang tidak terpengaruh tekanan. Panjang yang tidak terpengaruh tekanan harus lebih luar dari permukaan tanah sampai bagian atas

zona pengikatan (*bond zone*), dengan bagian atas dari zona pengikatan akan berada di bawah bidang longsor potensial.

7. Pola *Anchor* (*anchor pattern*), *layout* dari pola *anchor*, maka jarak pada permukaannya akan hampir sama dan akan menghasilkan gaya *anchor* yang telah disyaratkan.

8. Lubang bor yang tahan air (*waterproofing drill holes*), memastikan tidak ada diskontinuitas pada zona pengikatan yang dapat menyebabkan kebocoran *grouting*.

9. Pengetesan (*testing*), menyiapkan prosedur untuk pengetesan yang akan memeriksa jika panjang pengikatan dapat menahan dari beban yang didesain.

2.6.2 Tipe-Tipe Ground Anchor

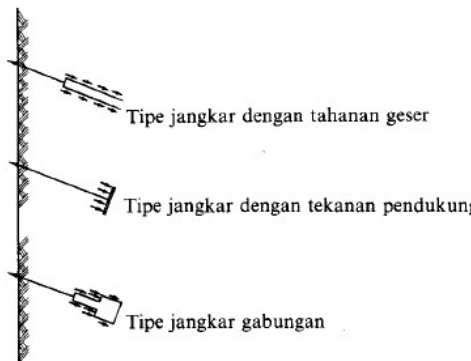
Ada beberapa tipe *Ground anchor* berdasarkan pelat penjangkarannya yaitu sebagai berikut :

1. Penjangkaran dengan tahanan geser. Jenis ini memakai batang jangkar yang silindris yang digROUT di dalam lubang bor dan gaya tarik ditimbulkan dari tahanan geser yang bekerja sekelilingnya.

2. Penjangkaran dengan plat pemikul. Jenis ini menggunakan suatu plat massif yang dipasang di dalam tanah sehingga tekanan tanah pasifnya yang bekerja dapat menahan gaya tarik.

3. Penjangkaran gabungan. Dimana ada bagian- bagian yang diperbesar dan tekanan pasif bersama-sama tahanan geser batangnya yang menahan gaya tarik, sehingga dapat disebut sebagai gabungan dari kedua metode terdahulu. Untuk membuat penjangkaran dengan diameter besar pembuatan lubangnya perlu menggunakan mata bor khusus atau semburan air bertekanan tinggi.

Tipe-tipe *Ground Anchor* seperti yang telah disebutkan diatas dapat dilihat pada (Gambar 2.9).



Gambar 2.9 Tipe-tipe *Ground Anchor*

(Sumber: Mekanika Tanah dan Teknik Pondasi, 2000)

Saat ini, yang paling sering dipergunakan adalah jenis Sedangkan jenis 2 dan 3 dipergunakan apabila suatu lapisan tanah mempunyai tahanan geser yang tidak dapat diandalkan pada suatu kedalaman tertentu, atau lapisan yang lebih padat seperti mudstone terdapat pada kedalaman yang dangkal serta tahanan dapat diperoleh malahan dari pemboran yang dangkal saja.

2.6.3 Metode Ground Anchor

Beberapa metode penjangkaran yang dipakai pada saat ini diantaranya :

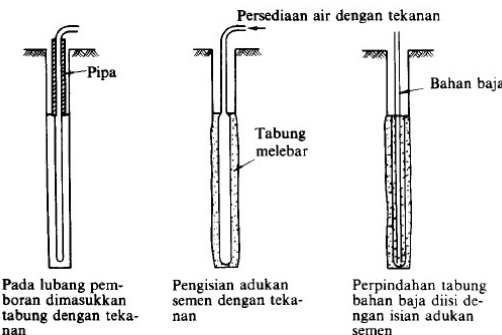
1. Metode penjangkaran dengan grouting

Setelah suatu batang baja atau kabel terpasang, dilaksanakan grouting dan batang jangkar ini dijangkar. Dipasang alat “*packer*” untuk menahan keluarnya aliran semen dari lubang.

2. Metode penjangkaran dengan tabung bertekanan

Metode dimana suatu tabung yang dapat mengembang dimasukkan ke dalam lubang hasil pemboran dan adukan

mengisi bagian luar dari dinding tabung dan kemudian air bertekanan dimasukkan ke dalam tabung tersebut agar mengambang. Penjelaskan dengan tabung bertekanan dapat dilihat pada Gambar 2.10.

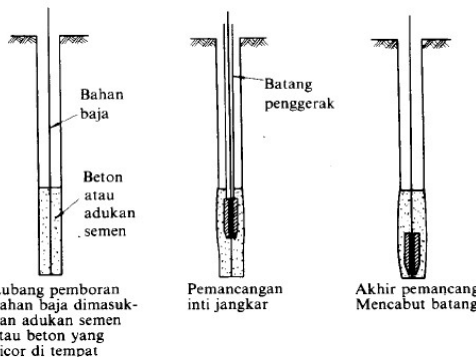


Gambar 2.10 Metode jangkar dengan tabung tekanan

(Sumber: Mekanika Tanah dan Teknik Pondasi,
2000)

3. Metode penjangkar dengan penekanan

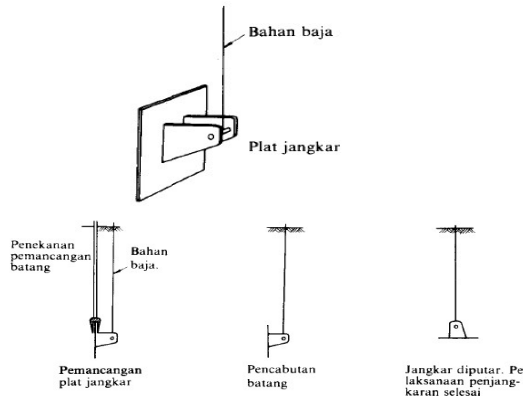
Batang PC baja dimasukkan ke lubangnya dan adukan diisikan ke dalam dasar lubang, lalu beton bertulang yang berlubang tengahnya sebagai inti dari jangkar ini dengan batang baja tadi sebagai pengaruhnya dipikul masuk kedalam adukannya untuk memperbesar dinding lubangnya. Untuk lebih jelas dapat Metode penjangkar dengan penekanan dilihat pada (Gambar 2.11).



Gambar 2.11 Metode jangkar dengan inti yang dipancang
(Sumber: Mekanika Tanah dan Teknik Pondasi, 2000)

4. Metode penjangkaran plat

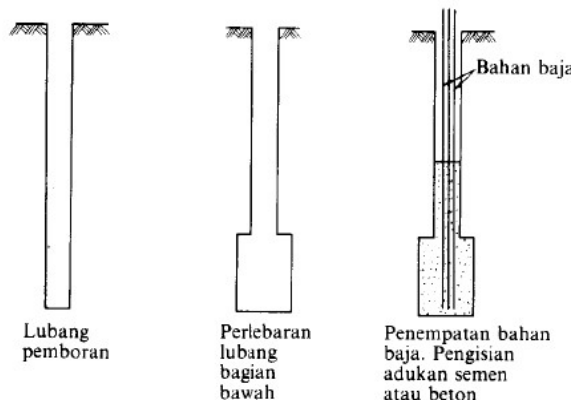
Metode penjangkaran pl a t / mekanis terdiri dari batang baja dan bagian jangkar yang terbuat dari plat baja dan dimasukkan kedalam tanah dengan dipukul lalu ditarik sehingga plat memutar. Penjangkaran plat dapat dilihat pada (Gambar 2.12) di bawah ini.



Gambar 2.12 Metode pelat jangkar
(Sumber: Mekanika Tanah dan Teknik Pondasi, 2000)

5. Metode jangkar dengan membesarkan bagian bawah

Setelah dibor dalam kedalam yang diperlukan, mata bor khusus digunakan untuk memperbesar bagian dasar lubang yang menambah tahanan cabut jangka tersebut seperti (Gambar 2.14).



Gambar 2.13 Metode jangkar dengan membesarkan bagian bawah
(Sumber: Mekanika Tanah dan Teknik Pondasi, 2000)

2.6.4 Perencanaan Ground Anchor

1. Pengaturan letak *Ground anchor* Posisi, arah dan jarak antar *Ground anchor* seharusnya ditentukan pertama pada saat perancangan.

- *Ground anchor* harus dipasang dengan jarak minimal 2 m antar anchor.
- Arah *anchor* parallel dengan arah keruntuhannya tanah.
- Jarak *anchor* ditentukan berdasarkan pengaruh antar *anchor*, yang ditinjau dari kekuatan *anchor*, diameter *anchor*, kedalaman, dan kekuatan geser tanah.

- Diusahakan sudut anchor tegak lurus dengan bidang longsor
- 2. Mencari gaya tahanan dan dorong
 - a. Mencari ΔMR yang akan dipikul oleh perkuatan *Ground anchor*

Dalam mencari ΔMR digunakan proram bantu *Geoslope* yang memiliki output berupa momen resisten dan *safety factor*.

$$M_{dorong} = \frac{M_{resisten}}{Sf}$$

Dengan menggunakan rumus di atas, didapatkan nilai momen dorong yang selanjutnya dikalikan dengan SFrencana.

$$M_{resisten\ renkana} = M_{dorong} \times SF_{renkana}$$

Maka, didapatkanlah ΔMR yang nantinya nilai ΔMR tersebut akan dipakai sebagai nilai momen yang akan dipikul oleh perkuatan *ground anchor*.

$$\Delta MR = M_{resisten\ renkana} - M_{resisten\ yang\ terjadi}$$

- b. Mencari nilai T_{max} dari perkuatan *ground anchor*

$$T_{max} = N \tan \phi$$

Yang dimana nilai T_{max} adalah nilai maksimum yang dipikul oleh *anchor* itu sendiri, selanjutnya nilai T_{max} tersebut dikalikan dengan jari-jari bidang longsor. Kemudian didapatkan nilai momen dari *anchor* yang nantinya dibandingkan dengan nilai ΔMR .

$$\Delta MR = N \tan \phi \times R \quad (20)$$

- c. Perhitungan panjang *grouting*

Panjang *grouting* adalah panjang *ground anchor* yang menahan gaya *stressing* yang melewati garis bidang longsor. Perhitungan panjang *grouting* adalah sebagai berikut:

$$N \times SF = C \times \pi \times D \times L$$

$$L = \frac{N \times SF}{C \times \pi \times D} \quad (21)$$

Dimana,

N = Kekuatan tarik jangkar

C = Kekuatan geser

D = Diameter *grouting*

L = Panjang *grouting*

SF = 1,5 (konstruksi sementara) dan 2-2,5 (konstruksi permanen).

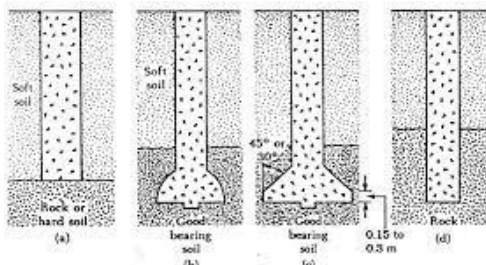
2.7 Perencanaan perkuatan lereng tegak

2.7.1 Perencanaan perkuatan dengan Bored pile

Bored pile dipasang ke dalam tanah dengan cara mengebor tanah terlebih dahulu, baru kemudian diisi tulangan dan dicor beton. *Bored pile* biasanya dipakai pada tanah yang stabil dan kaku, sehingga memungkinkan untuk membentuk lubang yang stabil dengan alat bor. Jika tanah mengandung air, pipa besi dibutuhkan untuk menahan dinding lubang dan pipa ini ditarik ke atas pada waktu pengecoran beton. Pada tanah yang keras atau batuan lunak, dasar tiang dapat dibesarkan untuk menambah tahanan dukung ujung tiang seperti yang terlihat pada Gambar 2.14.

Ada berbagai jenis pondasi bored pile yaitu:

1. *Bored pile* lurus untuk tanah keras;
2. *Bored pile* yang ujungnya diperbesar berbentuk bel;
3. *Bored pile* yang ujungnya diperbesar berbentuk trapesium;
4. *Bored pile* lurus untuk tanah berbatu-batuhan.



Gambar 2.14 Jenis-jenis *Bored Pile*

(Sumber : Braja M. Das, 1991)

2.7.2 Perencanaan Perkuatan dengan *Segmental Blok* dan *Geogrid*

Dinding penahan tanah konvensional umumnya berupa dinding gravitasi atau dinding kantilever yang terbuat dari pasangan batu dan pasangan beton. Setelah ditemukannya konsep tanah bertulang oleh Vidal (1969), maka muncul tipe dinding penahan tanah dengan tanah urug yang diperkuat dengan tulangan lajur-lajur baja atau lembaran-lembaran *geosintetik* (*geotekstil* dan *geogrid*). Pada tahun 1984 muncul tipe dinding penahan baru, yaitu dinding penahan yang dindingnya hanya terdiri dari unit-unit elemen segmental terbuat dari beton yang ditumpuk-tumpuk dengan bentuk yang menarik dan bervariasi. Namun dinding ini tidak dapat menahan tanah urug yang relatif tinggi. Pada tahun 1986, perkembangan dinding penahan dengan tanah yang diperkuat dengan tulangan-tulangan *geosintetik*. Tipe dinding penahan yang terdiri dari gabungan dinding penahan segmental dan tanah dengan tulangan-tulangan *geosintetik* ini disebut dinding penahan *segmental*-tanah berulang (*soil reinforced-segmental retaining wall*). Dinding penahan dengan diperkuat *geosintetik* ini keuntungannya dapat menahan tanah yang relatif tinggi. Lagi pula, karena element-elemen permukaan dinding dapat dibentuk menurut bentuk-bentuk yang artistik, maka tipe dinding penahan *Segmental* tanah bertulang banyak dibangun di berbagai negara. Beton segmental merupakan dinding yang lolos air, sehingga tekanan air dibelakangnya tidak besar. Perkuatan Geogrid dan beton segmental dapat dilihat pada Gambar 2.16.



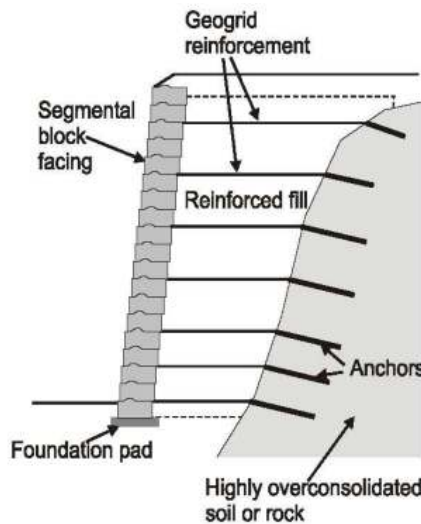
Gambar 2.15 Pemasangan dinding penahan beton *Segmental* dan *Geogrid*

(Sumber : Yunaefi,2012)

2.7.3 Perencanaan Perkuatan dengan Kombinasi *Segmental blok, geogrid* dan *Ground Anchor*

Blok penahan *segmental* yang diperkuat *geogrid* bisa digunakan untuk pembangunan dinding penahan ekonomis. Untuk sistem dinding penahan ini *blok segmental* bertindak sebagai *facing* yang menghadap .Stabilitas timbunan sebagian besar disediakan oleh perkuatan *geogrid* yang terhubung dengan *anchor*. Pada perkuatan tanpa *anchor*, perkuatan *geogrid* harus memiliki kekuatan desain yang memadai, ditempatkan pada jarak dan panjang yang sesuai dalam zona yang diperkuat. Akan tetapi beberapa kasus, panjang *geogrid* yang digunakan untuk perkuatan , mungkin sulit untuk dicapai apabila terdapat singkapan tanah yang mustahil dilakukan penggalian ataupun tanah sangat *overkonsolidasi*, batuan lunak atau batu keras di dekat dinding penahan. Dalam hal ini tidak praktis apabila menggali tanah atau batuan yang sangat *overkonsolidate*.

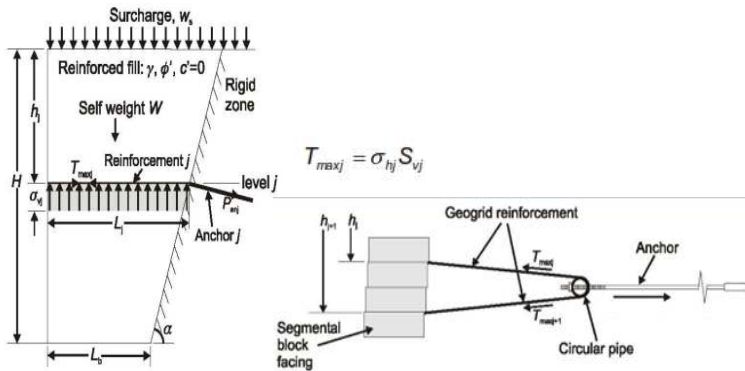
Salah satu tekniknya adalah mengaitkan *geogrid* ke dalam tanah yang sangat *overconsolidated* menggunakan *ground anchor*, seperti yang terlihat pada Gambar 2.17. Untuk, dinding *Segmental* dengan zona pengisian yang dibatasi, tidak dapat menghasilkan stabilitas internal yang memadai. Hal ini disebabkan oleh panjang ikatan perkuatan *geogrid* yang terpotong. Oleh karena itu perlu diberi jangkar (*anchor*) yang dihubungkan ke *geogrid* dan memasukkannya ke dalam tanah yang sangat *overconsolidasi* sehingga tegangan tarik yang diterima *geogrid* sepenuhnya hilang karena seluruh gaya yang terjadi ditahan oleh anchor tersebut. Dengan demikian, dinding penahan dapat mencapai stabilitas yang diperlukan.



Gambar 2.16 Perkuatan Lereng dengan Kombinasi *Segmental blok*, *Geogrid* dan *Ground Anchor*

(Sumber : Technical Note Tencate Mirafi, 2010)

Dibawah ini adalah ilustrasi gaya yang bekerja pada perencanaan kombinasi perkuatan *Segmental blok*, *geogrid* dan *Ground Anchor* seperti yang terlihat pada (Gambar 2.17).



a) Internal stresses due to self weight and surcharge

Gambar 2.17 Detail perkuatan kombinasi *Segmental blok*, *Geogrid* dan *Ground Anchor*

(Sumber : Technical Note Tencate Mirafi, 2010)

Dari ilustrasi diatas terdapat gaya tarik (T_{\max}) yang bekerja pada geogrid. Besaran T_{\max} dapat dihitung dengan persamaan dibawah ini :

$$T_{\max} = \sigma_h \times S_v$$

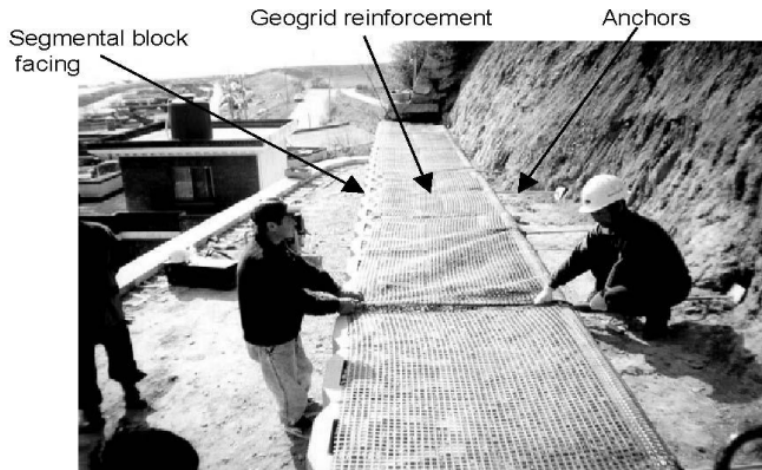
Dimana :

T_{\max} = Gaya tarik yang bekerja pada *geogrid*

σ_h = Tegangan Lateral aktif

S_v = Jarak vertikal antar *geogrid*

Adapun aplikasi dilapangan dapat dilihat pada Gambar (2.18) berikut ini.



Gambar 2.18 Aplikasi lapangan perkuatan talud kombinasi
Segmental blok, Geogrid dan Ground Anchor

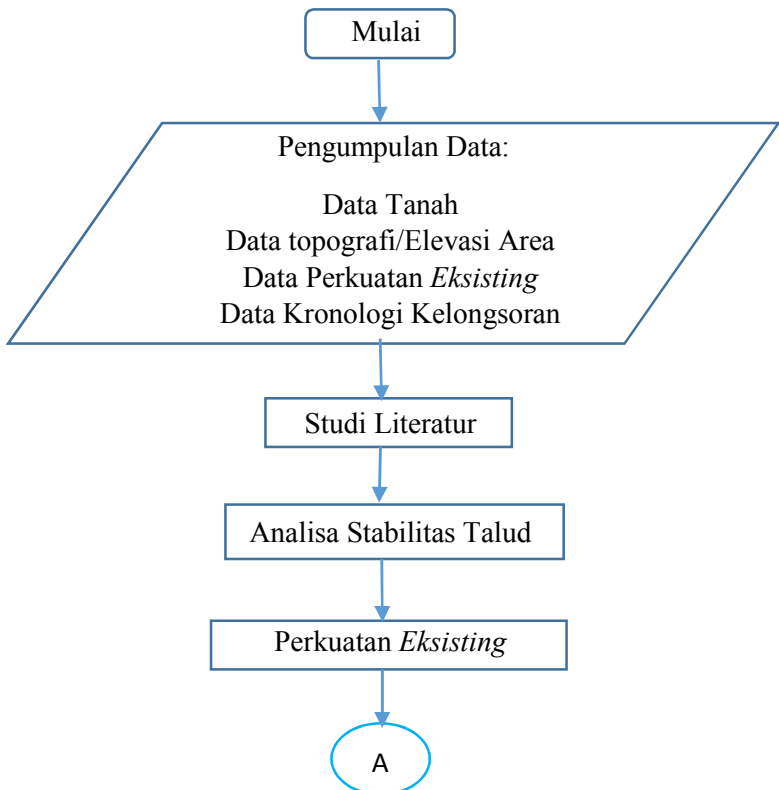
(Sumber : Technical Note Tencate Mirafi, 2010)

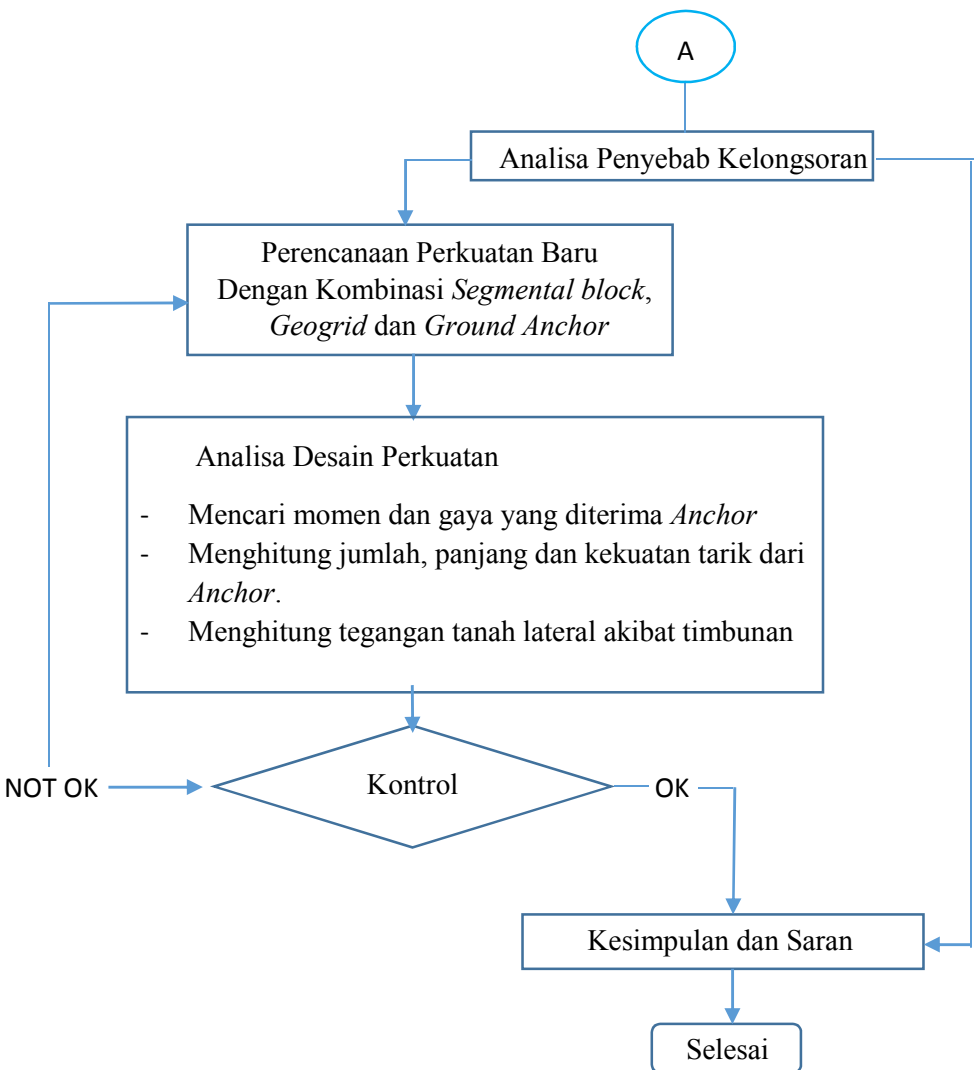
BAB III

METODOLOGI

3.1 Diagram Alir Perencanaan

Tahapan yang dilakukan dalam perencanaan perkuatan tanah pada kelongsoran talud RSUD Balikpapan adalah sebagai berikut:





Gambar 3.1 Digram Alir Perencanaan

3.2 Metodologi Pengerjaan Tugas Akhir

Berdasarkan diagram alir tersebut, metodologi yang dipakai dalam penyusunan tugas akhir ini adalah sebagai berikut :

1. Pengumpulan data tugas akhir

Data tugas akhir berupa, data tanah, data topografi , data perencanaan *eksisting* dan data kronologis terjadinya kelongsoran yang didapat dari Laboratorium Mekanika Tanah ITS. Selain itu juga terdapat data umum yang berkaitan dengan perencanaan ini yaitu:

- a. Tipe Bangunan : Rumah Sakit
- b. Lokasi : Jl. Mayjend Sutoyo no 30 Balikpapan, Kalimantan Timur
- c. Perkuatan Eksisting : *Bored pile* dari beton bertulang (diameter 80 cm) ,panjang 20 m.

2. Studi Literatur

Mencari Studi Literatur yang berkaitan dengan topik Tugas Akhir mengenai Perkuatan talud menggunakan Kombinasi Segmental Block , Geogrid dan Anchor. Literatur yang digunakan adalah sebagai berikut :

- a. Technical Note TenCate Mirafi,2010. *Segmental Block Retaining Walls With Combination Geogrid and Anchor Reinforcements*, Kuala Lumpur.
- b. Badan Standarisasi Nasional.2017. Persyaratan Perancangan Geoteknik (SNI 8460-2017), Jakarta
- c. Terzaghi, K and Peck R.B. 1967. *Soil Mechanics in Engineering Practice*, 2nd edition. Jakarta : Erlangga.
- d. Das, Braja M., (*translated by Mochtar N.E, and Mochtar I.B.*). 1985. Mekanika Tanah (Prinsip-prinsip rekayasa Geoteknik) Jilid 1. Jakarta: Erlangga
- e. Das, Braja M., (*translated by Mochtar N.E, and Mochtar I.B.*). 1985. Mekanika Tanah (Prinsip-prinsip rekayasa Geoteknik) Jilid II. Jakarta: Erlangga

- f. Sosrodarsono, S and Nakazawa, K., (*Translate by Taulu L.*) 2000. Mekanika Tanah dan Teknik Pondasi.Jakarta: Pradya Paramita.
 - g. Wahyudi, Herman. 1999. Daya Dukung Pondasi Dalam. FTSP ITS, Surabaya
 - h. Moch. Sholeh, Yunaefi.2012 Penggunaan blok beton segmental sebagai dinding penahan dengan diperkuat geosintetik. Jurnal Teknik Sipil:Vol.10 no.2. hal 120-126
 - i. Direktorat Jenderal Bina Marga. 2012. Buku Petunjuk Teknis Perencanaan dan Penanganan Kelongsoran, Jakarta
 - j. Hardiyatmo, Hary Christady .2006. Mekanika Tanah I. Yogyakarta UGM Press
 - k. US. Departement of Transportation.1999. *Geotechnical Engineering Circular No.4 Ground Anchor and Anchors Systems*, Washington DC
 - l. I. B. Mochtar, "Cara Baru Memandang Konsep Stabilitas Lereng (Slope Stability) berdasarkan Kenyataan di Lapangan,". Seminar Nasional Geoteknik Himpunan Ahli Teknik Tanah Indonesia (HATTI), 2011.
3. Analisa Stabilitas Talud yaitu menganalisa stabilitas talud menggunakan program bantu *Geoslope*.
 4. Analisis Perkuatan *Eksisting* yaitu melakukan analisa perkuatan bored pile yang digunakan.
 5. Analisa Penyebab Kelongsoran yaitu mengidentifikasi mengapa kelongsoran bisa terjadi.
 6. Merencanakan Perkuatan baru menggunakan kombinasi *Segmental blok* , *Geogrid* dan *Anchor*.
 7. Menganalisan Desain perkuatan yaitu:
 - Menghitung tegangan lateral pada timbunan.
 - Menghitung tegangan pada perkuatan *Geogrid* dan *Anchor*

- Menghitung jumlah, panjang dan kekuatan tarik dari anchor
 8. Kontrol Stabilitas Desain perkuatan.
 9. Kesimpulan dan Saran.

3.3 Jadwal Pengerjaan Tugas Akhir

Berikut ini adalah tabel jadwal penggerjaan Tugas akhir yang akan disusun pada Tabel 3.1

Tabel 3.1 Jadwal Pengerjaan Tugas Akhir

Nomor	Nama Pekerjaan	Februari				Maret				April				Mei			
		1	2	3	4	1	2	3	4	1	2	3	4	1	2	3	4
1	Analisa Data Tanah																
2	Studi Literatur																
3	Analisis Stabilitas Talud																
4	Analisis Penyebab Kelongsoran																
5	Analisis Perkuatan Eksisting																
6	Merencanakan desain Perkuatan Talud menggunakan Kombinasi Segmental Block, Geogrid dan Ground Anchor																
7	Kesimpulan saran																

“Halaman sengaja dikosongkan”

BAB IV

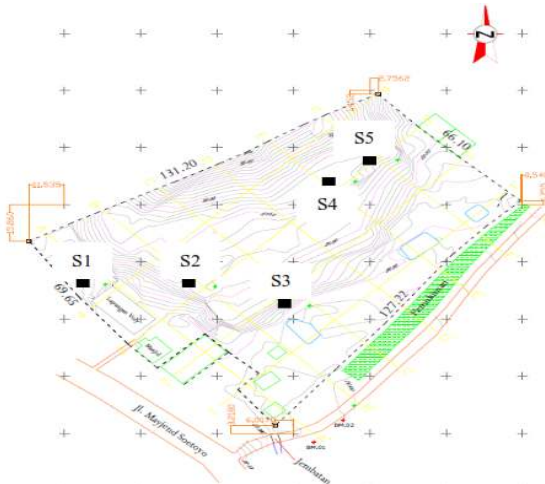
ANALISA DATA

4.1 Analisa Data Tanah

Data tanah yang digunakan dalam tugas akhir ini adalah data hasil penyelidikan tanah yang dilakukan oleh Politeknik Samarinda pada proyek pembangunan gedung RSUD kota Balikpapan. Data tersebut berupa data lapangan dan data pengujian di Laboratorium Data tanah dan hasil analisa dapat dilihat pada (Lampiran 1).

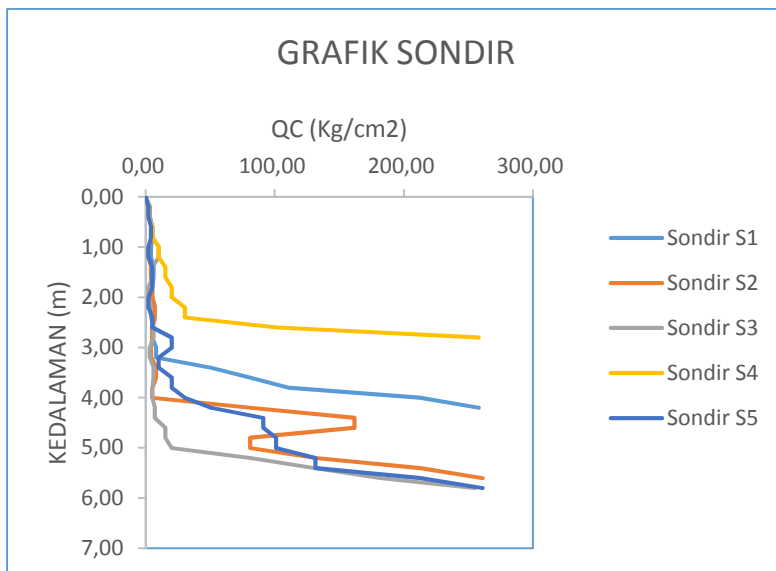
4.1.1 Data Lapangan

Data lapangan yang tersedia pada proyek pembangunan gedung RSUD kota Balikpapan berupa data sondir. Pengujian sondir terletak pada titik S1 dengan koordinat 482987.5;9860312.5 , titik S2 dengan koordinat 483023.3;9860310.8 , titik S3 dengan 483060.7;9860306.3, titik S4 dengan koordinat 483071.2;9860359.4 dan titik S5 dengan 483082.6;9860369.1.



Gambar 4.1 Lokasi Pengujian Sondir

Berdasarkan lokasi pengujian sondir seperti pada (Gambar 4.1) terlihat bahwa titik pengujian tanah berada pada sepanjang area lereng yang longsor pada jarak yang berbeda. Data hasil tes sondir tersebut digunakan dengan merata-rata hambatan konus dari semua pengujian dan hasilnya dikorelasikan untuk mencari parameter-parameter tanah yang belum diketahui. Kemudian parameter-parameter tanah tersebut dianalisa dan digunakan untuk membuat statigrafi lapisan tanah yang sesuai dengan kondisi lapangan. Berikut ini adalah hasil pengujian sondir lapangan yang disajikan dalam Grafik dibawah ini.



Gambar 4.2 Grafik sondir

Berdasarkan data sondir yang tersedia dilakukan korelasi nilai SPT untuk mengetahui klasifikasi tanah tiap lapisan. Data sondir dapat dilihat pada Lampiran 1. Berikut ini adalah hasil korelasi data sondir ke N-SPT dan klasifikasi berdasarkan besar hambatan konus

dari uji sondir seperti terlihat pada Tabel 4.1 dan Tabel 4.2 serta Tabel 4.3.

Tabel 4.1 Klasifikasi lapisan tanah berdasarkan N-SPT

Kedalaman (h)	Hambatan konus (Qc)	SPT	Klasifikasi
m	Kg/cm^2		
0,00	0	0	-
1,00	5	2	Sangat Lunak (very soft)
2,00	7	2	Sangat Lunak (very soft)
3,00	11	3	Lunak (soft)
4,00	61	16	Kaku (stiff)
5,00	67	18	Kaku (stiff)
6,00	258	40	Keras (hard)

Tabel 4.2 Klasifikasi lapisan tanah berdasarkan Hambatan Konus

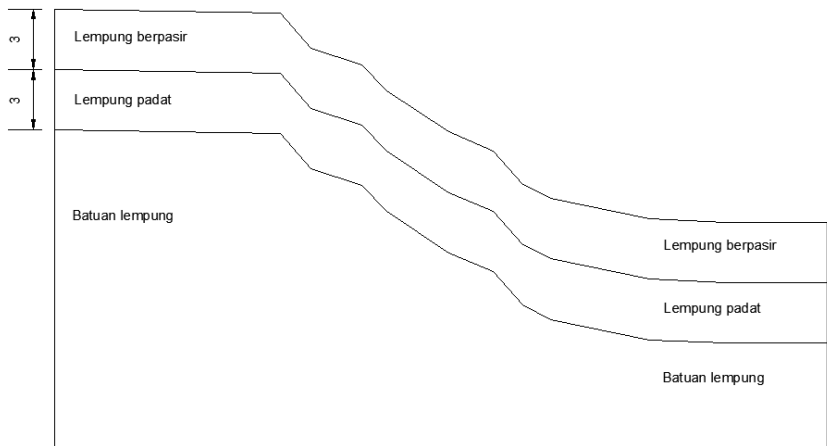
Kedalaman (h)	Hambatan konus (Qc)	Fr	Klasifikasi
m	Kg/cm^2	%	
0,00	0	0	-
1,00	5	3	Lempung berpasir
2,00	7	3	Lempung berpasir
3,00	11	3	Lempung
4,00	61	2	Lempung padat
5,00	67	3	Lempung padat
6,00	258	1	Batuhan lempung/ pasir padat

4.1.2 Data Laboratorium

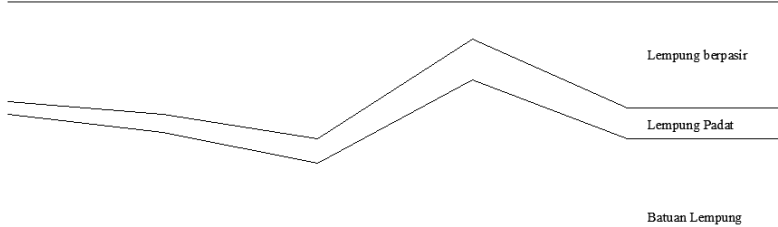
Data laboratorium yang tersedia pada tugas akhir ini berupa data hasil pengujian berat isi , kadar air dan *direct shear* tanah. Akan tetapi, pengujian hanya dilakukan sampai kedalaman 2 m. Oleh karena itu untuk kedalaman lebih dari 2 meter dilakukan korelasi data tanah berdasarkan parameter data lapangan. Data Laboratorium dapat dilihat pada Lampiran 1.

4.1.3 Penyelidikan Data Lapisan Tanah

Berdasarkan data tanah yang tersedia , lapisan tanah hanya diuji hingga kedalaman 6 meter menggunakan uji sondir sedangkan hasil uji Laboratorium hanya didapat pada kedalaman 2 meter. Sehingga lapisan dibawahnya diasumsikan seperti terlihat pada Tabel 4.2. Berikut ini adalah *statigrafi* lapisan tanah berdasarkan data tanah seperti pada (Gambar 4.3).



Gambar 4.3 *Statigrafi* jenis lapisan tanah arah melintang



Gambar 4.4 *Statigrafi* jenis lapisan tanah arah Memanjang talud

Tabel 4.3 Hasil rekapitulasi dari tes sodir dan uji Laboratorium di lokasi perencanaan.

Kedalaman	Qc Kg/cm ²	N-SPT	γ (kN/m ³)		Strenght	
			Sat	Moist	Φ^o	C' (Kpa)
0-3 m	8	3	18.2	15.1	0	6
3-6 m	64	17	16.4	13.6	0	50
6-20 m	258	40	20	16,6	0	100

Hasil rekapitulasi data tanah pada kedalaman lebih dari 3 meter didapatkan dari hasil koreksi dan korelasi nilai N-SPT terhadap tanah kohesif yang terlihat pada Tabel 4.3 berikut :

Tabel 4.3 Konsistensi tanah (untuk tanah dominan lanau dan lempung).

Konsistensi tanah	Taksiran harga kekuatan geser undrained, C _u		Taksiran harga SPT, harga N	Taksiran harga tahanan conus, q _c (dari Sondir)	
	kPa	ton / m ²		kG/cm ²	kPa
<u>Sangat lunak (very soft)</u>	0 – 12.5	0 – 1.25	0 – 2.5	0 – 10	0 – 1000
<u>Lunak (soft)</u>	12.5 – 25	1.25 – 2.5	2.5 – 5	10 – 20	1000 – 2000
<u>Menengah (medium)</u>	25 – 50	2.5 – 5.	5 – 10	20 – 40	2000 – 4000
<u>Kaku (stiff)</u>	50 – 100	5.0 – 10.	10 – 20	40 – 75	4000 – 7500
<u>Sangat kaku (very stiff)</u>	100 – 200	10. – 20.	20 – 40	75 – 150	7500 – 15000
<u>Keras (hard)</u>	> 200	> 20.	> 40	> 150	> 15000

Sumber : Mochtar (2006), revised (2012)

4.1.4 Data Lapisan Tanah Asumsi *Behaving like sand*

Pada perencanaan ini, data tanah dianalisa dengan asumsi *behaving like sand* dimana kondisi ini diambil agar sesuai dengan kondisi yang terjadi di lapangan. Perbedaan antara data tanah asli dan data tanah *behaving like sand* adalah terdapat pada nilai C dan Φ . Pada data tanah asli, tanahnya seperti apa adanya sedangkan pada tanah *behaving like sand* data tanahnya diasumsikan menyerupai pasir.

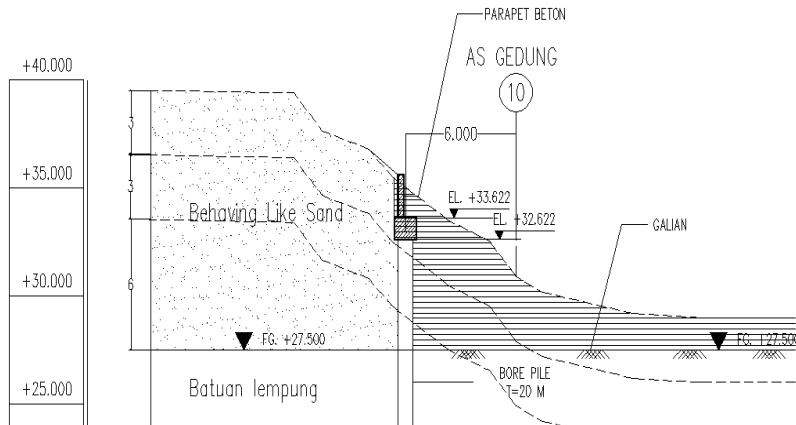
Menurut Mochtar, pada lereng-lereng yang lapuk sudah terjadi retak-retak yang kemungkinan besar terisi lapisan pasir sehingga apabila terjadi kelongsoran sepanjang bidang-bidang retak tersebut maka asumsi lapisan tanah seolah-olah dianggap pasir (*behaving like sand*). Kondisi tersebut menyebabkan stabilitas talud menjadi tidak aman untuk kondisi yang akan datang sehingga perlu adanya perkuatan talud. Dari Asumsi tersebut maka diambil keputusan bahwa nilai C dianggap sama dengan nol dan untuk nilai Φ dianggap bersifat seperti pasir yang terlihat pada Tabel 4.4 berikut ini :

Tabel 4.4 Data tanah *behaving like sand*

Elevasi	Kedalaman (H)	Qc Kg/cm ²	N-SPT	γ (kN/m ³)		Strenght	
				Sat	Moist	Φ^o	C' (Kpa)
$\pm 39,5 - \pm 36,5$	0-3 m	8	3	18.2	15.1	24	0
$\pm 36,5 - \pm 33,5$	3-6 m	64	17	16.4	13.6	31	0
$\pm 33,5 - \pm 27,5$	6-12 m	258	40	20	16,6	35	0
$\pm 27,5 - \text{dasar}$	12-20 m	258	40	20	16,6	35	100

Dari data tanah diatas, kondisi muka air tanah berada di atas permukaan lereng (kondisi terkritis). Lapisan yang diasumsikan sebagai *behaving like sand* adalah lapisan sampai dengan elevasi FG.+27.50 yang merupakan dasar galian pada lokasi tersebut (gambar 4.3). Data tanah asli dan data tanah *behaving like sand*

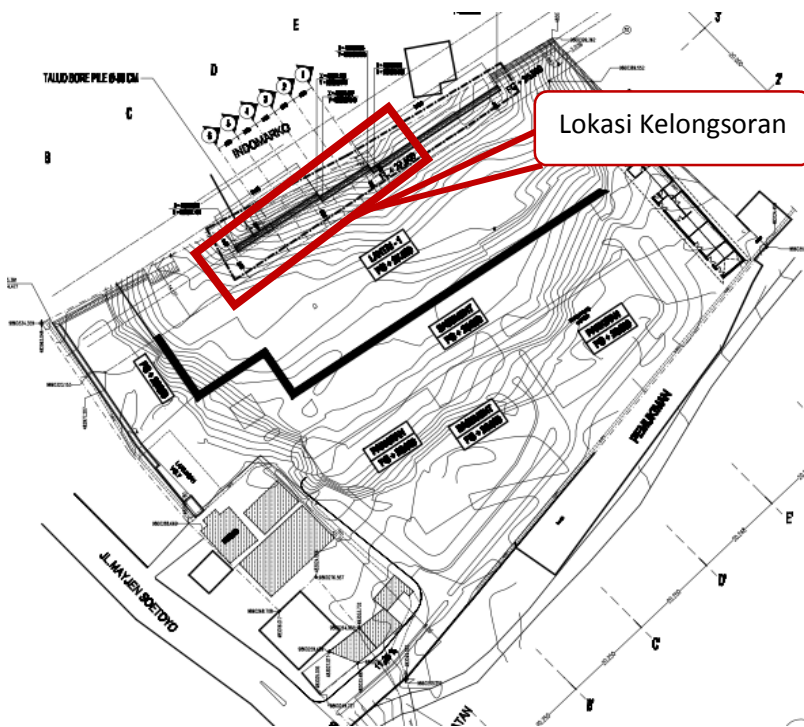
tersebut akan dimasukkan ke dalam program bantu *Geoslope* untuk dicek kestabilan lerengnya apakah sesuai dengan kondisi saat ini.



Gambar 4.5 Lapisan *Behaving Like Sand*

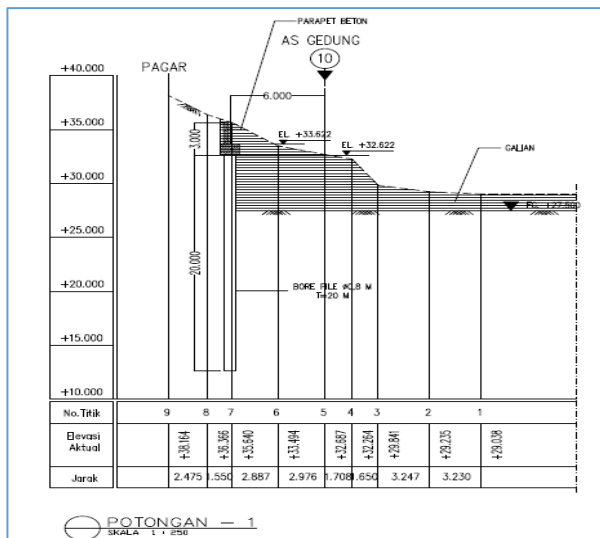
4.2 Analisa Topografi dan Pemodelan Talud

Topografi tanah di lokasi perencanaan merupakan area berbukit dengan kemiringan yang relatif curam. Berdasarkan data gambar lokasi kelongsoran berada pada lereng sepanjang 25 meter dengan ketinggian berkisar 10 meter. Jarak antar lereng yang mengalami kelongsoran dengan sisi terluar rumah sakit relatif berdekatan dengan jarak antara 5-7 meter. Hal ini berdampak pada perencanaan perkuatan yang akan digunakan dikarenakan akses alat berat ke lokasi perencanaan sangat sulit dilakukan. Berikut ini adalah *lay out* pada lokasi kelongsoran seperti pada (Gambar 4.4).

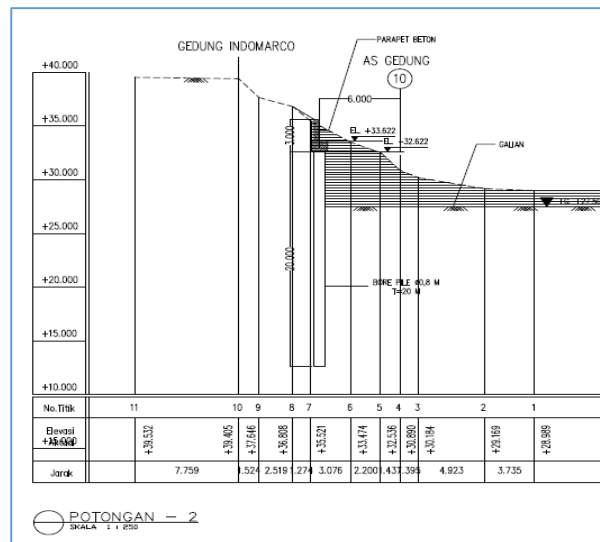


Gambar 4.6 *Lay out* lokasi Perencanaan

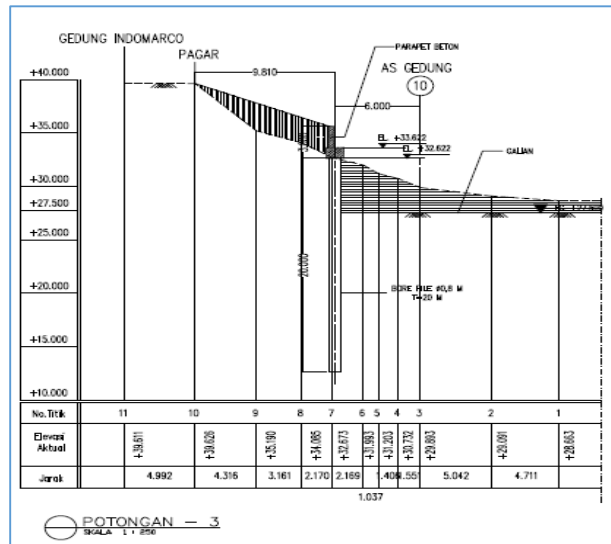
Pada tugas akhir ini , pemodelan geometri talud menggunakan program bantu *Geoslope* yang didasarkan pada gambar Potongan talud dimana talud terbagi menjadi 6 model sesuai *lay outs* seperti pada (Gambar 4.4). Berikut adalah pemodelah geometri talud berdasarkan gambar perencanaan eksisting seperti terlihat pada Gambar 4.5 sampai Gambar 4.10 . Untuk Gambar perencanaan Eksisting dapat juga dilihat pada Lampiran 2.



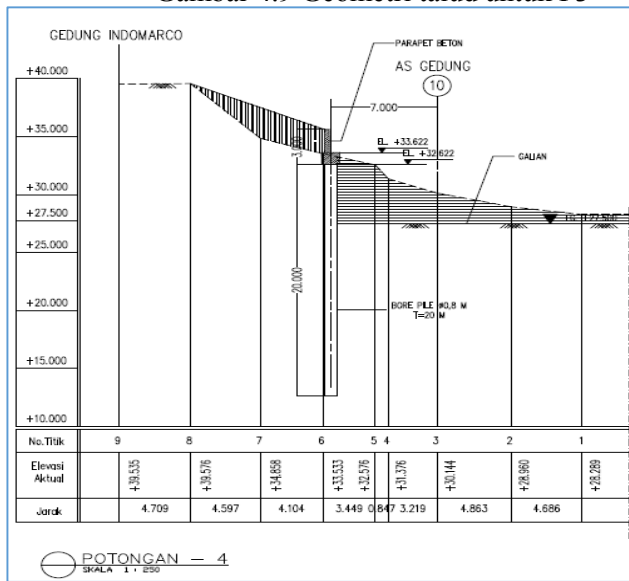
Gambar 4.7 Geometri Talud untuk P1



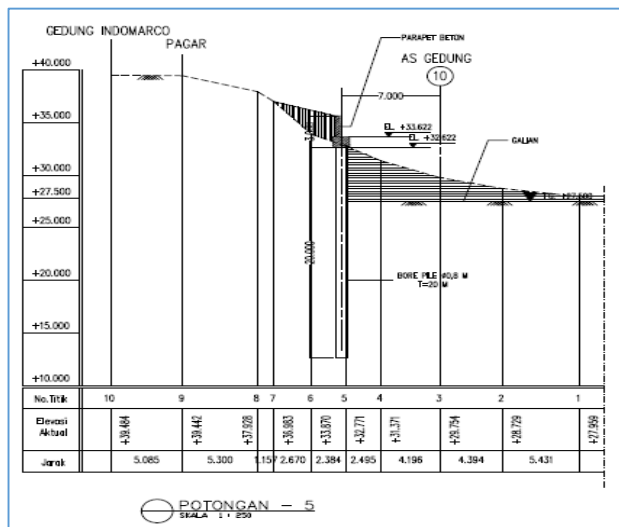
Gambar 4.8 Geometri talud untuk P2



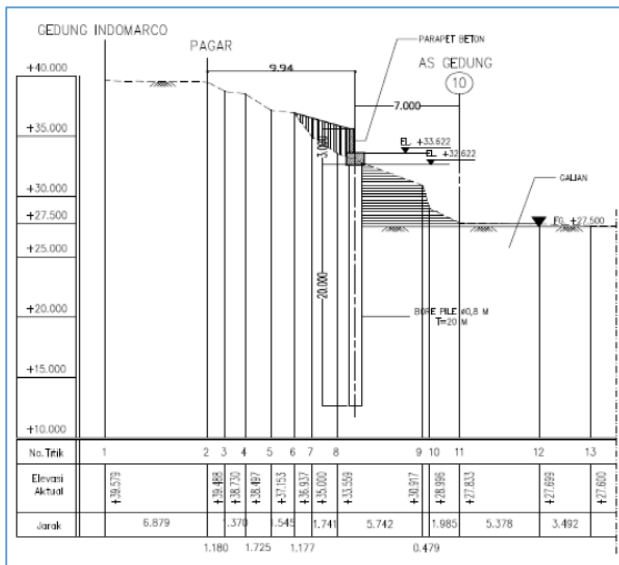
Gambar 4.9 Geometri talud untuk P3



Gambar 4.10 Geometri Talud P4



Gambar 4.11 Geometri Talud P5



Gambar 4.12 Geometri Talud P6

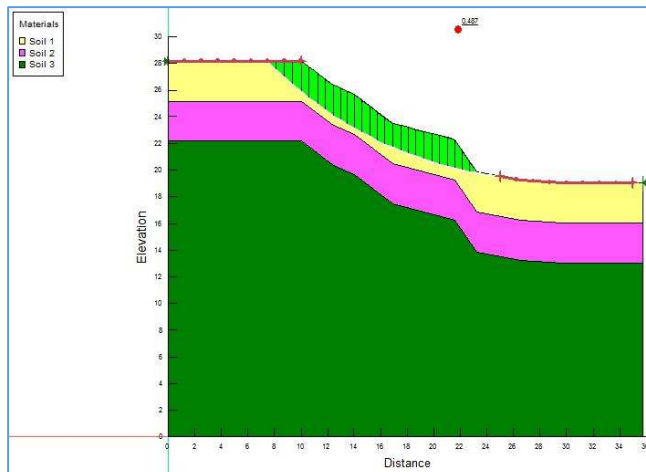
4.3 Analisa Stabilitas Talud

Analisa talud dilakukan dengan 2 kondisi yaitu analisa talud kondisi awal sebelum ada perkuatan eksisting dan analisa talud setelah ada perkuatan *eksisting* (*bored pile*). Proses analisa dilakukan menggunakan program bantu geoslope metode bishop pada saat kondisi terkritis. Adapun beban *surcharge* (*q*) akibat gedung Indomarco diatas talud diasumsikan sebesar 20 kN/m^2 .

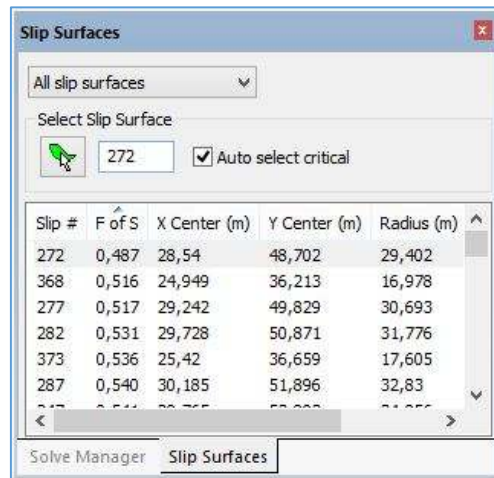
4.3.1 Analisa Talud Kondisi Awal

Analisa talud kondisi awal yaitu analisa talud pada kelongsoran pertama sebelum ada perkuatan *eksisting* berupa *bored pile* yang terjadi pada saat *Land clearing*. Adapun data tanah yang digunakan yaitu data tanah asli dominan lempung. Berikut adalah hasil analisa talud kondisi awal menggunakan program bantu *Geoslope* seperti pada (Gambar 4.11) sampai dengan (Gambar 4.22).

1. Potongan 1

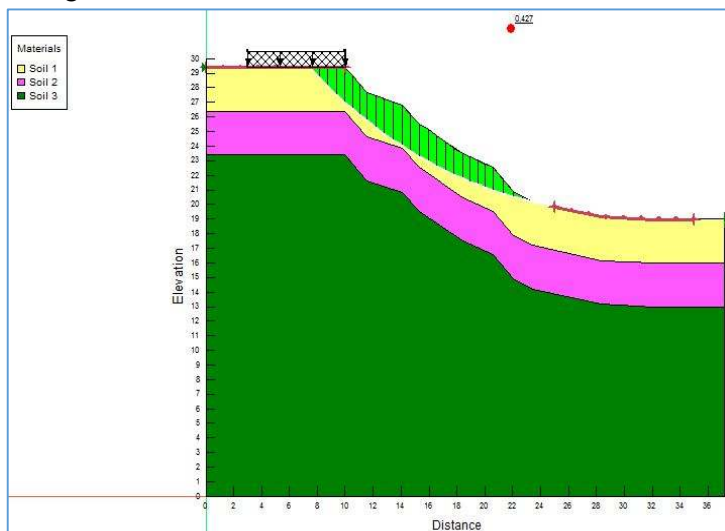


Gambar 4.13 Bidang Kelongsoran Pada Potongan 1

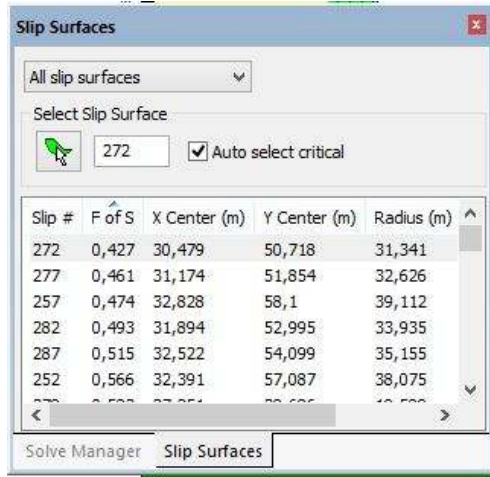


Gambar 4.14 Safety factor terkritis pada Potongan 1

2. Potongan 2

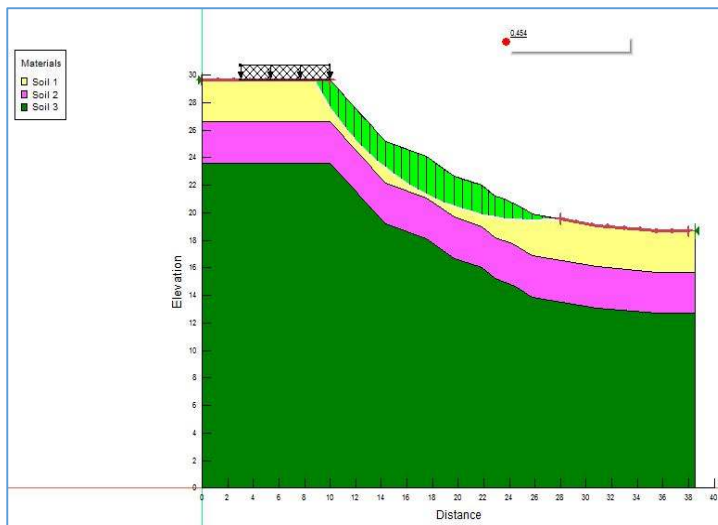


Gambar 4.15 Bidang Kelongsoran Pada Potongan 2



Gambar 4.16 Safety Factor terkritis pada Potongan 2

3. Potongan 3

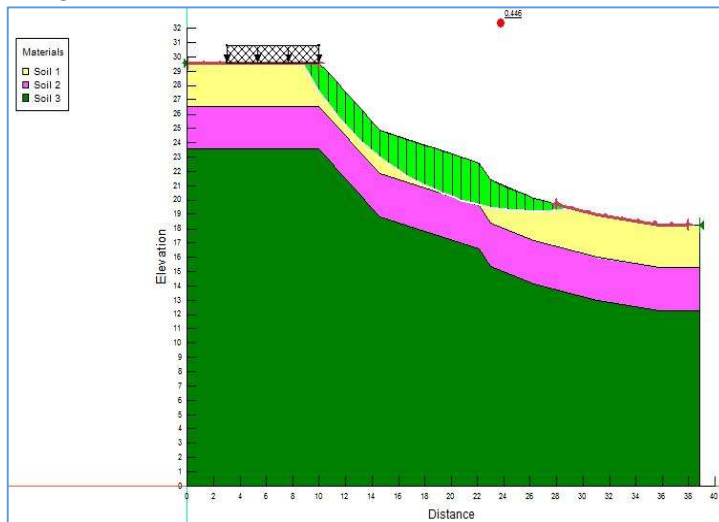


Gambar 4.17 Bidang Kelongsoran pada Potongan 3

Slip Surfaces				
All slip surfaces				
Select Slip Surface				
	318	<input checked="" type="checkbox"/> Auto select critical		
Slip #	F of S	X Center (m)	Y Center (m)	Radius (m)
318	0,454	25,942	39,035	19,599
323	0,460	26,53	39,508	20,342
328	0,466	27,134	39,983	21,1
333	0,474	27,69	40,446	21,812
338	0,482	28,235	40,905	22,514
343	0,489	28,794	41,367	23,23
348	0,600	29,364	41,831	23,956
272	0,604	32,039	53,641	34,334

Gambar 4.18 Safety Factor terkritis pada Potongan 3

4. Potongan 4

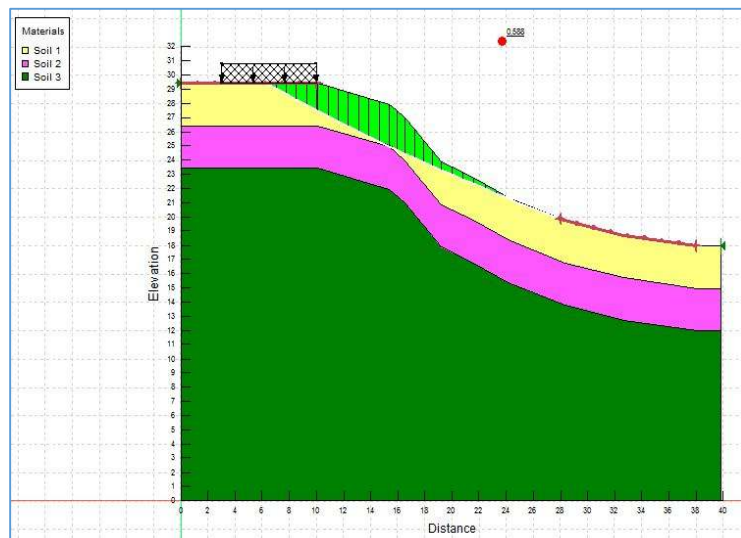


Gambar 4.19 Bidang Kelongsoran pada Potongan 4

Slip Surfaces				
All slip surfaces				
Select Slip Surface				
Slip #	F of S	X Center (m)	Y Center (m)	Radius
323	0,446	26,401	39,421	20,211
318	0,449	25,693	38,921	19,345
252	0,577	34,513	60,135	41,625
247	0,577	33,821	59,015	40,334
257	0,577	35,216	61,258	42,927
272	0,577	31,595	53,409	33,89

Gambar 4.20 Safety Factor terkritis Potongan 4

5. Potongan 5

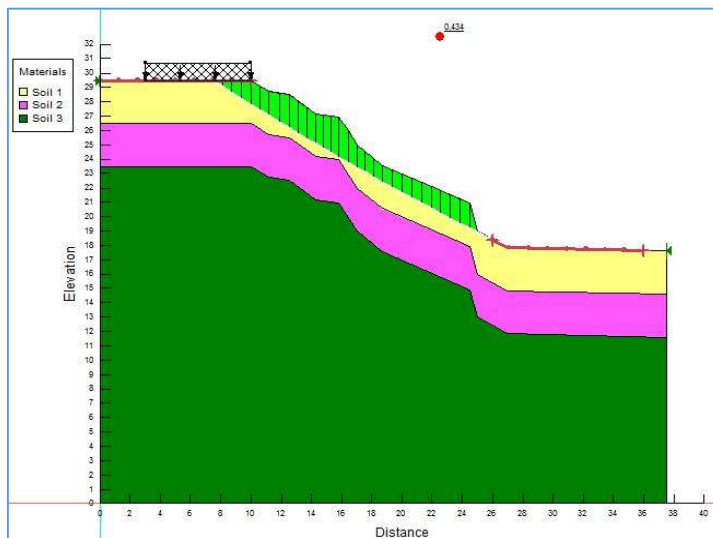


Gambar 4.21 Bidang Kelongsoran pada Potongan 5

Slip Surfaces					
All slip surfaces					
Select Slip Surface					
Slip #	F of S	X Center (m)	Y Center (m)	Radius	
226	0,588	90,458	191,19	182,35	
372	0,609	34,775	53,532	34,556	
377	0,638	35,594	54,713	35,968	
367	0,654	33,972	52,353	33,16	
382	0,669	36,379	55,88	37,348	
362	0,685	33,1	51,152	31,701	

Gambar 4.22 Safety Factor terkritis Potongan 5

6. Potongan 6



Gambar 4.23 Bidang Kelongsoran pada Potongan 6

Slip Surfaces					
All slip surfaces					
Select Slip Surface					
	271	<input checked="" type="checkbox"/> Auto select critical			
Slip #	F of S	X Center (m)	Y Center (m)	Radius	
271	0,434	114,72	187,19	190,7	
231	0,461	115,94	201,32	203,86	
226	0,464	110,93	192,58	193,8	
316	0,557	119,04	181,9	188,13	
322	0,636	36,775	53,342	36,802	
181	0,861	107,55	198,06	197,31	

Gambar 4.24 *Safety Factor* terkritis Potongan 6

Berikut ini adalah hasil rekapitulasi *Safety factor* masing-masing Potongan pada saat kondisi terkritis. Berdasarkan Tabel 4.5 tersebut didapat *safety factor* pada semua Potongan talud berada dibawah angka aman, sehingga dapat disimpulkan bahwa talud tersebut mengalami kelongsoran pada kondisi awal sebelum ada perkuatan pada kondisi terkritis. Angka keamanan paling rendah berada pada Potongan 2 dengan SF 0,427

Tabel 4.5 Rekapitulasi *Safety Factor*

Potongan	Safety Factor Terkritis
1	0,487
2	0,427
3	0,454
4	0,446
5	0,588
6	0,434

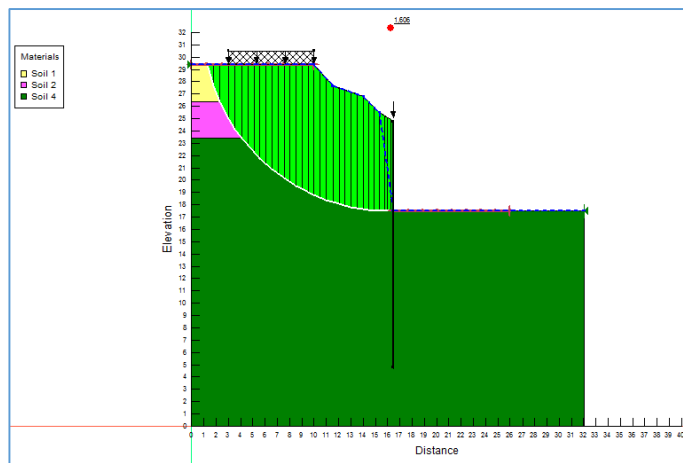
4.3.2 Analisa Perkuatan *Eksisting*

Analisa perkuatan *eksisting* merupakan analisa perkuatan talud *bored pile* dengan panjang 20 m dan diameter 0,8 m yang ada dilapangan pada saat terjadi longsor kedua. Pada Tugas akhir ini, analisa perkuatan *eksisting* dilakukan pada Potongan yang memiliki *safety factor* terkritis yaitu Potongan 2. Dalam analisa ini digunakan program bantu *Geoslope* dengan melihat 2 kondisi yaitu:

1. Analisa talud dengan perkuatan *eksisting* (*bored pile*) menggunakan data tanah asli
2. Analisa talud dengan perkuatan *eksisting* (*bored pile*) kedua menggunakan data asumsi *behaving like sand*.

Berikut adalah hasil analisa talud dengan perkuatan *eksisting* menggunakan program *Geoslope* berdasarkan 2 kondisi di atas seperti terlihat pada (Gambar 4.23) sampai dengan (Gambar 4.26).

1. Analisa perkuatan talud dengan data tanah asli



Gambar 4.25 Bidang Kelongsoran talud dengan perkuatan eksisting (bored pile) dengan data tanah asli

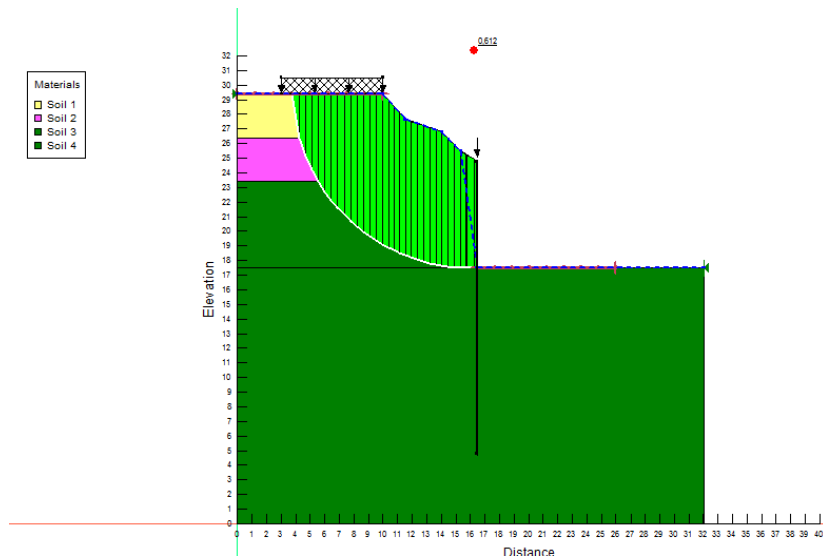
Slip Surfaces

All slip surfaces				
Select Slip Surface				
	49	<input checked="" type="checkbox"/> Auto select critical		
Slip #	F of S	X Center (m)	Y Center (m)	Radius
49	1,606	16,235	32,88	15,382
140	1,611	16,108	29,86	12,367
95	1,700	14,969	29,884	12,479
54	1,707	16,409	33,035	15,588
4	1,709	15,17	33,044	15,6
145	1,722	16,212	29,883	12,471

Gambar 4.26 Safety Factor Talud dengan perkuatan eksisting dengan data tanah asli

Berdasarkan hasil *running software Geoslope* terhadap bidang longsor menggunakan data tanah asli, didapatkan nilai *safety factor* sebesar 1,606. Sehingga perkuatan dengan material **bored pile aman** terhadap kelongsoran.

2. Analisa perkuatan talud dengan data tanah *behaving like sand*.



Gambar 4.27 Bidang Kelongsoran talud dengan perkuatan eksisting (*bored pile*) dengan asumsi *behaving like sand*

Slip Surfaces				
All slip surfaces				
Select Slip Surface				
	140	<input checked="" type="checkbox"/> Auto select critical		
Slip #	F of S	X Center (m)	Y Center (m)	Radius
140	0,612	16,108	29,86	12,367
49	0,645	16,235	32,88	15,382
54	0,842	16,409	33,035	15,588
104	0,848	17,648	33,027	15,575
145	0,854	16,212	29,883	12,471

Gambar 4.28 *Safety Factor* talud dengan perkuatan *eksisting* asumsi *behaving like sand*

Berdasarkan hasil *running software Geoslope* terhadap bidang longsor menggunakan data tanah asumsi *behaving like sand*, didapatkan nilai *safety factor* sebesar 0,612. Sehingga perkuatan dengan material *bored pile* **tidak aman** terhadap kelongsoran. Oleh karena itu untuk perencanaan perkuatan selanjutnya digunakan data asumsi *behaving like sand* agar perencanaan lebih mendekati dengan kondisi yang ada di lapangan.

4.4 Data Perencanaan Perkuatan Talud

4.4.1 Data Ground Anchor

Ground Anchor yang digunakan pada perencanaan ini adalah ground anchor tipe *Freyssibar* produksi PT. Freyysinet (Lampiran 3). Produk ini dipakai karena mudah dalam proses instalasi dan memiliki lapisan anti-korosi yang tinggi. Adapun spesifikasi *Ground anchor* sebagai berikut:

Tipe	: <i>Permanen Freyssibar Anchor</i>
Diameter	: 32 mm
<i>Ultimate Load</i>	: 828 kN
<i>Yield Load</i>	: 672 kN
<i>Ultimate Strength</i>	: 1030 kN/m ²

Spesifikasi material *Ground Anchor* lebih detail dapat dilihat pada Lampiran 3.

4.4.2 Data *Geogrid*

Geogrid yang digunakan adalah *Tenax Uni-Axial Grids* tipe TT 160 SAMP produksi Tenax dengan *tensile strength* 160 kN/m. Produk ini dipakai karena memiliki modulus tarik yang tinggi, kapaistas *interlock* yang baik dan memiliki ketahanan yang lama. Spesifikasi selengkapnya dapat dilihat pada Lampiran 3.

4.4.3 Data *Segmental Blok*

Segmental blok yang digunakan adalah tipe LAU (*Long Anchoring Unit*) produksi *Allan Block* yang sering dipakai sebagai dinding *facing* perkuatan *anchor*. Adapun dimensi *Segmental blok* yang digunakan adalah sebagai berikut:

Panjang	: 585 mm
Lebar	: 300 mm
Tinggi	: 200 mm
Berat	: 40 kg

Spesifikasi Material *Segmental blok* lebih detail dapat dilihat pada Lampiran 3.

“Halaman sengaja dikosongkan”

BAB V

PERENCANAAN PERKUATAN TALUD

5.1 Data Perkuatan Talud

5.1.2 Data Ground Anchor

Ground anchor yang digunakan pada perencanaan ini adalah *Ground anchor* tipe Bar produksi PT. Freyssinet. Adapun spesifikasi *Ground anchor* sebagai berikut:

Tipe	: <i>Permanen Freyssibar Anchor</i>
Diameter	: 32 mm
<i>Ultimate Load</i>	: 828 kN
<i>Yield Load</i>	: 672 kN
<i>Ultimate Strength</i>	: 1030 kN/m ²

5.1.3 Data Geogrid

Geogrid yang digunakan adalah *Tenax Uni-Axial Grids* tipe TT 160 SAMP produksi Tenax dengan tensile strength 160 kN/m. Spesifikasi selengkapnya dapat dilihat pada Lampiran 3

5.1.4 Data Segmental Blok

Segmental blok yang digunakan adalah tipe LAU yang memiliki dimensi sebagai berikut

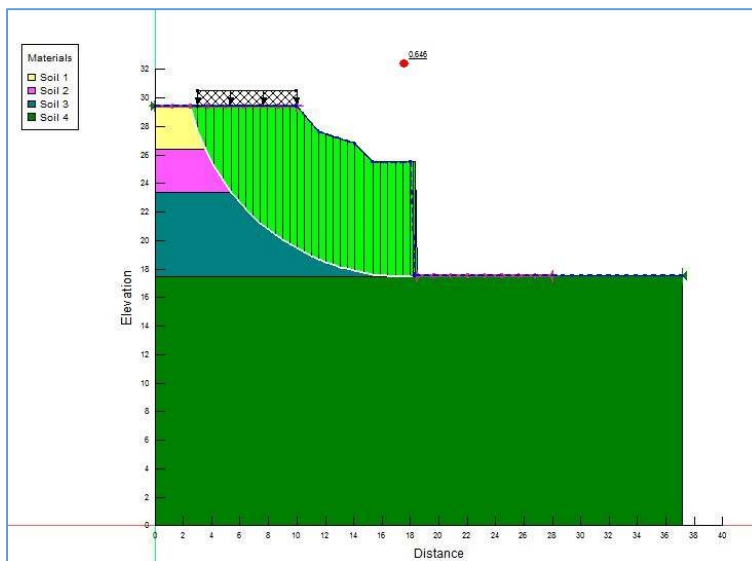
Panjang	: 585 mm
Lebar	: 300 mm
Tinggi	: 200 mm
Berat	: 40 kg

5.2 Perencanaan Perkuatan Talud dengan Kombinasi Segmental blok, Geogrid dan Ground Anchor

Perkuatan ini mengandalkan *Ground anchor* sebagai penahan semua gaya dan momen yang bekerja pada talud. Adapun *Geogrid* hanya penambah stabilitas pada tanah timbunan dan *Segmental blok* hanya difungsikan sebagai *facing*. Berikut adalah perhitungan *ground anchor* dan gaya tarik yang bekerja pada *geogrid* yang digunakan.

5.2.1 Perhitungan *Ground Anchor*

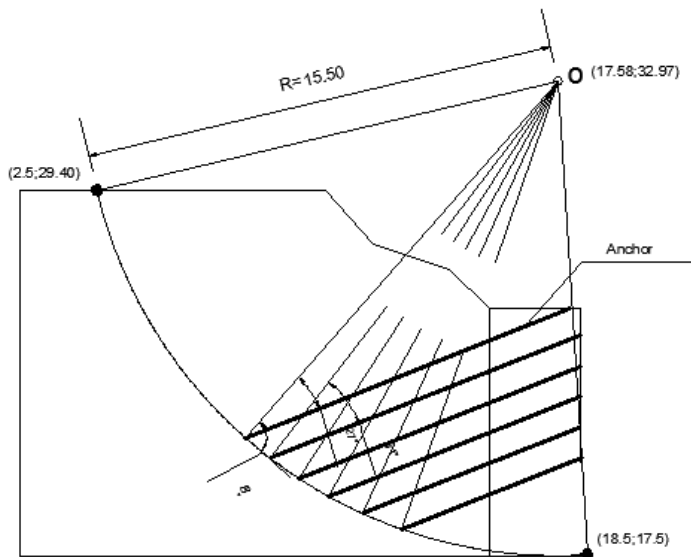
Perhitungan *Ground anchor* dibawah ini menggunakan data hasil analisa kelongsoran pada Potongan 2 dengan beban *surcharge* (q) 20 kN/m². Berikut ini adalah hasil analisa kelongsoran talud pada Potongan 2 menggunakan software *Geoslope* seperti terlihat pada (Gambar 5.1) :



Gambar 5.1 Hasil *Running Geoslope* Potongan 2

<i>Factor of Safety</i>	: 0,646
<i>Resisting Moment</i>	: 9.945,6668 kN·m
<i>Exit</i>	: (18,5; 17,5) m
<i>Entry</i>	: (2,5; 29,405) m
<i>Radius</i>	: 15,504589 m
<i>Center</i>	: (17,587348; 32,977705) m

Direncanakan 6 buah *Ground anchor* dipasang dengan jarak 2 m dengan diameter *grouting* sebesar 0,3 m dengan nilai $C_u = 100 \text{ kN/m}^2$ untuk tanah keras (gambar 4.30). Berikut ini adalah Perhitungan (ΔMR), Gaya tegak lurus bidang longsor yang dimiliki *Anchor* (*N-Anchor*), dan Panjang lekatan atau panjang *Grouting* (*L*) yang dibutuhkan untuk perkuatan talud. Koordinat longsor dan sudut anchor pada talud dapat dilihat pada (Gambar 5.2).



Gambar 5.2 Koordinat kelongsoran dan sudut *Anchor*

Jumlah *Ground Anchor* (n) = 6 buah
 Jari-jari kelongsoran = 15,50 m
 Sudut *Anchor* tegak lurus bidang longsor (α) :

- Anchor 1 = 27^0
- Anchor 2 = 31^0
- Anchor 3 = 35^0
- Anchor 4 = 39^0
- Anchor 5 = 43^0
- Anchor 6 = 48^0

Menghitung Momen dorong (Md):

$$Md = \frac{M_{resisten}}{SF} = \frac{9945,668}{0,646} = 15395,779 \text{ kNm}$$

Kemudian mencari $M_{resisten}$ rencana dengan SF rencana = 1,5

$$\begin{aligned} M_{resisten} \text{ rencana} &= Md \times SF \text{ rencana} \\ &= 15395,779 \text{ kNm} \times 1,5 \\ &= 23093,65 \text{ kNm} \end{aligned}$$

Maka didapat nilai ΔMR yaitu nilai momen yang akan dipikul oleh *Ground anchor* adalah sebagai berikut:

$$\begin{aligned} \Delta MR &= M_{resisten} \text{ rencana} - M_{resisten} \text{ yang terjadi} \\ &= 23093,65 \text{ kNm} - 9945,668 \text{ kNm} \\ &= 13147,98 \text{ kNm} \end{aligned}$$

Dikarenakan *Ground anchor* direncanakan setiap 2 meter, maka nilai momen yang dipikul *Ground anchor* harus dikali 2 :

$$\Delta MR = 13147,98 \text{ kNm} \times 2 = 26295,97 \text{ kNm}$$

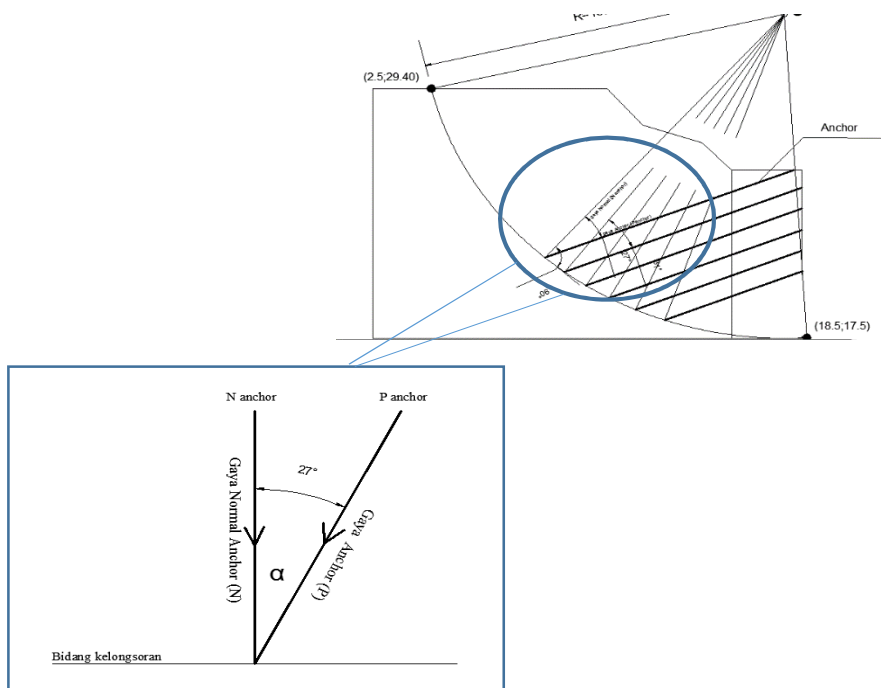
Perhitungan gaya yang ditimbulkan oleh ΔMR dan nantinya akan ditahan oleh *anchor* (N)

$$N = \frac{\Delta MR}{R \times \tan \theta} = \frac{26295,97}{15,5 \times \tan 35} = 2422,87 \text{ kN}$$

Gaya yang diterima setiap *anchor* (*N anchor*)

$$N_{\text{anchor}} = N/n = 2422,87 \text{ kN} / 6 = 403,81 \text{ kN}$$

Menghitung gaya normal *anchor* (*N*) yaitu gaya *anchor* yang tegak lurus bidang longsor. Berikut ini adalah penguraian gaya yang dimiliki oleh *anchor* untuk mendapatkan gaya normal (*N*) seperti terlihat pada (Gambar 5.3) :



Gambar 5.3 Penguraian Gaya Anchor

$$\cos \alpha = \frac{\text{Gaya Normal (N)}}{\text{Gaya Anchor (P)}}$$

Gaya Normal *Anchor* (*N anchor*):

$$N_{anchor} = P_{anchor} \times \cos \alpha$$

$$P_{anchor} = \frac{N_{anchor}}{\cos \alpha}$$

$$\begin{aligned} P_{anchor\ 1} &= N_{anchor} / \cos \alpha_1 \\ &= 403,81 \text{ kN} / \cos 27^\circ \\ &= 453 \text{ kN} \end{aligned}$$

$$\begin{aligned} P_{anchor\ 2} &= N_{anchor} / \cos \alpha_2 \\ &= 403,81 \text{ kN} / \cos 31^\circ \\ &= 471 \text{ kN} \end{aligned}$$

$$\begin{aligned} P_{anchor\ 3} &= N_{anchor} / \cos \alpha_3 \\ &= 403,81 \text{ kN} / \cos 35^\circ \\ &= 492,96 \text{ kN} \end{aligned}$$

$$\begin{aligned} P_{anchor\ 4} &= N_{anchor} / \cos \alpha_4 \\ &= 403,81 \text{ kN} / \cos 39^\circ \\ &= 519,6 \text{ kN} \end{aligned}$$

$$\begin{aligned} P_{anchor\ 5} &= N_{anchor} / \cos \alpha_5 \\ &= 403,81 \text{ kN} / \cos 43^\circ \\ &= 552 \text{ kN} \end{aligned}$$

$$\begin{aligned} P_{anchor\ 6} &= N_{anchor} / \cos \alpha_6 \\ &= 403,81 \text{ kN} / \cos 48^\circ \\ &= 603 \text{ kN} \end{aligned}$$

Menghitung Panjang *Grouting* yaitu menggunakan persamaan dengan nilai SF=2 dikarenakan kekuatan tarik pada bagian *fixed length anchor* diharuskan 2 kali dari *P anchor* dan *fixed lenght* harus dibenamkan pada tanah keras dimana dalam perencanaan ini tanah keras memiliki nilai $C_u = 100 \text{ kN/m}^2$.

$$N \times SF = C \times \pi \times D \times L$$

$$L = \frac{N \times SF}{C \times \pi \times D}$$

$$L_{anchor\ 1} = \frac{453 \times 2}{100 \times \pi \times 0,3} = 9,6\ m \approx 10\ m$$

$$L_{anchor\ 2} = \frac{471 \times 2}{100 \times \pi \times 0,3} = 9,9\ m \approx 10\ m$$

$$L_{anchor\ 3} = \frac{492,6 \times 2}{100 \times \pi \times 0,3} = 10,5\ m \approx 11\ m$$

$$L_{anchor\ 4} = \frac{519,6 \times 2}{100 \times \pi \times 0,3} = 11\ m \approx 11\ m$$

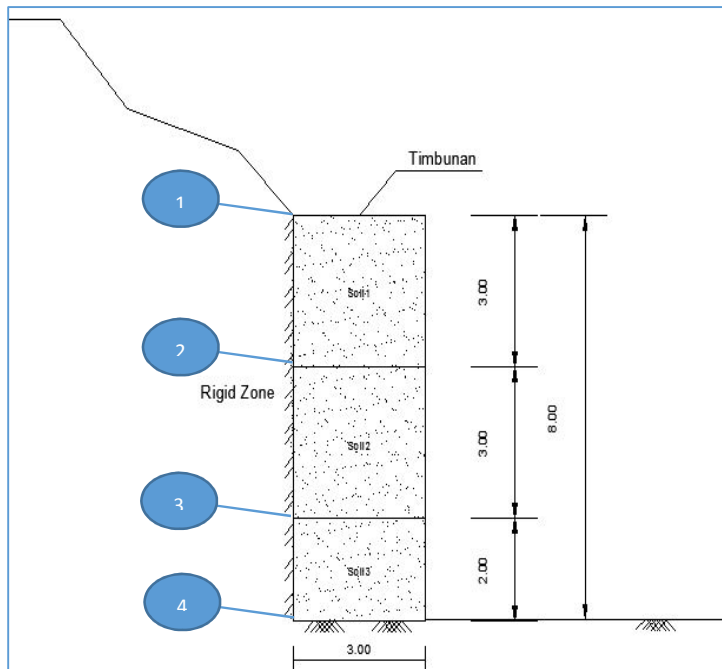
$$L_{anchor\ 5} = \frac{552 \times 2}{100 \times \pi \times 0,3} = 11,7\ m \approx 12\ m$$

$$L_{anchor\ 6} = \frac{603 \times 2}{100 \times \pi \times 0,3} = 12,8\ m \approx 13\ m$$

Berdasarkan hasil perhitungan yang telah dilakukan didapatkan gaya normal *Anchor* (N) = 403,81 kN dan P anchor terbesar 603 kN, maka *Ground Anchor* dengan ultimate load 828 kN sesuai spec aman dipakai dengan panjang *grouting* terbesar yaitu 13 m. Perhitungan lebih lanjut dapat dilihat pada Lampiran 4.

5.2.2 Kontrol Kapasitas Tarik *Geogrid*

Kontrol *geogrid* ini dilakukan untuk melihat kuat tarik *geogrid* terhadap gaya yang bekerja akibat timbunan setinggi 8 m. Gaya timbunan diperoleh dengan menghitung tegangan lateral yang bekerja. Gaya terbesar yang ditimbulkan oleh tanah timbunan akan dibandingkan dengan kapasitas tarik *Geogrid* yang dipakai. Berikut ini adalah perhitungan tegangan dan gaya lateral akibat timbunan. Lapisan tanah timbunan dapat dilihat pada (Gambar 5.4)



Gambar 5.4 Lapisan tanah timbunan

Data tanah timbunan :

Soil 1 : γ_{sat} = 18,2 kN/m³
 γ_w = 9,8 kN/m³
 γ' = 8,4 kN/m³
 ϕ = 24°
 C_u = 0 Kpa
 H_1 = 3 m

Soil 2 : γ_{sat} = 16,4 kN/m³
 γ_w = 9,8 kN/m³
 γ' = 6,6 kN/m³
 ϕ = 31°
 C_u = 0 Kpa
 H_2 = 3 m

Soil 3 :	γ_{sat}	= 20 kN/m ³
	γ_w	= 9,8 kN/m ³
	γ'	= 10,2 kN/m ³
	ϕ	= 35°
	Cu	= 0 Kpa
	H3	= 2 m

1. Perhitungan koefisien tekanan tanah aktif timbunan :

$$K_a = \tan^2(45^\circ - \phi/2)$$

$$K_{a1} = \tan^2(45^\circ - 24/2) = 0,42$$

$$K_{a2} = \tan^2(45^\circ - 31/2) = 0,32$$

$$K_{a3} = \tan^2(45^\circ - 35/2) = 0,27$$

2. Perhitungan Tegangan Lateral Aktif (σ_h)

- Titik 1

$$\begin{aligned}\sigma_{v1} &= \gamma_1' x h \\ &= 8,4 \text{ kN/m}^3 \times 0 \text{ m} = 0 \text{ kN/m}^2\end{aligned}$$

$$\begin{aligned}\sigma_{h1} &= \sigma_{v1} \times K_{a1} - (2c \sqrt{K_{a1}}) \\ &= 0 \text{ kN/m}^3 \times 0,42 - 0 = 0 \text{ kN/m}^2\end{aligned}$$

- Titik 2 atas

$$\begin{aligned}\sigma_{v2} &= \sigma_{v1} + \gamma_1' x h_1 \\ &= 0 \text{ kN/m}^3 + 8,4 \text{ kN/m}^3 \times 3 \text{ m} = 25,2 \text{ kN/m}^2\end{aligned}$$

$$\begin{aligned}\sigma_{h2a} &= \sigma_{v2} \times K_{a1} - (2c \sqrt{K_{a1}}) \\ &= 25,2 \text{ kN/m}^3 \times 0,42 - 0 = 10,62 \text{ kN/m}^2\end{aligned}$$

- Titik 2 bawah

$$\begin{aligned}\sigma_{v2} &= \sigma_{v1} + \gamma_1' x h_1 \\ &= 0 \text{ kN/m}^2 + 8,4 \text{ kN/m}^3 \times 3 \text{ m} = 25,2 \text{ kN/m}^2\end{aligned}$$

$$\begin{aligned}\sigma_{h2b} &= \sigma_{v2} \times K_{a2} - (2c \sqrt{K_{a2}}) \\ &= 25,2 \text{ kN/m}^3 \times 0,32 - 0 = 8,06 \text{ kN/m}^2\end{aligned}$$

- Titik 3 atas

$$\begin{aligned}\sigma_{v3} &= \sigma_{v2} + \gamma_2' x h_2 \\ &= 25,2 \text{ kN/m}^2 + 6,6 \text{ kN/m}^3 \times 3 \text{ m} = 45 \text{ kN/m}^2 \\ \sigma_{h3a} &= \sigma v_3 \times K_a_2 - (2c \sqrt{K_a_2}) \\ &= 45 \text{ kN/m}^2 \times 0,32 - 0 = 14,40 \text{ kN/m}^2\end{aligned}$$

- Titik 3 bawah

$$\begin{aligned}\sigma_{v3} &= \sigma_{v2} + \gamma_2' x h_2 \\ &= 25,2 \text{ kN/m}^2 + 6,6 \text{ kN/m}^3 \times 3 \text{ m} = 45 \text{ kN/m}^2 \\ \sigma_{h3b} &= \sigma v_3 \times K_a_3 - (2c \sqrt{K_a_3}) \\ &= 45 \text{ kN/m}^2 \times 0,27 - 0 = 12,19 \text{ kN/m}^2\end{aligned}$$

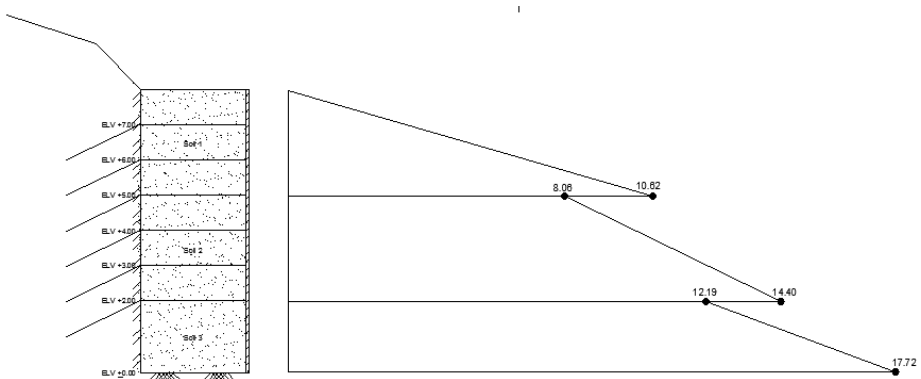
- Titik 4

$$\begin{aligned}\sigma_{v4} &= \sigma_{v3} + \gamma_3' x h_3 \\ &= 45 \text{ kN/m}^2 + 10,2 \text{ kN/m}^3 \times 2 \text{ m} = 65,4 \text{ kN/m}^2 \\ \sigma_{h3b} &= \sigma v_4 \times K_a_3 - (2c \sqrt{K_a_3}) \\ &= 65,4 \text{ kN/m}^2 \times 0,27 - 0 = 17,72 \text{ kN/m}^2\end{aligned}$$

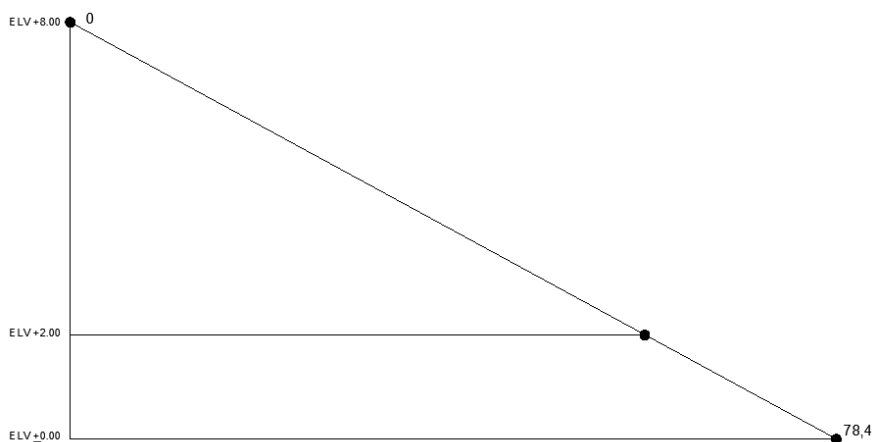
Tegangan air

$$\begin{aligned}\sigma_{vw} &= \gamma_w' x (h_1 + h_2 + h_3) \\ &= 9,8 \text{ kN/m}^3 \times (3 \text{ m} + 3 \text{ m} + 2 \text{ m}) = 78,4 \text{ kN/m}^2 \\ \sigma_{hw} &= \sigma_{vw} \times K_a_w \\ &= 78,4 \text{ kN/m}^2 \times 1 = 78,4 \text{ kN/m}^2\end{aligned}$$

Berikut ini adalah diagram tegangan lateral aktif timbunan akibat tegangan efektif tanah dan tegangan air seperti terlihat pada (Gambar 5.5) dan (Gambar 5.6).

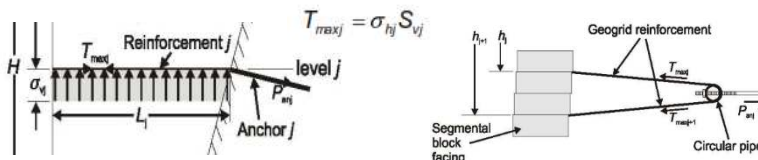


Gambar 5.5 Tegangan lateral efektif



Gambar 5.6 Tegangan lateral akibat air

Pada perencanaan ini, pemasangan *geogrid* dimulai elevasi +2.00 sampai ketinggian 8 m pada setiap *anchor* seperti pada gambar di atas dan ini berlaku untuk semua Potongan pada setiap gambar rencana. *Geogrid* yang menerima gaya lateral terbesar adalah *geogrid* yang berada pada elevasi paling bawah yaitu *geogrid* elv +2.00 sehingga gaya yang bekerja pada *geogrid* dapat dihitung dengan persamaan dibawah ini.



Gambar 5.7 Gaya yang bekerja pada *Geogrid*
Sumber: Technical TenCate Mirafi, 2010

$$T = \sigma_h \times S_v$$

$$T = (\sigma_{ha} + \sigma_w) \times S_v$$

Besar tegangan lateral yang diterima pada elevasi +2.00 sebagai berikut :

$$\sigma_{ha} = 14,40 \text{ kN/m}$$

$$\sigma_w = 58,8 \text{ kN/m}$$

$$S_v = \text{tebal lapisan} = 1 \text{ m}$$

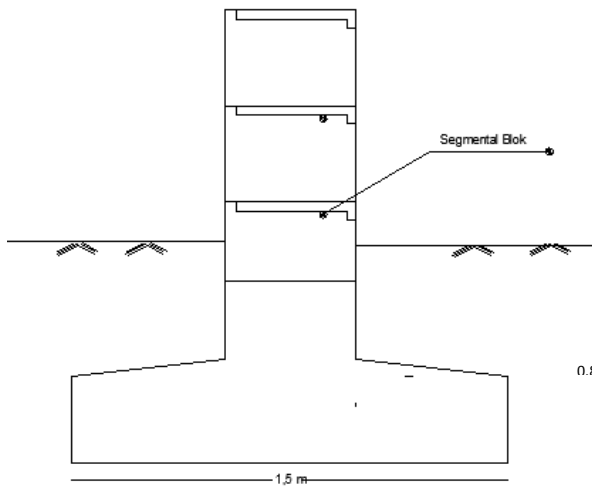
Sehingga gaya tarik yang diterima *geogrid* sebagai berikut :

$$\begin{aligned} T &= (14,40 + 58,80) \text{ kN/m}^2 \times 1 \text{ m} \\ &= 73,2 \text{ kN/m} \end{aligned}$$

Berdasarkan hasil perhitungan, gaya dihasilkan sebesar 73,2 kN/m. Sehingga *geogrid* yang dipasang sesuai *spec* yang memiliki *tensile strength* 160 kN/m **aman** terhadap gaya tarik yang dihasilkan.

5.2.3 Kontrol Bearing Capacity

Kontrol *Bearing Capacity* dihitung untuk melihat kapasitas daya dukung tanah dasar terhadap tumpukan segmental blok. Segmental blok ditanamkan pada tanah dasar yang tergolong tanah keras sedalam 0,8 m. Berikut perhitungan *bearing capacity* pada tanah dasar di bawah *Segmental blok*. Bentuk ilustrasi dasar *Segmental blok* terpasang dapat dilihat pada (Gambar 5.8).



Gambar 5.8 Pondasi/Dudukan *Segmental Blok*

Diketahui data perhitungan sebagai berikut:

Dimensi *Segmental Blok*

Panjang : 585 mm

Lebar : 300 mm

Tinggi : 200 mm

Berat : 40 kg

Data tanah dasar

$$\gamma = 20 \text{ kN/m}^2; Cu = 100 \text{ kPa} = 100 \text{ kN/m}^2; \phi = 35^\circ;$$

$$(N_c = 57,8, N_q = 41,4, N_\gamma = 42,4)$$

Pondasi

$$B = 1,5 \text{ m}; D_f = 0,8 \text{ m}$$

$$Q_{ult} = c'N_c + \gamma D_f N_q + 0,5\gamma B N_\gamma$$

$$= 100 \cdot 57,8 + 20 \cdot 1 \cdot 41,4 + 0,5 \cdot 20 \cdot 1,5 \cdot 42,4$$

$$= 7078,4 \text{ kN/m}^2$$

Menghitung Q_{actual} dari segmental blok

$$\text{Tinggi Segmental Blok } (h_1) = 0,2 \text{ m}$$

$$\text{Tinggi Timbunan } (H) = 8 \text{ m}$$

$$\text{Total Segmental Blok} = (H/h_1)$$

$$= 8 \text{ m} / 0,2 \text{ m} = 40 \text{ buah}$$

$$\text{Berat Segmental Blok} = 40 \text{ kg}$$

$$\text{Total berat } (W) = 40 \text{ kg} \times 40 = 1600 \text{ kg}$$

$$\text{Luasan dasar pondasi} = P \times L$$

$$= 0,585 \times 1,5 = 0,8775 \text{ m}^2$$

$$\text{Berat per satuan luas } (Q_{act}) = W/A$$

$$Q_{act} = 1600/0,8775 = 1823,36 \text{ kg/m}^2$$

$$SF = Q_{ult}/Q_{act}$$

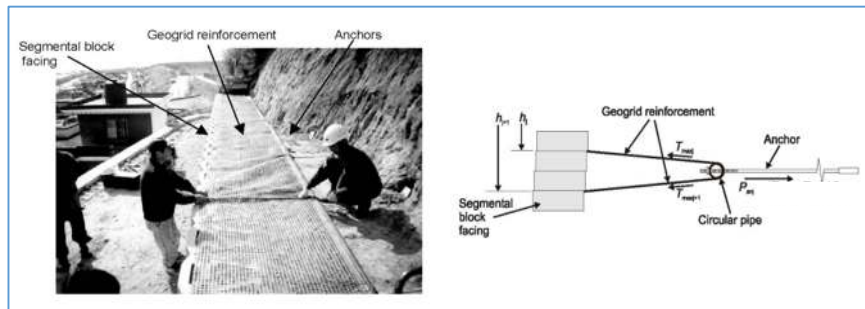
$$= 7078/1823,36$$

$$= 3,8 > SF_{ijin} = 3 \text{ (ok)}$$

5.3 Metode Pelaksanaan Perkuatan Talud dengan Kombinasi *Segmental blok, Geogrid dan Ground Anchor.*

Pada perencanaan perkuatan talud ini, ada 3 komponen utama yang digunakan yaitu *Segmental blok*, *Geogrid*, dan *Ground Anchor*. *Segmental blok* berfungsi sebagai *facing*. *Geogrid* pada perkuatan ini digunakan untuk memberikan kestabilan pada tanah timbunan itu sendiri. Sedangkan *Ground anchor* berfungsi untuk menahan seluruh gaya yang diterima akibat timbunan maupun lereng dibelakang timbunan seperti (Gambar 5.9). Adapun metode pelaksanaannya dibagi menjadi beberapa tahapan sebagai berikut:

- Pemasangan *Segmental blok* pada timbunan yang berfungsi sebagai *facing*.
- Pemasangan *Geogrid* yang terhubung dengan *Ground Anchor*.
- Pemasangan *Ground Anchor* yang berfungsi untuk menahan semua gaya dan momen yang bekerja.



Gambar 5.9 Perkuatan *Segmental blok, geogrid* dan *Ground Anchor*

Sumber: Technical TenCate Mirafi, 2010

5.4.1 Pemasangan *Segmental Blok* dan *Geogrid* pada Timbunan

Pemasangan *segmental blok* dan *geogrid* dilakukan secara bersamaan. Akan tetapi *geogrid* ini dipasang pada setiap lokasi *ground anchor* yang akan dihubungkan. Adapun pemasangan *segmental blok* dan *geogrid* adalah sebagai berikut :

1. Pembersihan lahan yang akan dipasang perkuatan.
2. Melakukan penggalian dan pemedatan (apabila tanah lunak) pada bagian tanah dasar tempat *segmental blok* didirikan. Dibeberapa proyek selain dilakukan pemedatan, tanah dasar *segmental blok* juga bisa diberi tanah granular ataupun campuran pasir , kerikil dan semen sebagai *base* agar tanah tersebut menjadi padat dan kuat seperti (Gambar 5.9).

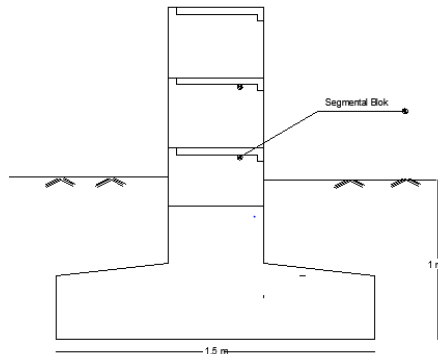


Gambar 5.10 Perbaikan tanah dasar Segmental Blok

Sumber : *Commercial Installation Manual for Allan Block Retaining Wall*

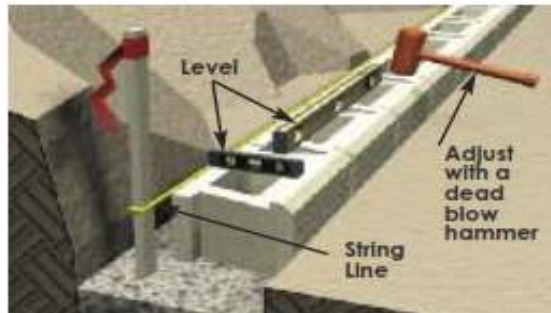
3. Apabila tanah dasar sudah padat, Pemasangan *Segmental blok* dimulai dari pembuatan dudukan seperti pondasi/sloof. Pada perencanaan ini, dudukan berupa pondasi/sloof sangat diperlukan

dikarena tinggi dinding yang cukup tinggi seperti terihat pada (Gambar 5.11).



Gambar 5.11 Ilustrasi Pondasi Dasar *Segmental*

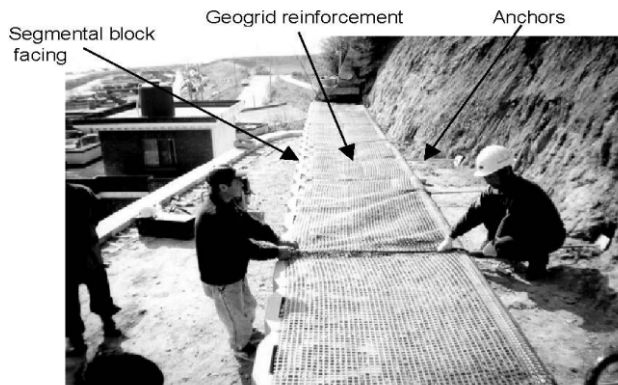
4. Apabila tahap diatas sudah selesai, pemasangan *segmental blok* dilanjutkan dengan memasang pengunci dan pengisi sambungan antar segmen sampai ketinggian yang direncanakan. Dalam setiap proses pemasangan, elevasi antar *segmental blok* harus disamakan. Oleh Sebab itu perlu dilakukan pengukuran tingkat kedataran *segmental blok* dengan *waterpass* seperti pada (Gambar 5.10). Pada perencanaan ini pemasangan *segmental blok* dilakukan secara manual tanpa bantuan alat berat seperti *crawel crane* dalam proses pengangkatan dikarenakan akses ke lokasi yang sempit.



Gambar 5.12 Kontrol Elevasi antar *Segmental blok*.

Sumber : *Commercial Installation Manual for Allan Block Retaining Wall*

- Apabila pemasangan *Segmental blok* sudah mencapai lokasi anchor tertancap. Pemasangan *Geogrid* mulai dilakukan dengan mengaitkan geogrid dengan pipa anchor dan segmental blok pada lokasi yang direncanakan seperti terihat pada (Gambar 5.13).



Gambar 5.13 Pemasangan *Segmental blok geogrid* pada *Ground Anchor*

Sumber : *Commercial Installation Manual for Allan Block Retaining Wall*

6. Lakukan tahapan pemasangan *segmental blok* dan *geogrid* sampai dengan ketinggian rencana 8 m.

5.4.2 Pemasangan Ground Anchor

Pada perencanaan ini *Ground anchor* akan dihubungkan dengan *geogrid*. Secara garis besar pemasangan *ground anchor* terbagi menjadi 2 Tahapan yaitu tahap pengeboran *ground anchor* dan Tahap pemasukan *grouting*. Berikut ini adalah urutan pelaksanaan pada setiap tahapan pelaksanaan.

a. Tahap Pengeboran

1. Bersihkan dan ratakan lokasi untuk tempat mesin.
2. Dirikan Tripot untuk menggeser dan mensetting mesin bor.
3. Pasang mata bor sesuai kemiringan yang ditentukan.
4. Pasang mata bor dan water swipel pada pipa bor.
5. Nyalakan mesin bor serta pompa dan mulai pengeboran setelah air dari pompa mengalir untuk menekan lumpur naik keluar dari lubang

b. Tahap Pemasukan *Grouting*

1. Setelah selesai melakukan pengeboran dan lubang telah bersih. Selanjutnya pemasukan besi strand yang telah difabrikasi/dirangkai sesuai spec dan ujungnya dipasang cone dan besi.
2. Strand yang akan dimasukkan terlebih dahulu dengan pipa supaya ketika besi dimasukkan kedalam lubang strand tepat pada posisi *center*.
3. Setelah dipasang pipa paralon sebelum dimasukkan kedalam lubang strand diikat bersama selang yang nantinya digunakan untuk memasukkan grouting menggunakan pompa piston.
4. Setelah strand bersama selang masuk ke dalam lubang kemudian masukkan *grouting* menggunakan pompa piston dan sedikit demi sedikit selang cabut.
5. Setelah pemasukan strand dan *grouting* selanjutnya adalah pemasangan *end plat/block* pada ujung *strand anchor*.

“Halaman ini sengaja dikosongkan”

BAB VI

KESIMPULAN

6.1 Kesimpulan

Berdasarkan keseluruhan hasil analisa yang telah dilakukan dalam penyusunan tugas akhir “ Perencanaan Perkuatan Tanah pada Kelongsoran Talud RSUD Balikpapan dengan Kombinasi *Segmental Blok Geogrid* dan *Ground Anchor*” ini dapat disimpulkan sebagai berikut

1. Talud yang terletak di arah barat laut gedung RSUD Balikpapan memiliki tanah asli yang cukup bagus yakni dominan lempung padat. Pada kasus kelongsoran pertama, stabilitas talud masih cukup rendah sehingga memungkinkan untuk terjadi longsor.
2. Pada kasus kedua, pada area yang sapma namun telah diperkuat dengan *bored pile* kelongsoran masih saja terjadi. Hal ini diakibatkan karena terjadi kesalahan asumsi perhitungan dimana kejadian sesungguhnya dilapangan tidak sama dengan asumsi yang ada. Asumsi yang lebih mendekati kenyataan dilapangan adalah asumsi *behaving like sand*. Dengan asumsi ini, perkuatan *eksisting* berupa bore pile beton bertulang dengan diameter 80 cm yang ada dilapangan tidak memenuhi syarat stabilitas.
3. Untuk hasil Perencanaan digunakan *Ground anchor* sebanyak 6 buah dengan tipe yang berbeda tergantung panjang *fixed length* dan *free lenght* pada setiap Potongan dengan jarak pemasangan 2 meter dan gaya anchor maksimum yang didapat sebesar 603 kN. Sedangkan gaya tarik maksimum yang diterima oleh *geogrid* sebesar 73,2 kN/m sehingga digunakan geogrid dengan kapasitas yang tarik yang lebih tinggi dari gaya yang terjadi yaitu geogrid dengan tipe Tenax dengan *tensile strength* 160 kN/m². *Segmental blok* yang digunakan memiliki dimensi panjang 585 mm, lebar 300 mm , tinggi 200 mm dan berat 40 kg/segmen. Berdasarkan analisa

bearing capacity didapat SF= 3,9. (Perhitungan *Ground Anchor* lebih detail dapat dilihat pada Lampiran 4).

4. Pada perencanaan perkuatan talud ini, ada 3 komponen utama yang digunakan yaitu *Segmental blok*, *Geogrid*, dan *Ground Anchor*. *Segmental blok* berfungsi sebagai *facing*. *Geogrid* pada perkuatan ini digunakan untuk memberikan kestabilan pada tanah timbunan itu sendiri. Sedangkan *Ground anchor* berfungsi untuk menahan seluruh gaya lateral dan momen yang diterima akibat timbunan dan lereng sehingga stabilitas lereng aman. Adapun metode pelaksanaan pada perkuatan ini dimulai dari pemasangan *Segmental Blok* pada timbunan yang diperkuat geogrid . Kemudian *Geogrid* dihubungkan ke *Ground Anchor* yang tertancap pada lereng seperti yang terlihat pada Gambar rencana (Lampiran 5).

6.2 Saran

Saran yang dapat diberikan berdasarkan hasil analisa dan perhitungan oleh penulis yaitu untuk perencanaan konstruksi penahan tanah lainnya agar memperhatikan asumsi-asumsi yang sesuai dengan kondisi lapangan agar tidak terjadi kegagalan yang sama.

DAFTAR PUSTAKA

Badan Standarisasi Nasional.2017. Persyaratan Perancangan Geoteknik (SNI 8460-2017), Jakarta.

Das, Braja M., (*translated by Mochtar N.E, and Mochtar I.B.*). 1985. Mekanika Tanah (Prinsip-prinsip rekayasa Geoteknik) Jilid I. Jakarta: Erlangga.

Das, Braja M., (*translated by Mochtar N.E, and Mochtar I.B.*). 1985. Mekanika Tanah (Prinsip-prinsip rekayasa Geoteknik) Jilid II. Jakarta: Erlangga.

Direktorat Jenderal Bina Marga. 2012. Buku Petunjuk Teknis Perencanaan dan Penanganan Kelongsoran, Jakarta.

Hardiyatmo, Harry Christady .2006. Mekanika Tanah I. Yogyakarta UGM Press

Moch. Sholeh, Yunaefi.2012 Penggunaan blok beton segmental sebagai dinding penahan dengan diperkuat geosintetik. Jurnal Teknik Sipil:Vol.10 no.2. hal 120-126.

Sosrodarsono, S and Nakazawa, K., (*Translate by Taulu L.*) 2000. Mekanika Tanah dan Teknik Pondasi.Jakarta: Pradya Paramita. Technical Note TenCate Mirafi,2010. *Segmental Block Retaining Walls With Combination Geogrid and Anchor Reinforcements*, Kuala Lumpur.

Terzaghi, K and Peck R.B. 1967. *Soil Mechanics in Engineering Practice*, 2nd edition. Jakarta : Erlangga.

Wahyudi, Herman, 1999, Daya Dukung Pondasi Dalam. FTSP ITS, Surabaya

US. Departement of Transportation.1999. Geotechnical Engineering Circular No.4 Ground Anchor and Anchored Systems, Washington DC

I. B. Mochtar, "Cara Baru Memandang Konsep Stabilitas Lereng (Slope Stability) berdasarkan Kenyataan di Lapangan,". Seminar Nasional Geoteknik Himpunan Ahli Teknik Tanah Indonesia (HATTI), 2011.

Lampiran 1

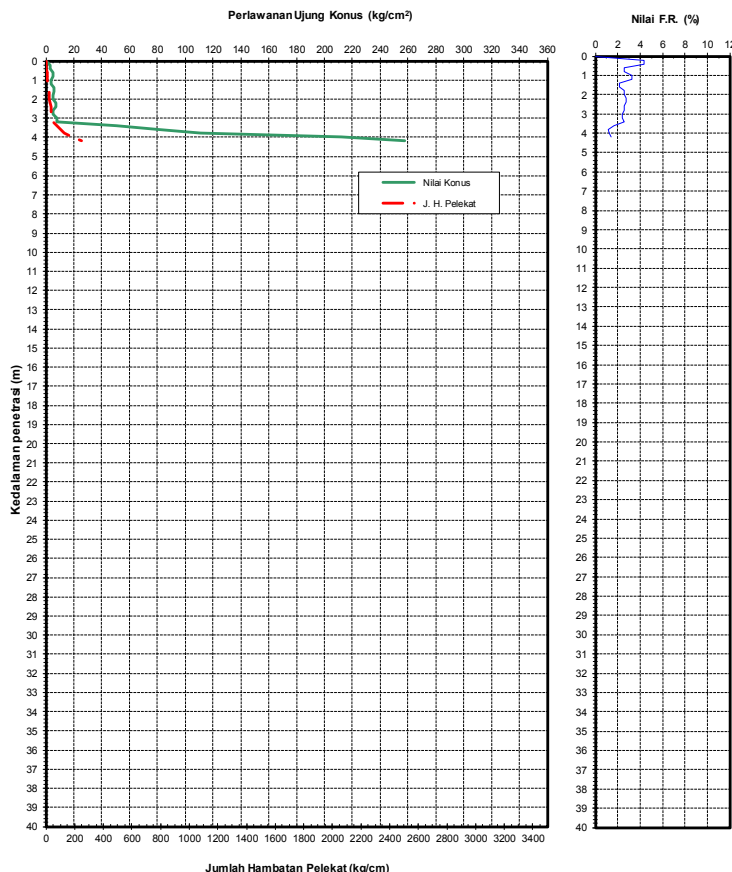
Hasil Analisa Data Tanah

Data Uji sondir

GRAFIK SONDIR.

Titik No. : S 01
Proyek : Pembangunan RSUD
Lokasi : Balikpapan
Cuaca : Cerah

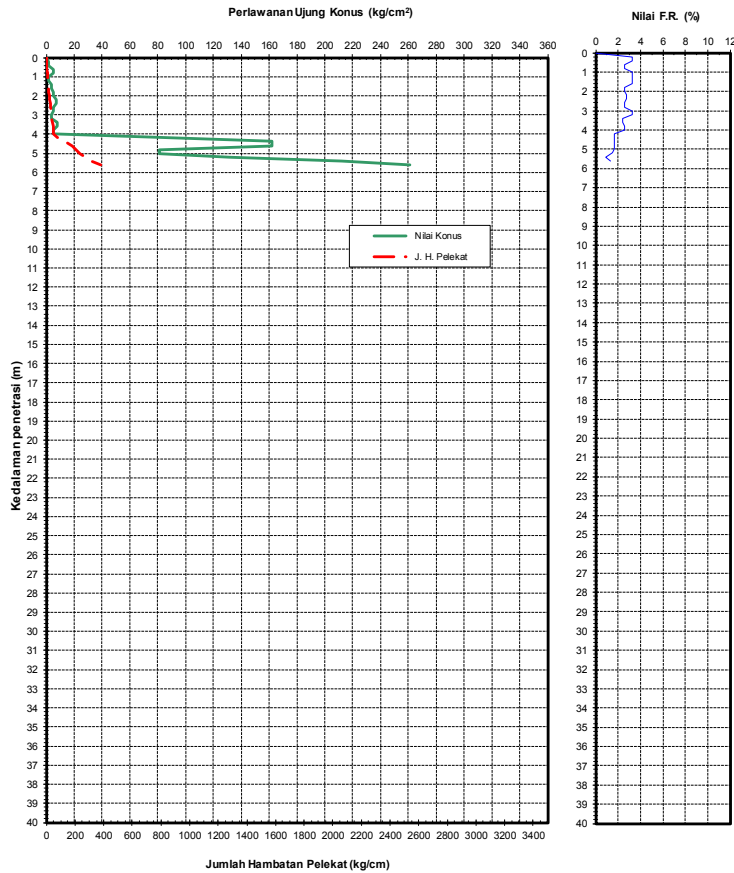
Tanggal : 25 - 02 - 2012
Diujicukuh oleh : PARIMIN, ST
Dihitung Oleh : PARIMIN, ST
M.a.t. : -



GRAFIK SONDIR

Titik No. : S 02
Proyek : Pembangunan RSUD
Lokasi : Balikpapan
Cuaca : Cerah

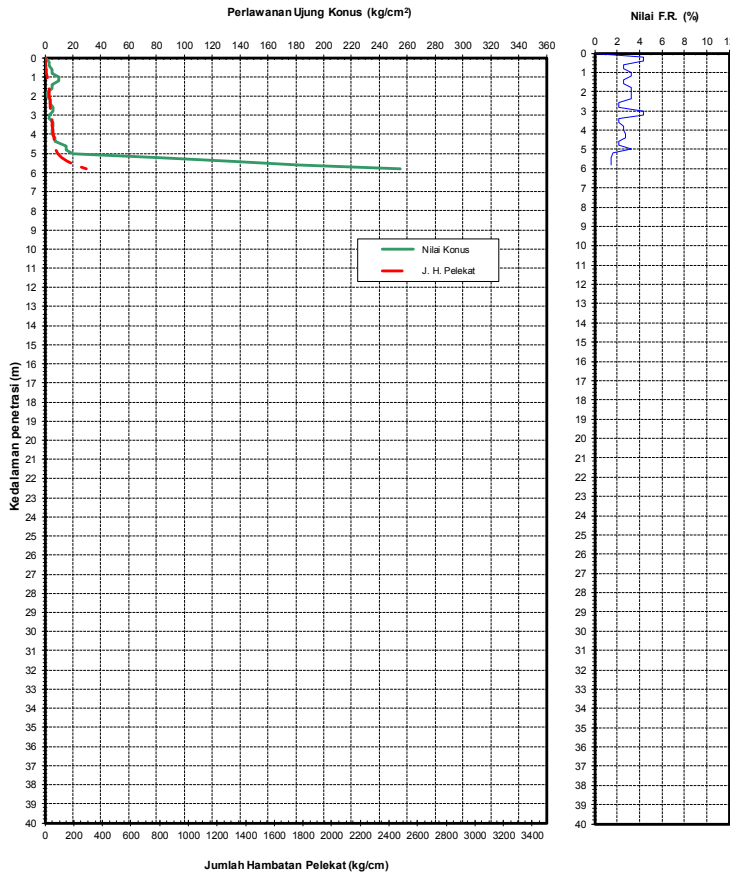
Tanggal : 25 - 02 - 2012
Diujicoba : PARIMIN, ST
Dihitung Oleh : PARIMIN, ST
M.a.t. : -



GRAFIK SONDIR

Titik No. : S 03
Proyek : Pembangunan RSUD
Lokasi : Balikpapan
Cuaca : Cerah

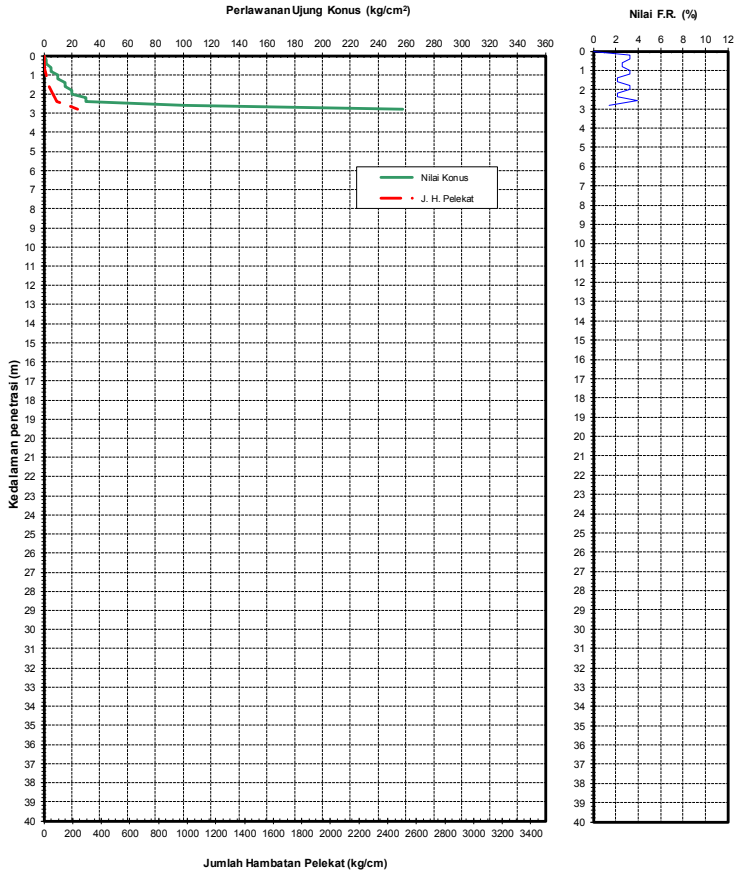
Tanggal : 25 - 02 - 2012
Diuji Oleh : PARIMIN, ST
Dihitung Oleh : PARIMIN, ST
M.a.t. : -



GRAFIK SONDIR

Titik No. : S 04
Proyek : Pembangunan RSUD
Lokasi : Balikpapan
Cuaca : Cerah

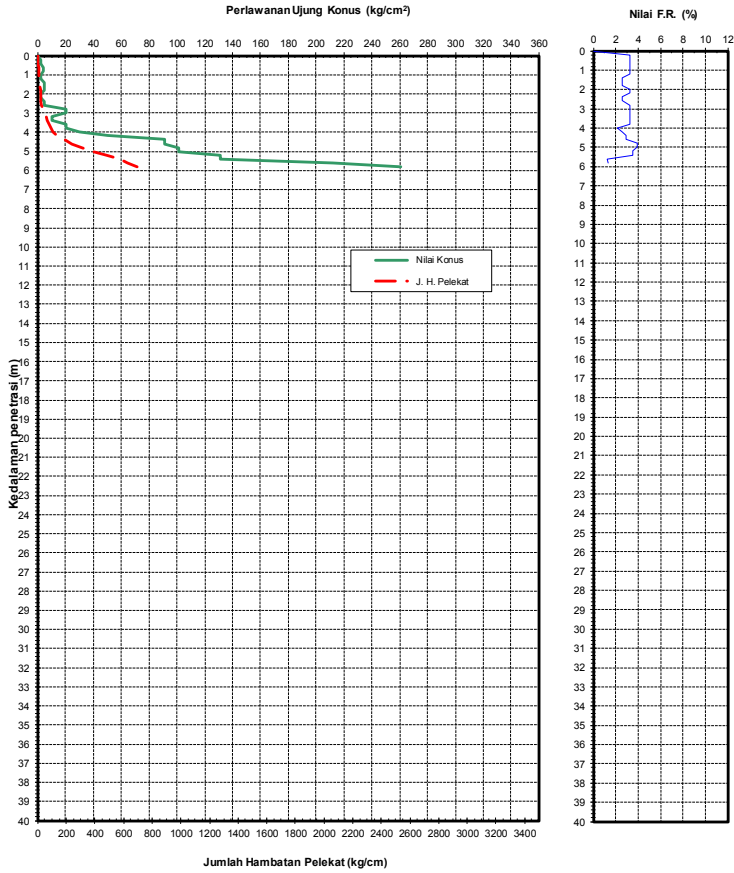
Tanggal : 25 - 02 - 2012
Diuji Oleh : PARIMIN, ST
Dihitung Oleh : PARIMIN, ST
M.a.t. : -



GRAFIK SONDIR

Titik No. : S 05
Proyek : Pembangunan RSUD
Lokasi : Balikpapan
Cuaca : Cerah

Tanggal : 25 - 02 - 2012
Diujicoba : PARIMIN, ST
Dihitung Oleh : PARIMIN, ST
M.a.t. : -



Data Laboratorium



KEMENTERIAN PENDIDIKAN NASIONAL POLITEKNIK NEGERI SAMARINDA LABORATORIUM TEKNIK SIPIL

Jalan Cipto Mangunkusuma □ 0541-260588 ext. 118 Samarinda

PENGUJIAN BOBOT ISI TANAH

Proyek : Pembangunan RSUD Tanggal uji :
Lokasi : Balikpapan Diujii : La Jayani, ST
Sampel : B. 1 Dihitung : Insan Kamil
Kedalaman : 2 m

No. Ring	Uraian	Satuan	Sampel		
			1	1	1
	gram	gram	38,9	38,9	38,9
Berat ring + tanah basah	gram	gram	151,97	151,41	151,85
Berat tanah basah	gram	gram	113,07	112,51	112,95
Volume ring = Volume Tanah basah	cm ³	cm ³	60,17	60,17	60,17
Bobot Isi tanah basah	gr/cm ³	gr/cm ³	1,88	1,87	1,88
Bobot Isi tanah basah rata-rata	gr/cm ³	gr/cm ³			1,88



KEMENTERIAN PENDIDIKAN NASIONAL
POLITEKNIK NEGERI SAMARINDA
LABORATORIUM TEKNIK SIPIL

Jalan Cipto Mangunkusuma ☎ 0541-260588 ext. 118 Samarinda

PENGUJIAN BOBOT ISI TANAH

Proyek	:	Pembangunan RSUD	Tanggal uji	:	
Lokasi	:	Balikpapan	Diuji	:	La Jayani, ST
Sampel	:	B. 2	Dihitung	:	Insan Kamil
Kedalaman	:	2 m			

Uraian	Satuan	Sampel 1		
No. Ring		1	1	1
Berat ring	gram	38,9	38,9	38,9
Berat ring + tanah basah	gram	147,21	147,96	147,42
Berat tanah basah	gram	108,31	109,06	108,52
Volume ring = Volume Tanah basah	cm ³	60,17	60,17	60,17
Bobot Isi tanah basah	gr/cm ³	1,80	1,81	1,80
Bobot Isi tanah basah rata-rata	gr/cm ³		1,81	



KEMENTERIAN PENDIDIKAN NASIONAL
POLITEKNIK NEGERI SAMARINDA
LABORATORIUM TEKNIK SIPIL

Jalan Cipto Mangunkusuma □ 0541-260588 ext. 118 Samarinda

PENGUJIAN BOBOT ISI TANAH

Proyek	:	Pembangunan RSUD	Tanggal uji	:	
Lokasi	:	Balikpapan	Diuji	:	La Jayani, ST
Sampel	:	B. 3	Dihitung	:	Insan Kamil
Kedalaman	:	2 m			

No. Ring	Uraian	Satuan	Sampel 1		
			1	1	1
Berat ring	gram	38,9	38,9	38,9	
Berat ring + tanah basah	gram	148,15	148,67	148,42	
Berat tanah basah	gram	109,25	109,77	109,52	
Volume ring = Volume Tanah basah	cm ³	60,17	60,17	60,17	
Bobot Isi tanah basah	gr/cm ³	1,82	1,82	1,82	
Bobot Isi tanah basah rata-rata	gr/cm ³				1,82



KEMENTERIAN PENDIDIKAN NASIONAL
POLITEKNIK NEGERI SAMARINDA
LABORATORIUM TEKNIK SIPIL

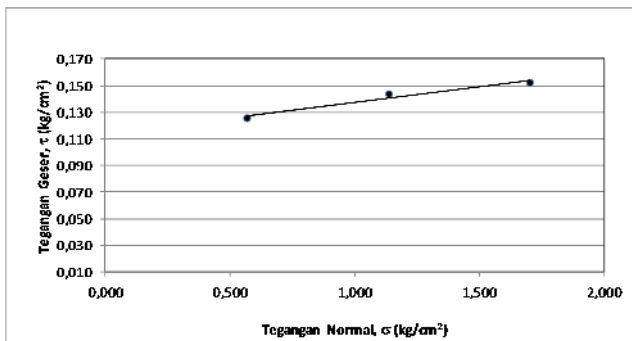
Jalan Cipto Mangunkusuma ☎ 0541-260588 ext. 118 Samarinda

PENGUJIAN GESEN LANGSUNG
(DIRECT SHEAR TEST)

Proyek	:	Pembangunan RSUD	Tanggal uji :
Lokasi	:	Balikpapan	Diujii : La Jayani, ST
Sampel	:	B. 2	Dihitung : Insan Kamil
Kedalaman	:	2 m	

Waktu (menit)	Displace- ment (mm)	Beban, $N_1 =$	18,00 kg	Beban, $N_2 =$	36,00 kg	Beban, $N_3 =$	54,00 kg
		Bacaan dial	Kekuatan Gesen, H_1 (kg)	Bacaan dial	Kekuatan Gesen, H_2 (kg)	Bacaan dial	Kekuatan Gesen, H_3 (kg)
0	0	0	0,000	0	0,000	0	0,000
1	125	3	1,707	3,5	1,992	4	2,276
2	250	4,5	2,561	5	2,845	5,5	3,130
3	375	5	2,845	5,5	3,130	6,5	3,699
4	500	5,5	3,130	6,5	3,699	7,5	4,268
5	625	6	3,414	7,5	4,268	8,5	4,837
6	750	7	3,983	8	4,552	8,5	4,837
7	875	6,5	3,699	7,5	4,268	8,5	4,837
8	1000						
9	1125						

3,933	4,120	4,627	
Sampel 1	Sampel 2	Sampel 3	
Tegangan normal, σ (kg/cm ²)	0,568	1,137	1,705
Tegangan geser, τ (kg/cm ²)	0,126	0,144	0,153



Dari grafik diatas diperoleh :

$$C = 0,061 \text{ kg/cm}^2$$

$$\phi = 1,78^\circ$$



**KEMENTERIAN PENDIDIKAN NASIONAL
POLITEKNIK NEGERI SAMARINDA
LABORATORIUM TEKNIK SIPIL**

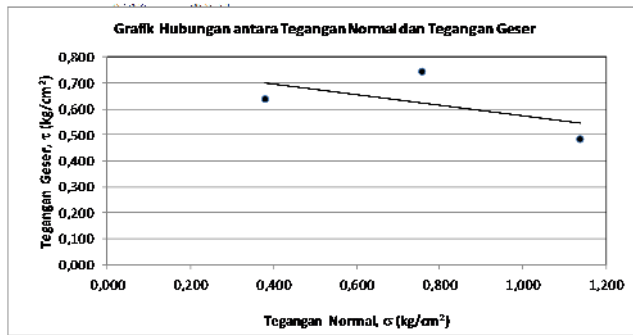
Jalan Cipto Mangunkusuma ☐ 0541-260588 ext. 118 Samarinda

**PENGUJIAN GESEN LANGSUNG
(DIRECT SHEAR TEST)**

Proyek	:	Pembangunan RSUD	Tanggal uji	:	
Lokasi	:	Balikpapan	Diujii	:	La Jayani ST
Sampel	:	B. 1	Dihitung	:	Insan Kamil
Kedalaman	:	2 m			

Waktu (menit)	Displace- ment (mm)	Beban, $N_1 = 12,00$ kg		Beban, $N_2 = 24,00$ kg		Beban, $N_3 = 36,00$ kg	
		Bacaan dial	Kekuatan Gesen, H_1 (kg)	Bacaan dial	Kekuatan Gesen, H_2 (kg)	Bacaan dial	Kekuatan Gesen, H_3 (kg)
0	0	0,0	0,000	0	0,000	0,0	0,000
1	125	8	4,552	20,5	11,665	9	5,121
2	250	23	13,087	36,5	20,769	15	8,956
3	375	32	18,208	39	22,191	17,5	9,958
4	500	34	19,346	5	2,845	21	11,949
5	625	34,5	19,631	40	22,760	25,5	14,510
6	750	35	19,915	40,5	23,045	26,5	15,079
7	875	36,5	20,200	41	23,329	27	16,363
8	1000	35,5	20,200	41,5	23,614	26	14,794
9	1125	35,5	20,200	41,5	23,894		

Tegangan normal, σ (kg/cm ²)	Sample 1 0,379	Sample 2 0,758	Sample 3 1,137
Tegangan geser, τ (kg/cm ²)	0,638	0,746	0,485



Dari grafik diatas diperoleh :

$$\begin{aligned} C &= 0,044 \text{ kg/cm}^2 \\ \phi &= 23,65^\circ \end{aligned}$$



KEMENTERIAN PENDIDIKAN NASIONAL
POLITEKNIK NEGERI SAMARINDA
LABORATORIUM TEKNIK SIPIL

Jalan Cipto Mangunkusuma ☐ 0541-260588 ext. 118 Samarinda

PENGUJIAN GESEN LANGSUNG
(DIRECT SHEAR TEST)

Proyek : Pembangunan RSUD

Tanggal uji :

Lokasi : Balikpapan

Diujii : La Jayani, ST

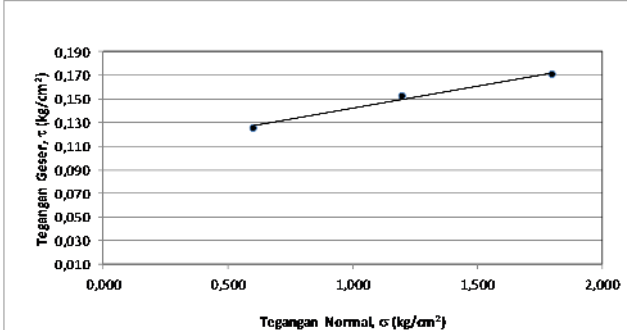
Sampel : B. 3

Dihitung : Insan Kamil

Kedalaman : 2 m

Waktu (menit)	Displace- ment (mm)	Beban, $N_1 =$	19,00 kg	Beban, $N_2 =$	38,00 kg	Beban, $N_3 =$	57,00 kg
		Bacaan dial	Kekuatan Gesen, H_1 (kg)	Bacaan dial	Kekuatan Gesen, H_2 (kg)	Bacaan dial	Kekuatan Gesen, H_3 (kg)
0	0	0	0,000	0	0,000	0	0,000
1	125	2,5	1,423	4	2,276	4,5	2,561
2	250	4	2,276	4,5	2,561	6	3,414
3	375	5	2,845	5	2,845	7,5	4,268
4	500	6	3,414	6,5	3,699	8,5	4,837
5	625	7	3,983	8	4,552	9,5	5,406
6	750	7	3,983	8,5	4,837	9	5,121
7	875	6	3,414	7	3,963	8,5	4,837
8	1000						
9	1125						

$\Delta \sigma$ Sampel 1 Sampel 2 Sampel 3
Tegangan normal, σ (kg/cm²) 0,600 1,200 1,800
Tegangan geser, τ (kg/cm²) 0,126 0,153 0,171



Dari grafik diatas diperoleh :

$$C = 0,061 \text{ kg/cm}^2$$

$$\phi = 1,78^\circ$$

ANALISA PENGUJIAN SONDIR

Titik No.	S01	S02	S03	S04	S05	Qcr	SPT	Qcr (kPa)	SPT	Klasifikasi
Kedalaman (m)	Hambatan Konus (Qc)									
0,00	0,00	0,00	0,00	0,00	0,00	0,00	0,00	0	0	
20,00	3,03	2,02	3,03	2,02	2,02	2,43	0,61	2	1	Sangat Lunak (very soft)
40,00	3,03	2,02	3,03	2,02	2,02	2,72	0,68	3	1	Sangat Lunak (very soft)
60,00	5,06	5,06	5,06	5,06	4,05	4,17	1,04	4	2	Sangat Lunak (very soft)
80,00	5,06	5,06	5,06	5,06	4,05	4,46	1,12	4	2	Sangat Lunak (very soft)
1,00	4,05	2,02	10,11	10,11	2,02	5,27	1,32	5	2	Sangat Lunak (very soft)
20,00	4,05	2,02	10,11	10,11	2,02	5,56	1,39	6	2	Sangat Lunak (very soft)
40,00	6,07	4,05	5,06	15,17	5,06	6,52	1,63	7	2	Sangat Lunak (very soft)
60,00	6,07	4,05	5,06	15,17	5,06	6,81	1,70	7	2	Sangat Lunak (very soft)
80,00	5,06	5,06	2,02	20,23	5,06	7,37	1,84	7	2	Sangat Lunak (very soft)
2,00	5,06	5,06	2,02	20,23	2,02	7,33	1,83	7	2	Sangat Lunak (very soft)
20,00	7,08	7,08	4,05	30,34	2,02	9,74	2,44	10	3	Sangat Lunak (very soft)
40,00	7,08	7,08	4,05	30,34	5,06	10,51	2,63	11	3	Lunak (soft)
60,00	5,06	5,06	6,07	101,13	5,06	18,27	4,57	18	5	Lunak (soft)
80,00	5,06	5,06	6,07	257,88	20,23	37,66	9,42	38	10	Menengah (medium)
3,00	8,09	4,05	3,03		20,23	10,65	2,66	11	3	Lunak (soft)
20,00	8,09	4,05	3,03		10,11	9,88	2,66	10	3	Sangat Lunak (very soft)
40,00	50,57	8,09	6,07		10,11	22,30	5,58	22	6	Menengah (medium)
60,00	80,90	8,09	6,07		20,23	30,51	7,63	31	8	Menengah (medium)
80,00	111,24	5,06	5,06		20,23	37,02	9,26	37	10	Menengah (medium)
4,00	212,37	5,06	5,06		30,34	60,93	15,98	61	16	Kaku (stiff)
20,00	257,88	80,90	7,08		50,57	90,50	24,13	90	25	Sangat Kaku (very stiff)
40,00		161,81	7,08		91,02	86,63	23,10	87	24	Sangat Kaku (very stiff)
60,00		161,81	15,17		91,02	89,33	23,81	89	24	Sangat Kaku (very stiff)
80,00		80,90	15,17		101,13	65,73	17,35	66	18	Kaku (stiff)
5,00		80,90	20,23		101,13	67,42	17,83	67	18	Kaku (stiff)
20,00		131,47	80,90		131,47	114,61	30,56	115	31	Sangat Kaku (very stiff)
40,00		212,37	131,47		131,47	158,44	42,25	158	43	Keras (hard)
60,00		260,92	182,03		212,37	218,44	58,25	218	59	Keras (hard)
80,00			254,85		260,92	257,88	68,77	258	69	Keras (hard)
6,00										

Rekapitulasi

Titik No. Kedalaman (m)	S01	S02	S03	S04	S05	Hasil Analisa				SPT	klasifikasi
	Qc	Qc	Qc	Qc	Qc	Qc	SPT	Qc	Fr		
	(Kg/Cm2)					kg/cm2		mPa	%		
0,00	0,00	0,00	0,00	0,00	0,00	0	0,00	0	0	0	
1,00	4,05	2,02	10,11	10,11	2,02	5	1,32	1	3	2	Sangat Lunak (very soft)
2,00	5,06	5,06	2,02	20,23	2,02	7	1,83	1	3	2	Sangat Lunak (very soft)
3,00	8,09	4,05	3,03		20,23	11	2,66	1	3	3	Lunak (soft)
4,00	212,37	5,06	5,06		30,34	61	15,98	6	2	16	Kaku (stiff)
5,00		80,90	20,23		101,13	67	17,83	7	3	18	Kaku (stiff)
6,00					258			26	1	40	Keras (hard)

Hasil Analisa Data Tanah

Data tanah asli

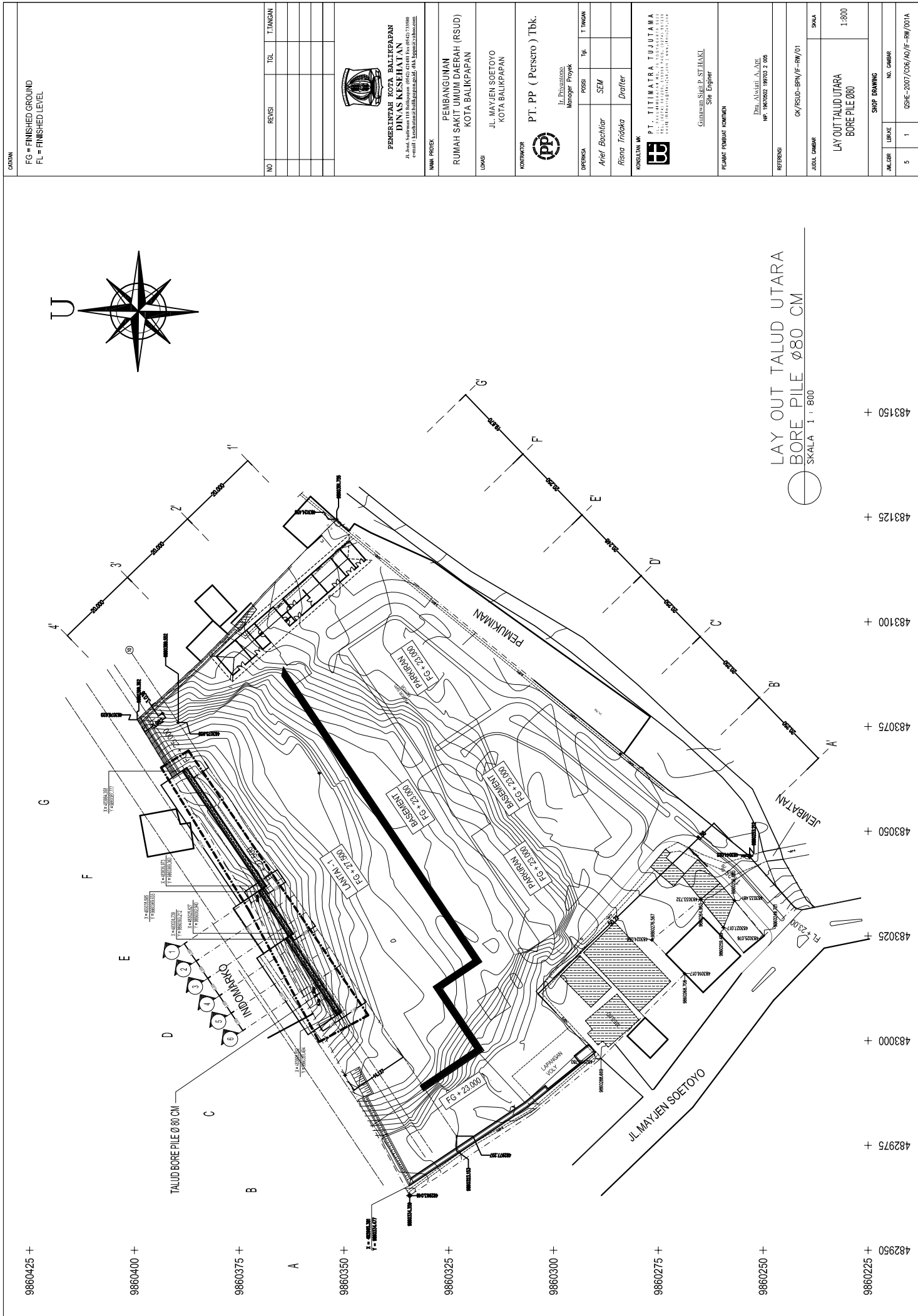
Kedalaman	Qc kg/cm ²	Fr %	N SPT	Berat isi			Strength	
				Moist	Sat	dry	sudut geser	c (kPa)
0-3 m	8	3	2	1,82	1,82	1,51	0	6,00
3-6 m	64	2	17	1,64	1,64	1,36	0	50,0
6-20 m	258	1	40	2	2,00	1,66	0	100

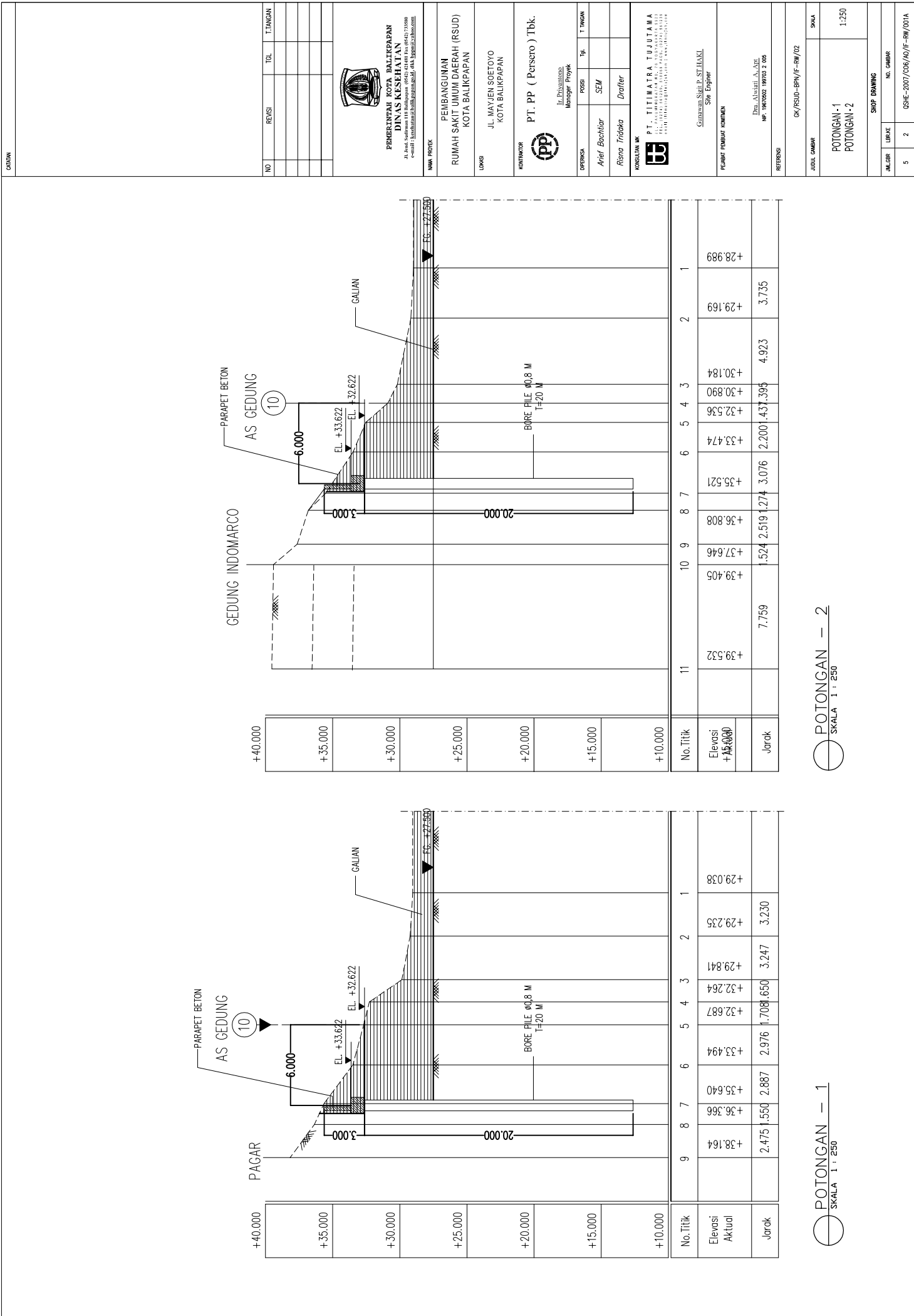
Behaving like sand

Kedalaman	Qc kg/cm ²	Fr %	N SPT	gama			Strength	
				moist	sat	dry	sudut geser	c (kPa0
0-3 m	8	3	2	1,82	1,82	1,51	24	0
3-6 m	64	2	17	1,64	1,64	1,36	31	0
6-20 m	258	1	40	2	2	1,66	35	100

Lampiran 2

**Layout dan Potongan Gambar
Eksisting**





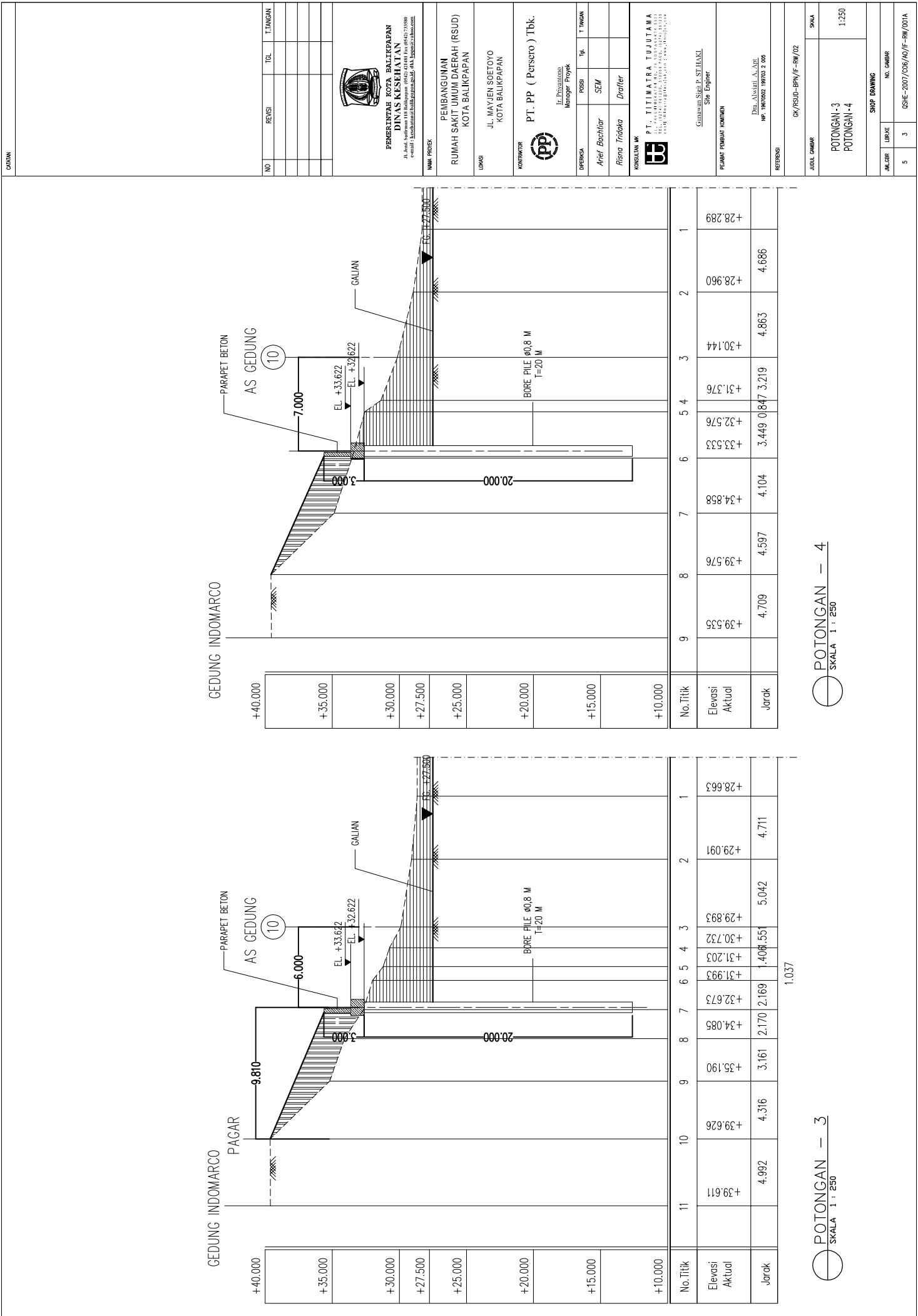
POTONGAN — 1

SKALA 1 : 250

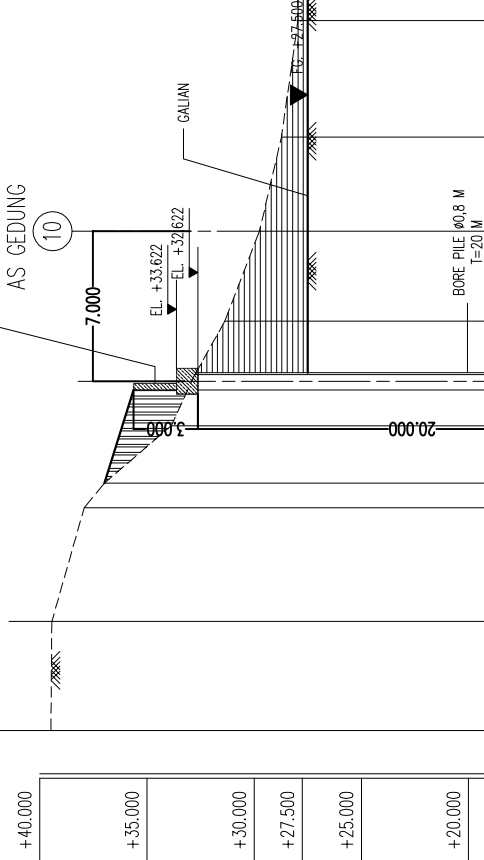
POTONGAN — 2

SKALA 1 : 250

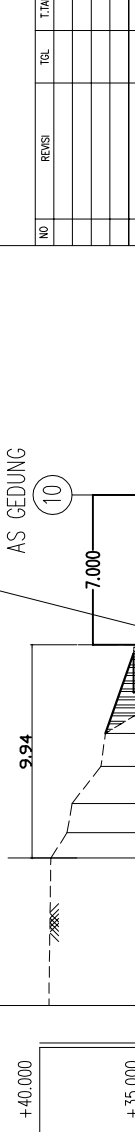
1:250



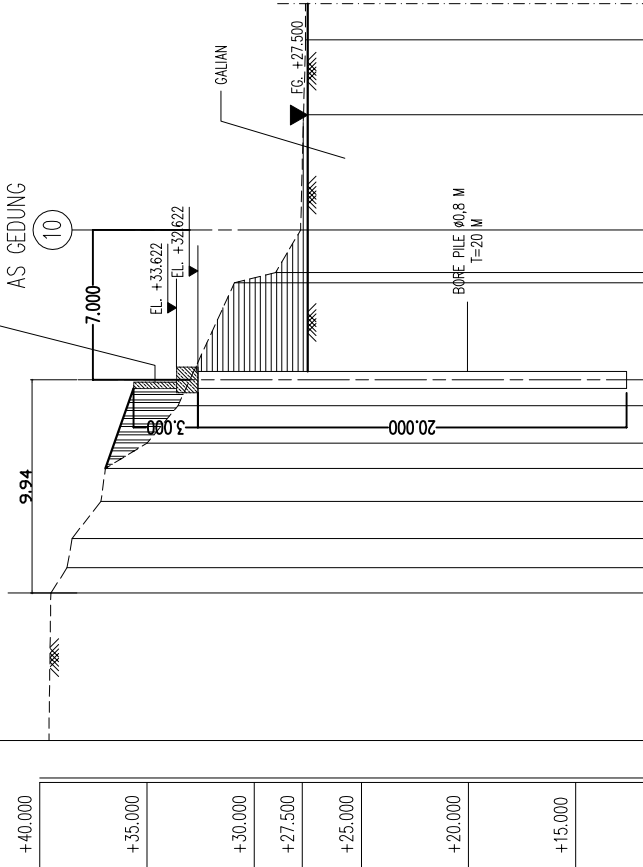
GEDUNG INDOMARCO PAGAR



GEDUNG INDOMARCO



GEDUNG INDOMARCO PAGAR



No. Titik	1	2	3	4	5	6	7	8	9	10	11	12	13
Elevasi Aktual	39.484	49.442	59.442	69.442	79.442	89.442	99.442	109.442	119.442	129.442	139.442	149.442	159.442
Jarak	5.085	5.300	1.157	2.670	2.384	2.495	4.196	4.394	5.431	6.879	1.370	1.545	1.741

POTONGAN — 5
SKALA 1 : 250

POTONGAN — 6
SKALA 1 : 250

PEMERINTAH KOTA BALIKPAPAN
DINAS KESEHATAN
Al. Bandar, Samarinda 77111, Indonesia. Tel. (0431) 731580
email : kesehatan@balikpapan.go.id, dinkes.balikpapan.com

PT. PP (Persero) Tbk.
Jl. Prayitno
Manager Proyek

DIREKTUR
Arief Bachtiar SEM
Rizno Tridaka Draiter

KONSELON UK
P.T. LITIMATRA TUJU TAMA
Gunaewi Site P. STTHAKU
Site Engineer

Dra. Alvinia A. AND
NP : 19760219803.2.005

REFRENDS
GK/FSID-BPR/IF-RW/02
JUDUL GAMBAR
POTONGAN - 5
POTONGAN - 6

SHOP DRAWING
NO. GAMBAR
5 4 QSHF-2007/C06/A0/IF-RW/001A

1:250
1:250

Lampiran 3

Spesifikasi Bahan Perkuatan

Brosur Segmental Blok

Name	Setback	Coverage	Weight	Approximate Dimensions
AB Stones <i>Best Single Block Choice</i>	12"	1 sq ft approx. 11 blk per m ²	75 lbs 34 kg	8 in H x 12 in D x 18 in L 200mm H x 300mm D x 460mm L
AB Rocks	6"	1 sq ft approx. 11 blk per m ²	75 lbs 34 kg	8 in H x 12 in D x 18 in L 200mm H x 300mm D x 460mm L
AB Vertical	3"	1 sq ft approx. 11 blk per m ²	75 lbs 34 kg	8 in H x 12 in D x 18 in L 200mm H x 300mm D x 460mm L
AB Classic	6"	1 sq ft approx. 11 blk per m ²	75 lbs 34 kg	8 in H x 12 in D x 18 in L 200mm H x 300mm D x 460mm L
AB Jumbo Jr	6"	0.3 sq ft approx. 22 blk per m ²	35 lbs 16 kg	8 in H x 9.5 in D x 9 in L 200mm H x 240mm D x 230mm L
AB Lite Stone	6"	0.3 sq ft approx. 22 blk per m ²	35 lbs 16 kg	4 in H x 12 in D x 18 in L 100mm H x 300mm D x 460mm L
AB Junior Lite	6"	0.25 sq ft approx. 44 blk per m ²	18 lbs 8 kg	4 in H x 12 in D x 9 in L 100mm H x 300mm D x 230mm
AB Dover	6"	1 sq ft approx. 11 blk per m ²	80 lbs 36 kg	8 in H x 10.5 in D x 18 in L 200mm H x 265mm D x 460mm L
AB Palermo	6"	0.3 sq ft approx. 22 blk per m ²	35 lbs 16 kg	8 in H x 9.5 in D x 9 in L 200mm H x 240mm D x 230mm L
AB Barcelona	6"	0.3 sq ft approx. 22 blk per m ²	40 lbs 18 kg	4 in H x 10.5 in D x 18 in L 100mm H x 265mm D x 460mm L
AB Bordeaux	6"	0.25 sq ft approx. 44 blk per m ²	20 lbs 9 kg	4 in H x 10.5 in D x 9 in L 100mm H x 265mm D x 230mm L
AB Aztec Classic	6"	1 sq ft approx. 12 blk per m ²	75 lbs 34 kg	8 in H x 10.5 in D x 18 in L 200mm H x 265mm D x 460mm L
AB Aztec Junior	8"	0.5 sq ft approx. 22 blk per m ²	35 lbs 16 kg	8 in H x 9.5 in D x 9 in L 200mm H x 240mm D x 230mm L
AB Aztec Lite Stone	6"	0.3 sq ft approx. 22 blk per m ²	35 lbs 16 kg	4 in H x 10.5 in D x 18 in L 100mm H x 265mm D x 460mm L
AB Aztec Junior Lite	6"	0.25 sq ft approx. 44 blk per m ²	18 lbs 8 kg	4 in H x 10.5 in D x 9 in L 100mm H x 265mm D x 230mm L
812 facing unit with LAU	6"	0.7 sq ft approx. 16 blk per m ²	60 lbs 30 kg	8 in H x 13 in D x 12 in L 200mm H x 330mm D x 300mm L
812 facing unit with LAU (LAU - short anchoring unit)	6"	0.7 sq ft approx. 16 blk per m ²	90 lbs 40 kg	8 in H x 23 in D x 12 in L 200mm H x 585mm D x 300mm L
824 facing unit with LAU	6"	1.3 sq ft approx. 8 blk per m ²	125 lbs 55 kg	8 in H x 13 in D x 24 in L 200mm H x 330mm D x 600mm L
824 facing unit with LAU	6"	1.3 sq ft approx. 8 blk per m ²	185 lbs 85 kg	8 in H x 23 in D x 24 in L 200mm H x 585mm D x 600mm L
818 facing unit with LAU	6"	1.3 sq ft approx. 8 blk per m ²	93 lbs 45 kg	8 in H x 13 in D x 18 in L 200mm H x 330mm D x 460mm L
818 facing unit with LAU	6"	1.3 sq ft approx. 8 blk per m ²	140 lbs 65 kg	8 in H x 23 in D x 18 in L 200mm H x 585mm D x 460mm L
AB FIELDSTONE COLLECTION				
AB AZTEC [®] COLLECTION				
AB EUROPA COLLECTION				
AB STONE COLLECTION				

Brosur Geogrid

PRODUCT DATA SHEET

Geosynthetics Limited Tel: 01455 617 139 Fax: 01455 617 140 Email: sales@geosyn.co.uk

Tenax Uni-axial Grids

Tenax TT SAMP

Type:045 - 060 - 090 - 120 - 160
Mono-oriented geogrids



Tenax **TT SAMP** are mono-oriented geogrids especially designed for soil reinforcement. TENAX **TT SAMP** geogrids are manufactured with a unique extrusion technology using high quality polymers. TENAX **TT SAMP** geogrids have high tensile modulus, great interlock capacity and junction strength, as well as superior long term design strength and durability.

Technical Characteristics	Test Method	Unit	TT 045 SAMP	TT 060 SAMP	TT 090 SAMP	TT 120 SAMP	TT 160 SAMP	Notes
Strength at 2% Strain	ISO 10319	kN/m	11.0	17.0	26.0	36.0	45.0	a, c
Strength at 5% Strain	ISO 10319	kN/m	25.0	32.0	50.0	72.0	90.0	a, c
Peak Tensile Strength	ISO 10319	kN/m	45.0	60.0	90.0	120.0	160.0	a, c
Yield Point Elongation	ISO 10319	%	11.5	13.0	13.0	13.0	13.0	b, c
Junction Strength	GRI-GG2	kN/m	36.0	50.0	80.0	110.0	130.0	b
Long Term Design Strength	ISO 13431	kN/m	21.2	28.3	42.4	56.5	75.4	a, e

Applications:

- construction of steep slopes of road and railway embankments
- repair of slope failures
- construction of retaining walls
- widening the embankment crests
- systems preventing rock slides
- landfill embankments
- elements of retaining walls



Brosur Ground Anchor

Tendons specifications

Steel tendon	Diam. (mm) Nom. Ext.	Min. cross-section mm ²	Min. weight kg/m	Ultimate strength N/mm ²	Ultimate load kN	Yield strength N/mm ²	Yield load kN	Average Young modulus N/mm ²
Prestressing stand	p 8-9	T12.5 12.5	93	0.73	173		152	
		T12.9 12.9	100	0.78	186		164	
		T15.3 15.3	140	1.10	260	1,050	229	195,000
		T15.7 15.7	150	1.18	279		246	
Freyssinet	p 10-11	26.5 28.8	552	4.56	568		401	
		32 34.5	804	6.66	828		672	
		36 38.6	1,018	8.45	1,048	835	850	170,000
		40 43.4	1,257	10.41	1,295		1,049	
		50 53.2	1,964	16.02	2,022		1,640	
		22 23.8	375	2.94	300		251	
Freyssinet 670-E		25 27.3	491	3.85	393		329	
		28 30.6	610	4.83	493		413	
	p 12-13	30 33.0	707	5.55	800	506	474	210,000
		35 38.3	982	7.55		770	645	
		43 46.8	1,452	11.40		1,162	973	
		57.5 61.5	2,597	20.38		2,078	1,740	
Freyssinet 500 / Freyssinet 500E		63.5 67.8	3,167	24.86		2,534	2,122	
	p 12-13	20 22.1	314	2.47		173		157
		25 27.6	491	3.85		270		246
		28 30.9	610	4.83	550	339		308
		32 35.4	804	6.31		442	402	210,000
		40 43.9	1,257	9.87		691	629	
Freyssinet SD		50 54.3	1,963	15.40		1,078	982	
		63.5 67.9	3,167	24.86	700	2,217	530	1,758
	p 14	R25N 25	250	2.00		200		150
		R32N 32	350	2.70		280		230
		R32S 32	430	3.40		300		280
		R38N 38	590	4.70		500		400
		R51L 51	740	5.90	600 to 850	550	500 to 680	450
		R51N 51	940	7.40		800		630
		T76L 76	1,050	12.90		1,200		1,000
		T76N 76	2,080	16.30		1,600		1,200
		T76S 76	2,400	19.30		1,900		1,500

Lampiran 4

Tabel Perhitungan

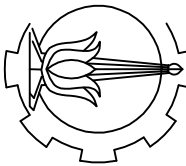
Perhitungan Momen Ground Anchor

No.	Perkuatan Ground Anchor	Jumlah Anchor (n)	Anchor Ke-	Jarak Pemasangan	Momen Resisten (Mr)	Jari-jari	SF kritis	Momen Dorong (Md)	SF rencana	Momen Resisten Rencana (Mr ren)	ΔMR	Momen yang dipikul Ground Anchor
						R (m)						
1	Potongan 1	6	1	2	4545,0519	11,11	0,631	7202,93487	1,5	10804,4023	6259,350398	12518,7008
			2	2	4545,0519	11,11	0,631	7202,93487	1,5	10804,4023	6259,350398	12518,7008
			3	2	4545,0519	11,11	0,631	7202,93487	1,5	10804,4023	6259,350398	12518,7008
			4	2	4545,0519	11,11	0,631	7202,93487	1,5	10804,4023	6259,350398	12518,7008
			5	2	4545,0519	11,11	0,631	7202,93487	1,5	10804,4023	6259,350398	12518,7008
			6	2	4545,0519	11,11	0,631	7202,93487	1,5	10804,4023	6259,350398	12518,7008
2	Potongan 2	6	1	2	9945,668	15,5	0,646	15395,7709	1,5	23093,65635	13147,98835	26295,97669
			2	2	9945,668	15,5	0,646	15395,7709	1,5	23093,65635	13147,98835	26295,97669
			3	2	9945,668	15,5	0,646	15395,7709	1,5	23093,65635	13147,98835	26295,97669
			4	2	9945,668	15,5	0,646	15395,7709	1,5	23093,65635	13147,98835	26295,97669
			5	2	9945,668	15,5	0,646	15395,7709	1,5	23093,65635	13147,98835	26295,97669
			6	2	9945,668	15,5	0,646	15395,7709	1,5	23093,65635	13147,98835	26295,97669
3	Potongan 3	6	1	2	4307,7108	12,58	0,498	8650,02169	1,5	12975,03253	8667,32173	17334,64346
			2	2	4307,7108	12,58	0,498	8650,02169	1,5	12975,03253	8667,32173	17334,64346
			3	2	4307,7108	12,58	0,498	8650,02169	1,5	12975,03253	8667,32173	17334,64346
			4	2	4307,7108	12,58	0,498	8650,02169	1,5	12975,03253	8667,32173	17334,64346
			5	2	4307,7108	12,58	0,498	8650,02169	1,5	12975,03253	8667,32173	17334,64346
			6	2	4307,7108	12,58	0,498	8650,02169	1,5	12975,03253	8667,32173	17334,64346
4	Potongan 4	6	1	2	4995,9168	12,58	0,532	9390,82105	1,5	14086,23158	9090,314779	18180,62956
			2	2	4995,9168	12,58	0,532	9390,82105	1,5	14086,23158	9090,314779	18180,62956
			3	2	4995,9168	12,58	0,532	9390,82105	1,5	14086,23158	9090,314779	18180,62956
			4	2	4995,9168	12,58	0,532	9390,82105	1,5	14086,23158	9090,314779	18180,62956
			5	2	4995,9168	12,58	0,532	9390,82105	1,5	14086,23158	9090,314779	18180,62956
			6	2	4995,9168	12,58	0,532	9390,82105	1,5	14086,23158	9090,314779	18180,62956
5	Potongan 5	6	1	2	8943,1032	15,46	0,621	14401,1324	1,5	21601,69855	12658,59535	25317,1907
			2	2	8943,1032	15,46	0,621	14401,1324	1,5	21601,69855	12658,59535	25317,1907
			3	2	8943,1032	15,46	0,621	14401,1324	1,5	21601,69855	12658,59535	25317,1907
			4	2	8943,1032	15,46	0,621	14401,1324	1,5	21601,69855	12658,59535	25317,1907
			5	2	8943,1032	15,46	0,621	14401,1324	1,5	21601,69855	12658,59535	25317,1907
			6	2	8943,1032	15,46	0,621	14401,1324	1,5	21601,69855	12658,59535	25317,1907
6	Potongan 6	6	1	2	7045,9964	15,48	0,553	12741,404	1,5	19112,10597	12066,10957	24132,21913
			2	2	7045,9964	15,48	0,553	12741,404	1,5	19112,10597	12066,10957	24132,21913
			3	2	7045,9964	15,48	0,553	12741,404	1,5	19112,10597	12066,10957	24132,21913
			4	2	7045,9964	15,48	0,553	12741,404	1,5	19112,10597	12066,10957	24132,21913
			5	2	7045,9964	15,48	0,553	12741,404	1,5	19112,10597	12066,10957	24132,21913
			6	2	7045,9964	15,48	0,553	12741,404	1,5	19112,10597	12066,10957	24132,21913

Perhitungan Panjang Lekatan (*Grouting*)

No.	Perkuatan Ground Anchor	Momen yang dipikul Ground Anchor	Ø	Tegangan Anchor (N)	N per anchor	Sudut Anchor tegak lurus bidang longsor	Tegangan anchor tegak lurus bidang longsor (P)	Diameter Grouting	Panjang Grouting (L)	Lpakai
		kNm		kN	kN	kN	kN	m	m	m
1	Potongan 1	12518,7008	35	1609,231106	268,2051843	13	275,26008	0,3	5,8	7
		12518,7008	35	1609,231106	268,2051843	18	282,00762	0,3	6,0	
		12518,7008	35	1609,231106	268,2051843	23	291,36749	0,3	6,2	
		12518,7008	35	1609,231106	268,2051843	28	303,76116	0,3	6,4	
		12518,7008	35	1609,231106	268,2051843	33	319,79802	0,3	6,8	
		12518,7008	35	1609,231106	268,2051843	38	340,35726	0,3	7,2	
2	Potongan 2	26295,97669	35	2422,873981	403,8123301	27	453,20917	0,3	9,6	13
		26295,97669	35	2422,873981	403,8123301	31	471,10095	0,3	10,0	
		26295,97669	35	2422,873981	403,8123301	35	492,96383	0,3	10,5	
		26295,97669	35	2422,873981	403,8123301	39	519,60938	0,3	11,0	
		26295,97669	35	2422,873981	403,8123301	43	552,14369	0,3	11,7	
		26295,97669	35	2422,873981	403,8123301	48	603,48806	0,3	12,8	
3	Potongan 3	17334,64346	35	1967,920231	327,9867052	19	346,88552	0,3	5,5	7
		17334,64346	35	1967,920231	327,9867052	24	359,02615	0,3	5,7	
		17334,64346	35	1967,920231	327,9867052	29	375,00493	0,3	6,0	
		17334,64346	35	1967,920231	327,9867052	34	395,62345	0,3	6,3	
		17334,64346	35	1967,920231	327,9867052	39	422,04003	0,3	6,7	
		17334,64346	35	1967,920231	327,9867052	44	455,95518	0,3	7,3	
4	Potongan 4	18180,62956	35	2063,961039	343,9935064	18	361,69618	0,3	5,76	7
		18180,62956	35	2063,961039	343,9935064	23	373,70092	0,3	5,95	
		18180,62956	35	2063,961039	343,9935064	28	389,59674	0,3	6,20	
		18180,62956	35	2063,961039	343,9935064	33	410,16523	0,3	6,53	
		18180,62956	35	2063,961039	343,9935064	38	436,53403	0,3	6,95	
		18180,62956	35	2063,961039	343,9935064	42	462,88892	0,3	7,37	
5	Potongan 5	25317,1907	35	2338,725449	389,7875748	27	437,46882	0,3	6,96	9
		25317,1907	35	2338,725449	389,7875748	31	454,73920	0,3	7,24	
		25317,1907	35	2338,725449	389,7875748	35	475,84277	0,3	7,57	
		25317,1907	35	2338,725449	389,7875748	39	501,56289	0,3	7,98	
		25317,1907	35	2338,725449	389,7875748	43	532,96725	0,3	8,48	
		25317,1907	35	2338,725449	389,7875748	48	582,52839	0,3	9,27	
6	Potongan 6	24132,21913	35	2226,381179	371,0635299	27	416,45434	0,3	6,6	9
		24132,21913	35	2226,381179	371,0635299	31	432,89511	0,3	6,9	
		24132,21913	35	2226,381179	371,0635299	35	452,98493	0,3	7,2	
		24132,21913	35	2226,381179	371,0635299	39	477,46955	0,3	7,6	
		24132,21913	35	2226,381179	371,0635299	43	507,36535	0,3	8,1	
		24132,21913	35	2226,381179	371,0635299	48	554,54574	0,3	8,8	

Lampiran 5
Gambar Rencana



JUDUL TUGAS AKHIR

PERENCANAAN PERKUATAN TANAH PADA
KELONGSORAN TALUD RSUD BALIKPAPAN
DENGAN KOMBINASI SEGMENTAL BLOK
GEOGRID DAN GROUND ANCHOR

GAMBAR

1:20

SKALA

DOSEN PEMBIMBING

Putu Tantri Kumala S.,ST,MT

MAHASISWA

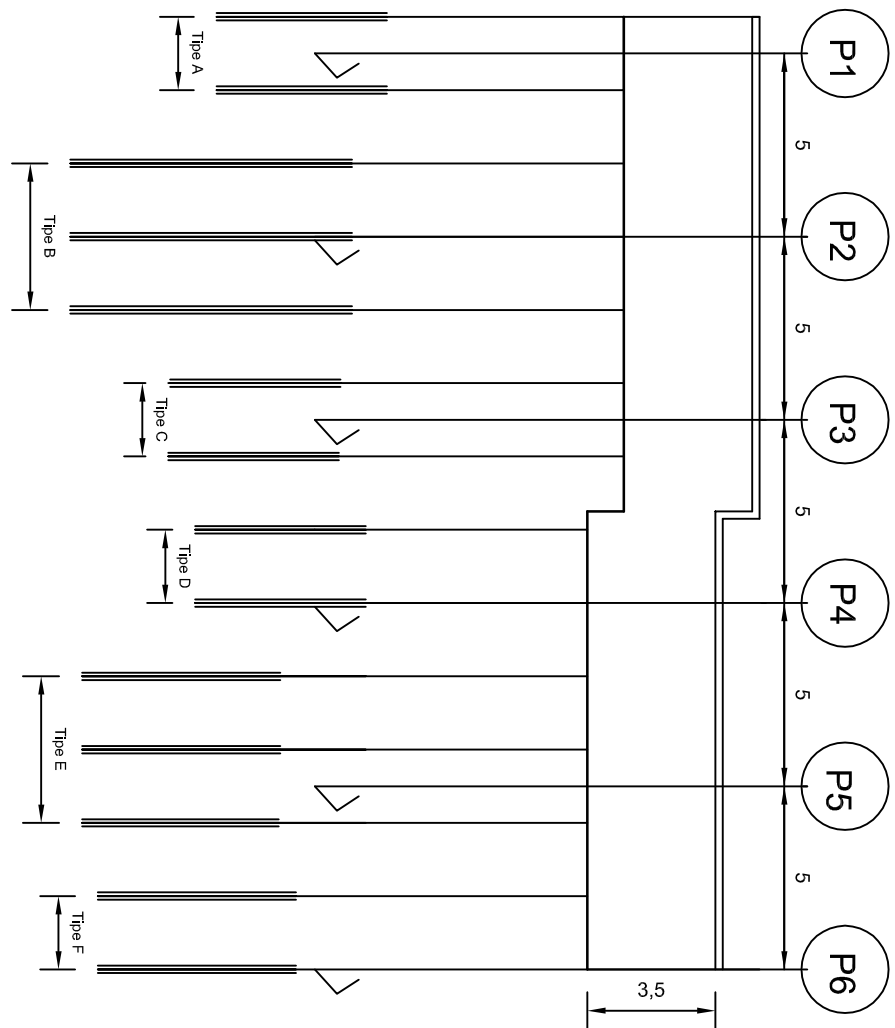
Slamet Rohadi Budi Prasetyo
NRP.03111745000029

JUMLAH

1/15
Ir. Suwarno, M.Eng

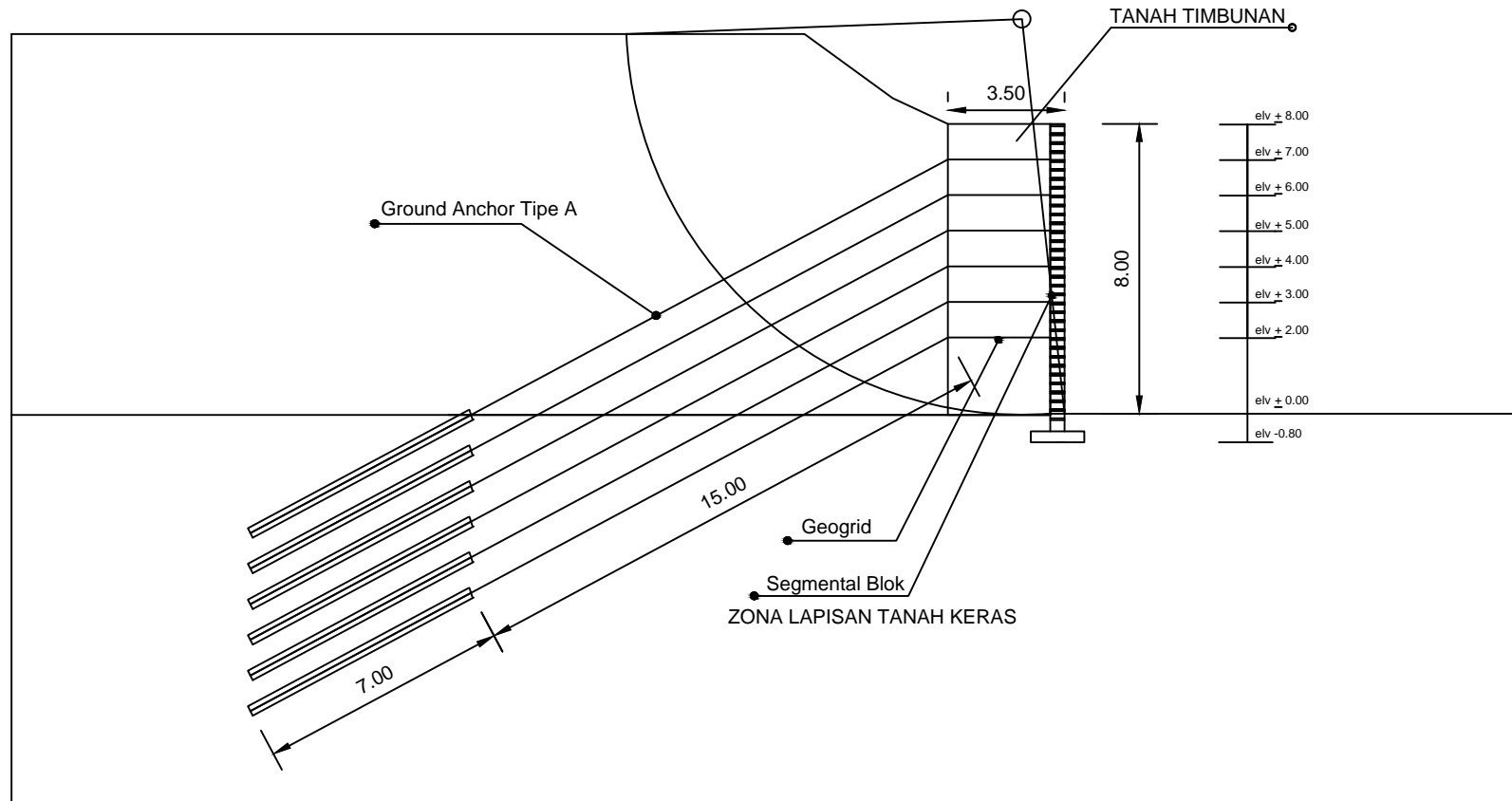
DENAH PERKUATAN TANAH

SKALA 1:20



KETERANGAN :

- SEGMENTAL BLOK 585 X 300 X 200

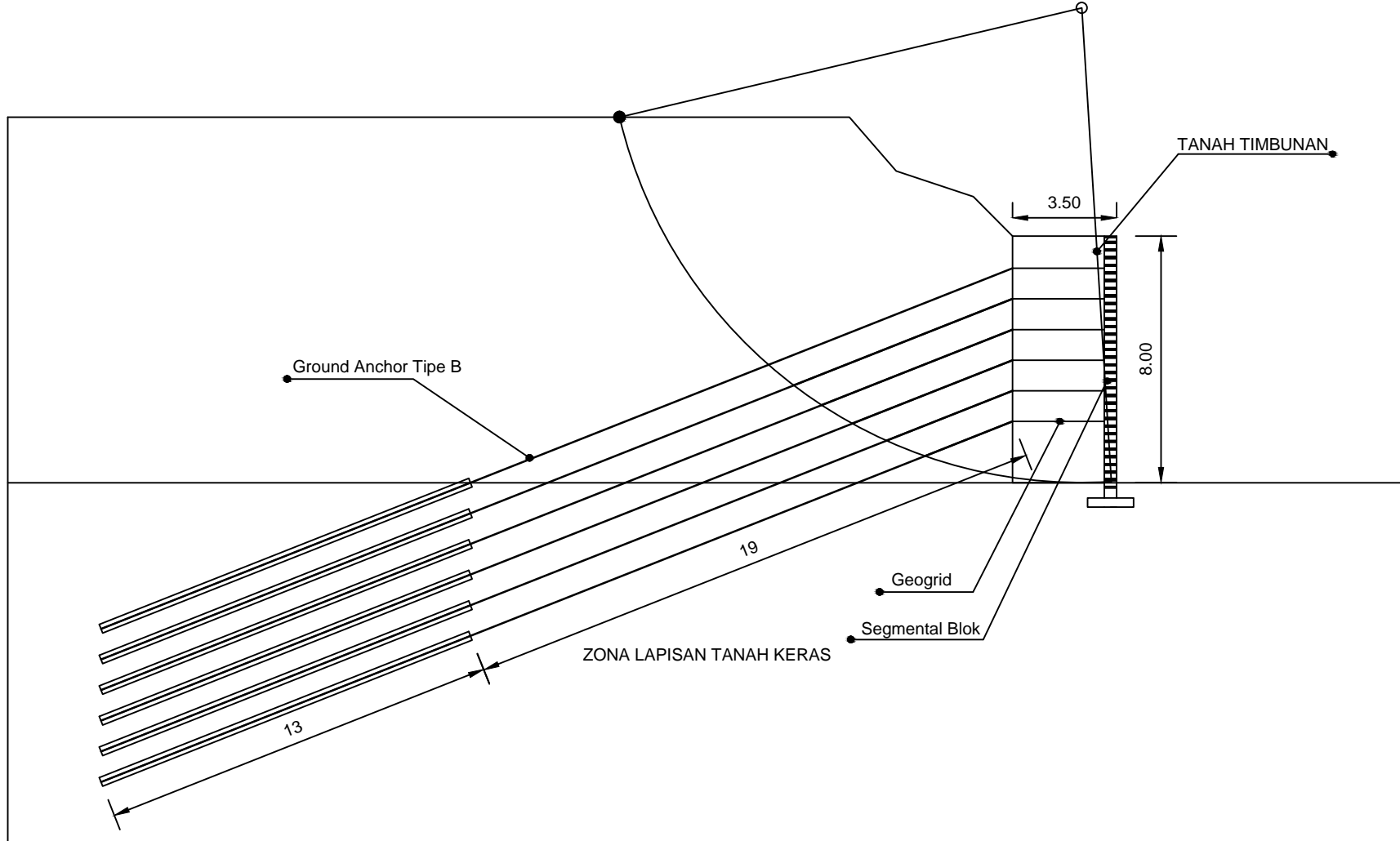


 **POTONGAN 1**
SKALA 1:200

KETERANGAN :

- DIAMETER GROUTING 0,3 M
- PANJANG FIXED LENGTH 7 M
- PANJANG FREE LENGTH 15 M
- SEGMENTAL BLOK 585 X 300 X 200
- GEOGRID TENSILE STRENGHT 160 KN/M

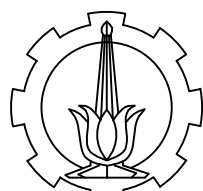
	JUDUL TUGAS AKHIR	GAMBAR	SKALA	DOSEN PEMBIMBING	MAHASISWA
	PERENCANAAN PERKUATAN TANAH PADA KELONGSORAN TALUD RSUD BALIKPAPAN DENGAN KOMBINASI SEGMENTAL BLOK GEOGRID DAN GROUND ANCHOR	Potongan 1	1:200	Putu Tantri Kumala S.,ST.MT	Slamet Rohadi Budi Prasetyo NRP.03111745000029
			JUMLAH		
			2/15	Ir. Suwarno, M.Eng	

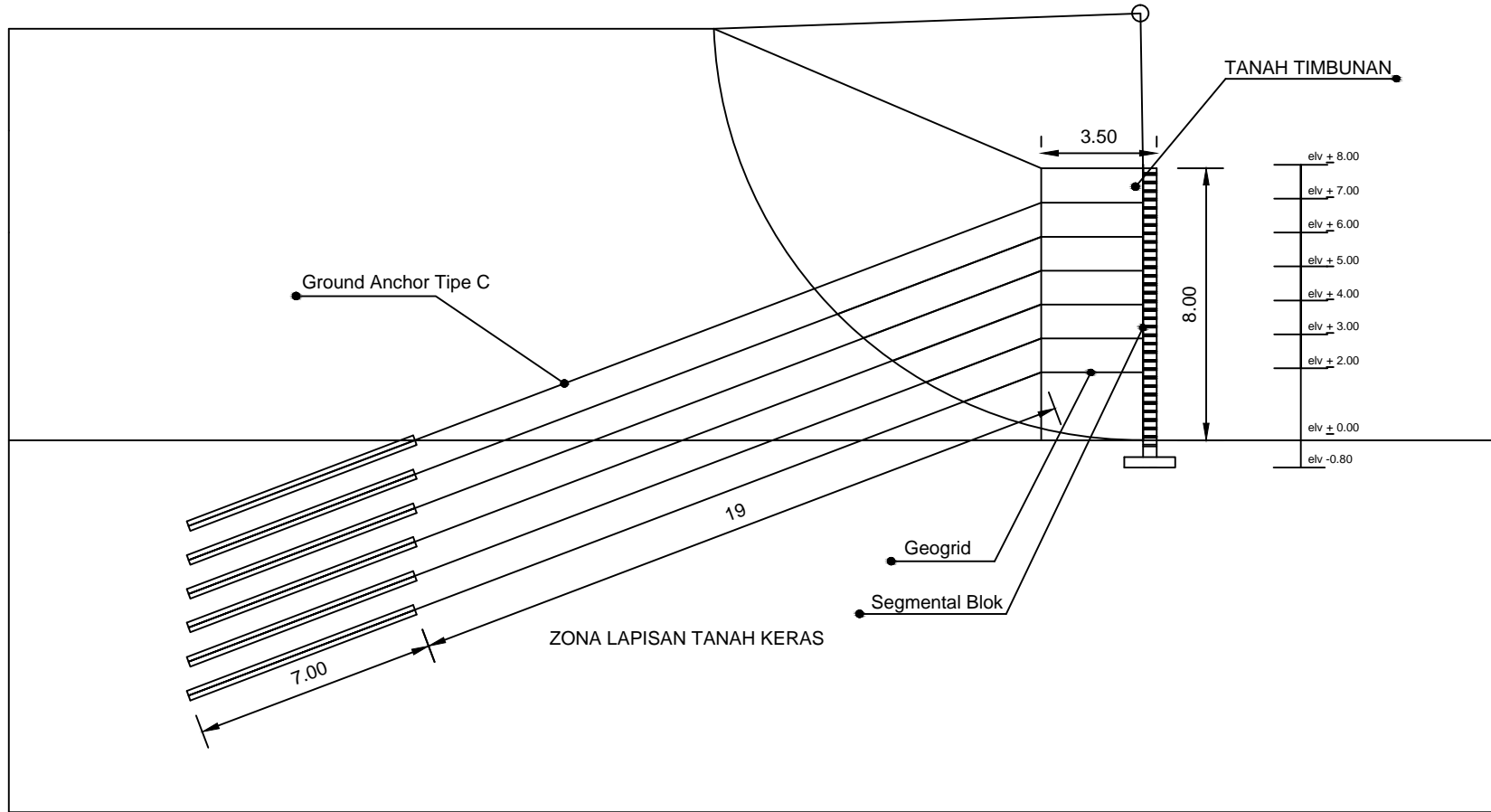


 **POTONGAN 2**
SKALA 1:200

KETERANGAN :

- DIAMETER GROUTING 0,3 M
- PANJANG FIXED LENGTH 9 M
- PANJANG FREE LENGTH 19 M
- SEGMENTAL BLOK 585 X 300 X 200
- GEOGRID TENSILE STRENGHT 160 KN/M

	JUDUL TUGAS AKHIR	GAMBAR	SKALA	DOSEN PEMBIMBING	MAHASISWA
	PERENCANAAN PERKUATAN TANAH PADA KELONGSORAN TALUD RSUD BALIKPAPAN DENGAN KOMBINASI SEGMENTAL BLOK GEOGRID DAN GROUND ANCHOR	POTONGAN 2	JUMLAH	Putu Tantri Kumala S.,ST.MT	Slamet Rohadi Budi Prasetyo NRP.03111745000029
			3/15	Ir. Suwarno, M.Eng	

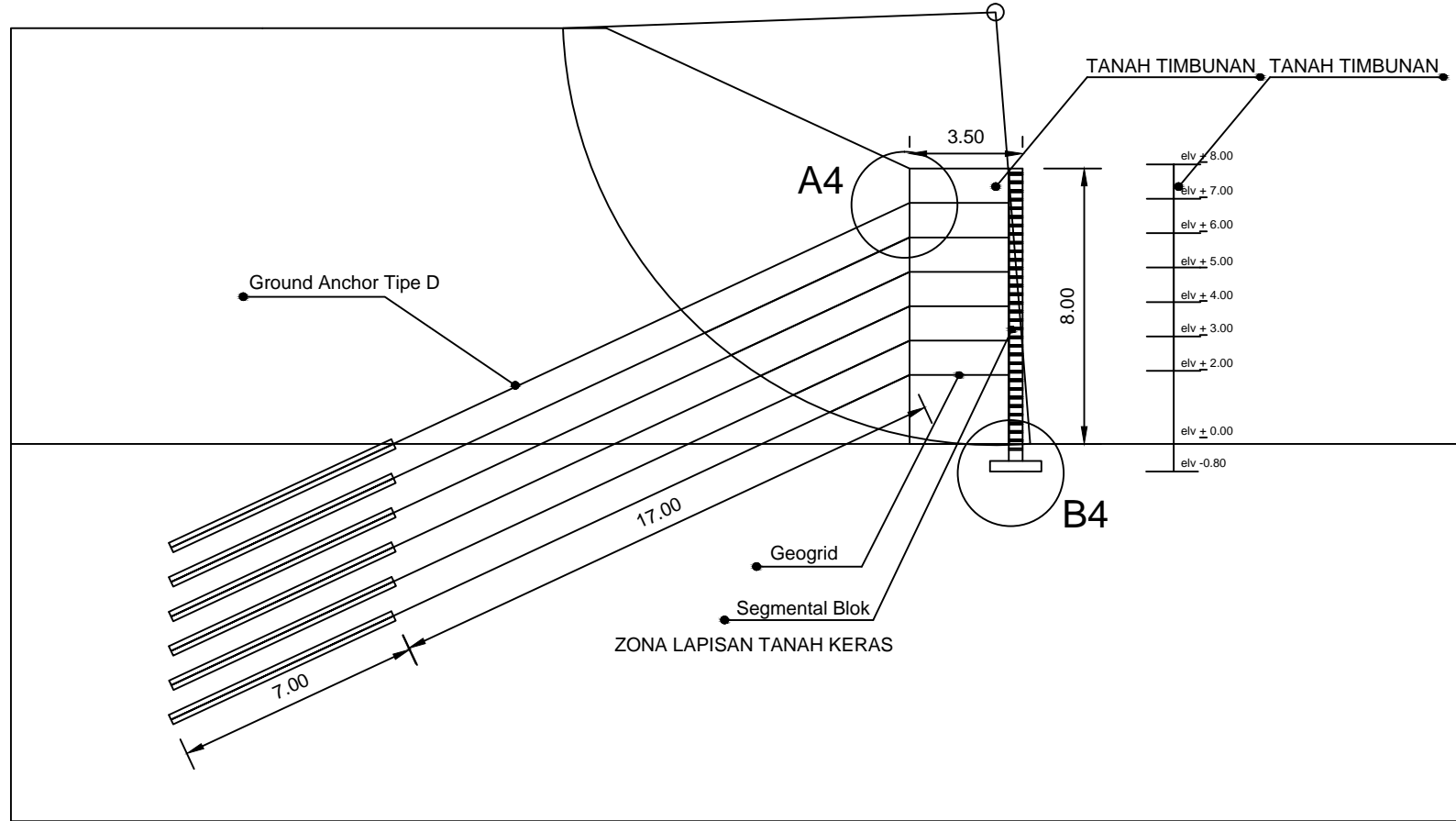


POTONGAN 3
SKALA 1:200

KETERANGAN :

- DIAMETER GROUTING 0,3 M
- PANJANG FIXED LENGTH 7 M
- PANJANG FREE LENGTH 19 M
- SEGMENTAL BLOK 585 X 300 X 200
- GEOGRID TENSILE STRENGHT 160 KN/M

	JUDUL TUGAS AKHIR	GAMBAR	SKALA	DOSEN PEMBIMBING	MAHASISWA
	PERENCANAAN PERKUATAN TANAH PADA KELONGSORAN TALUD RSUD BALIKPAPAN DENGAN KOMBINASI SEGMENTAL BLOK GEOGRID DAN GROUND ANCHOR	POTONGAN 3	1:200 JUMLAH 4/15	Putu Tantri Kumala S.,ST.MT Ir. Suwarno, M.Eng	Slamet Rohadi Budi Prasetyo NRP.03111745000029

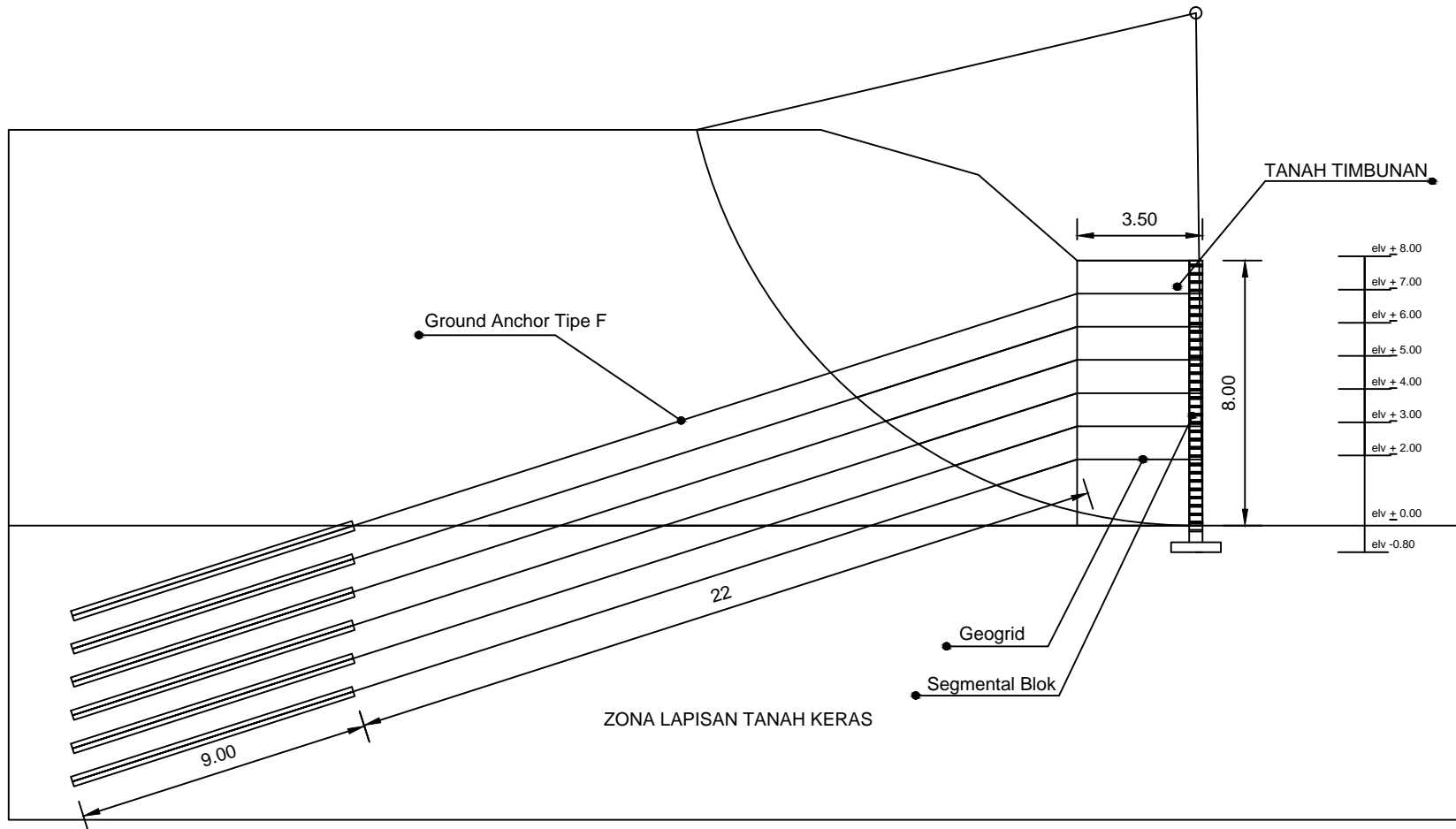


POTONGAN 4
SKALA 1:200

KETERANGAN :

- DIAMETER GROUTING 0,3 M
- PANJANG FIXED LENGTH 7 M
- PANJANG FREE LENGTH 17 M
- SEGMENTAL BLOK 585 X 300 X 200
- GEOGRID TENSILE STRENGHT 160 KN/M

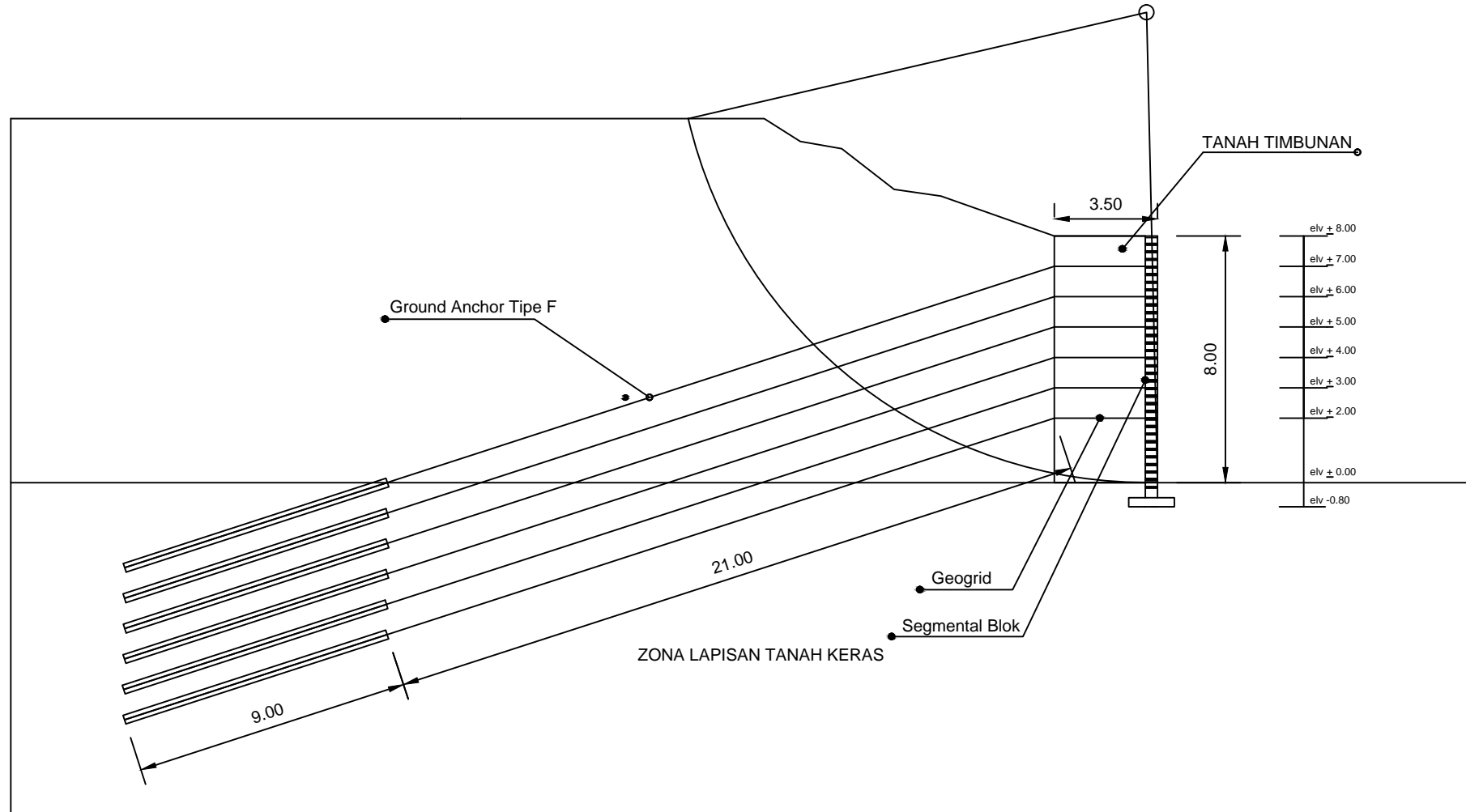
	JUDUL TUGAS AKHIR	GAMBAR	SKALA	DOSEN PEMBIMBING	MAHASISWA
	PERENCANAAN PERKUATAN TANAH PADA KELONGSORAN TALUD RSUD BALIKPAPAN DENGAN KOMBINASI SEGMENTAL BLOK GEOGRID DAN GROUND ANCHOR	POTONGAN 4	1:200 JUMLAH 5/15	Putu Tantri Kumala S.,ST,MT Ir. Suwarno, M.Eng	Slamet Rohadi Budi Prasetyo NRP.03111745000029



KETERANGAN :

- DIAMETER GROUTING 0,3 M
- PANJANG FIXED LENGTH 9 M
- PANJANG FREE LENGTH 22 M
- SEGMENTAL BLOK 585 X 300 X 200
- GEOGRID TENSILE STRENGHT 160 KN/M

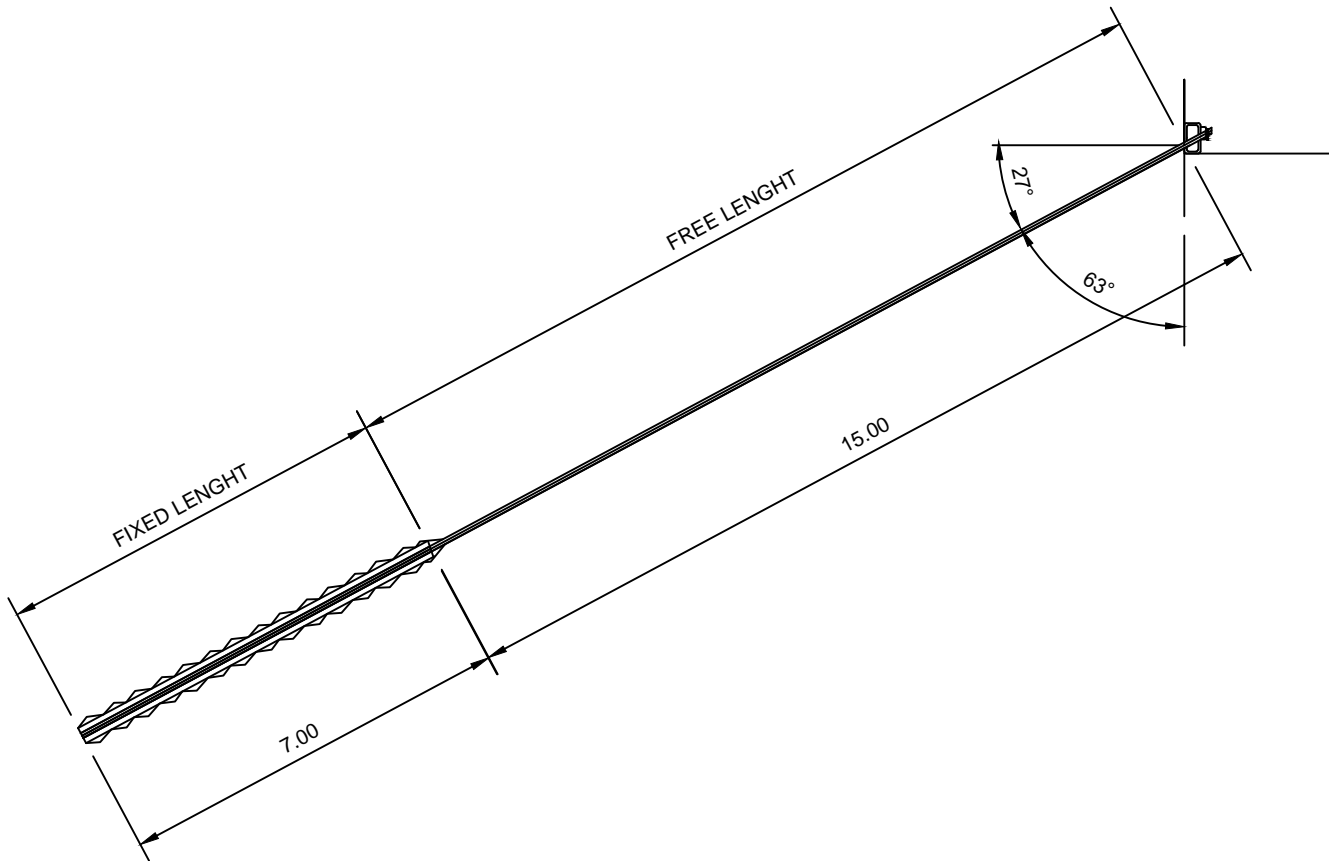
	JUDUL TUGAS AKHIR	GAMBAR	SKALA	DOSEN PEMBIMBING	MAHASISWA
	PERENCANAAN PERKUATAN TANAH PADA KELONGSORAN TALUD RSUD BALIKPAPAN DENGAN KOMBINASI SEGMENTAL BLOK GEOGRID DAN GROUND ANCHOR	POTONGAN 5	Putu Tantri Kumala S.,ST.MT JUMLAH 6/15	Ir. Suwarno, M.Eng	<u>Slamet Rohadi Budi Prasetyo</u> <u>NRP.03111745000029</u>



KETERANGAN :

- DIAMETER GROUTING 0,3 M
- PANJANG FIX LENGTH 9 M
- PANJANG FREE LENGTH 21 M
- SEGMENTAL BLOK 585 X 300 X 200
- GEOGRID TENSILE STRENGTH 160 KN/M

	JUDUL TUGAS AKHIR	GAMBAR	SKALA	DOSEN PEMBIMBING	MAHASISWA	
	PERENCANAAN PERKUATAN TANAH PADA KELONGSORAN TALUD RSUD BALIKPAPAN DENGAN KOMBINASI SEGMENTAL BLOK GEOGRID DAN GROUND ANCHOR	POTONGAN 6	1:200	Putu Tantri Kumala S.,ST.MT	<u>Slamet Rohadi Budi Prasetyo</u> <u>NRP.03111745000029</u>	
			JUMLAH	<u>Ir. Suwarno, M.Eng</u>		
			7/15			



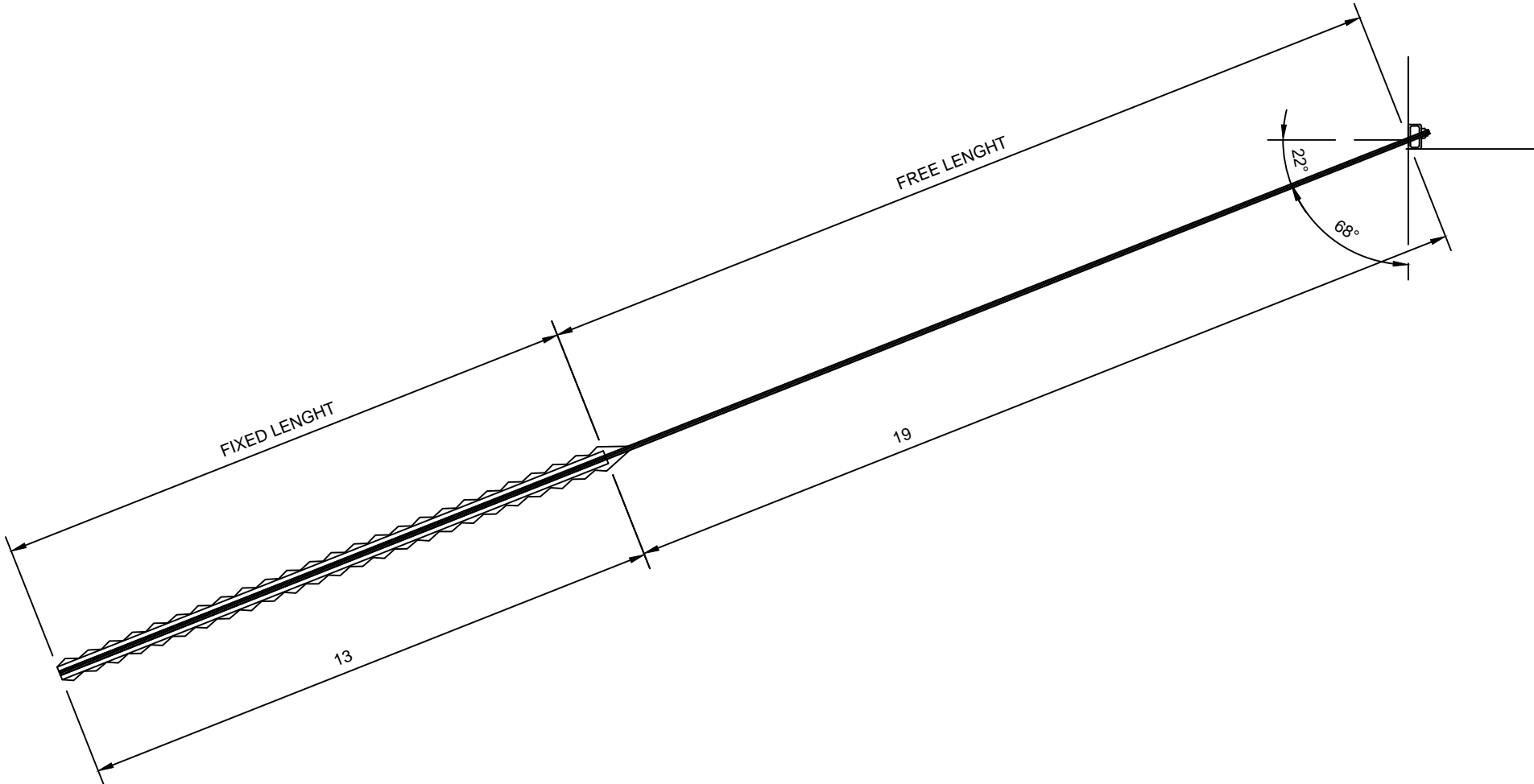
GROUND ANCHOR TIPE A

SKALA 1:150

KETERANGAN :

- DIAMETER GROUTING 0,3 M
- DIAMETER TENDON 32 MM
- ULTIMATE LOAD 828 KN
- ULTIMATE STRENGHT 1030 KN/M2

	JUDUL TUGAS AKHIR	GAMBAR	SKALA	DOSEN PEMBIMBING	MAHASISWA
	PERENCANAAN PERKUATAN TANAH PADA KELONGSORAN TALUD RSUD BALIKPAPAN DENGAN KOMBINASI SEGMENTAL BLOK GEOGRID DAN GROUND ANCHOR	Ground Anchor Tipe A	1:150 JUMLAH 8/15	Putu Tantri Kumala S.,ST.MT Ir. Suwarno, M.Eng	Slamet Rohadi Budi Prasetyo NRP.03111745000029



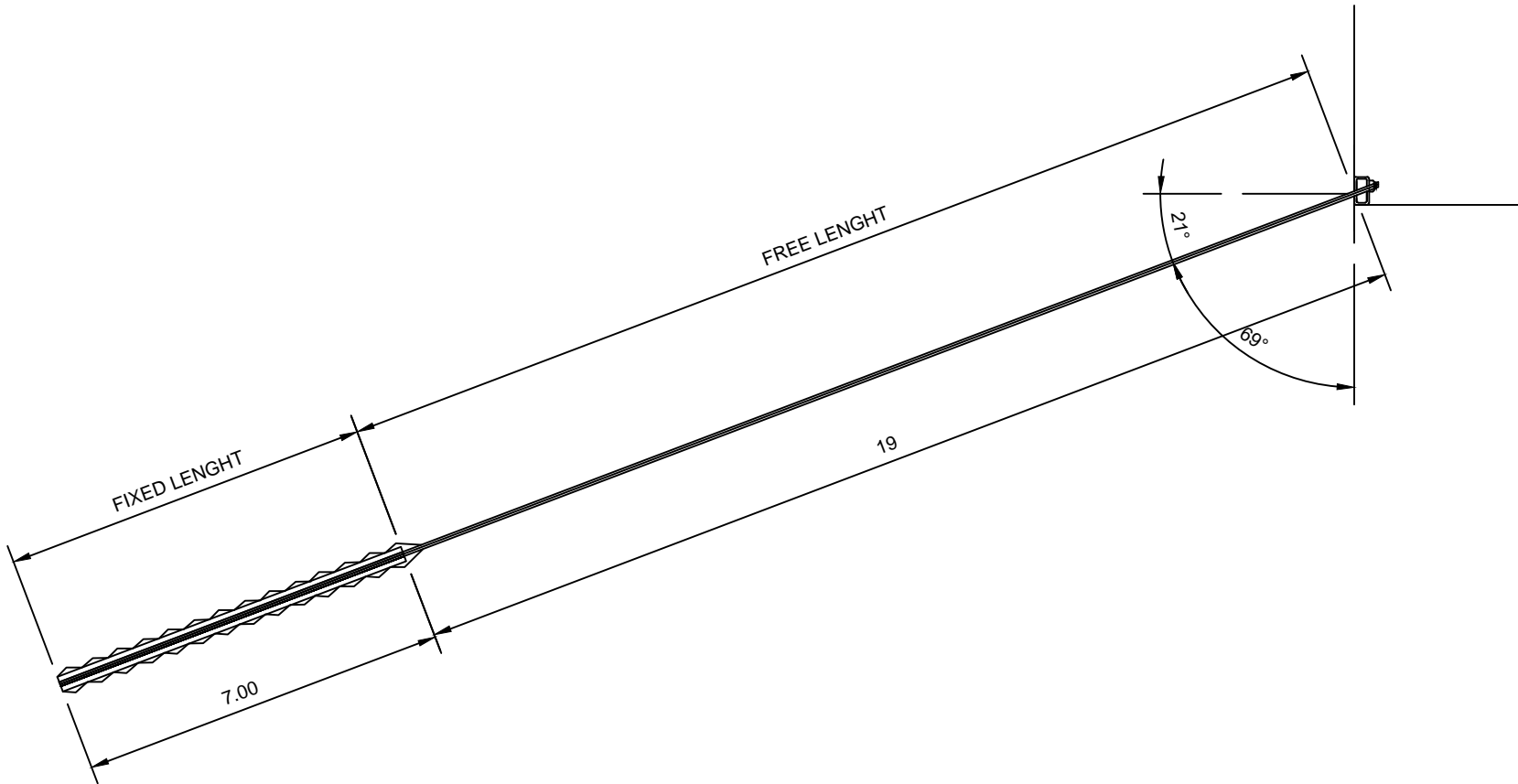
GROUND ANCHOR TIPE B

SKALA 1:150

KETERANGAN :

- DIAMETER GROUTING 0,3 M
- DIAMETER TENDON 32 MM
- ULTIMATE LOAD 828 KN
- ULTIMATE STRENGHT 1030 KN/M2

	JUDUL TUGAS AKHIR	GAMBAR	SKALA	DOSEN PEMBIMBING	MAHASISWA	
	PERENCANAAN PERKUATAN TANAH PADA KELONGSORAN TALUD RSUD BALIKPAPAN DENGAN KOMBINASI SEGMENTAL BLOK GEOGRID DAN GROUND ANCHOR	Ground Anchor Tipe B	1:150	Putu Tantri Kumala S.,ST,MT	Slamet Rohadi Budi Prasetyo NRP.03111745000029	
			JUMLAH	Ir. Suwarno, M.Eng		
			9/15			

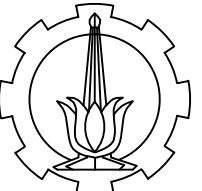


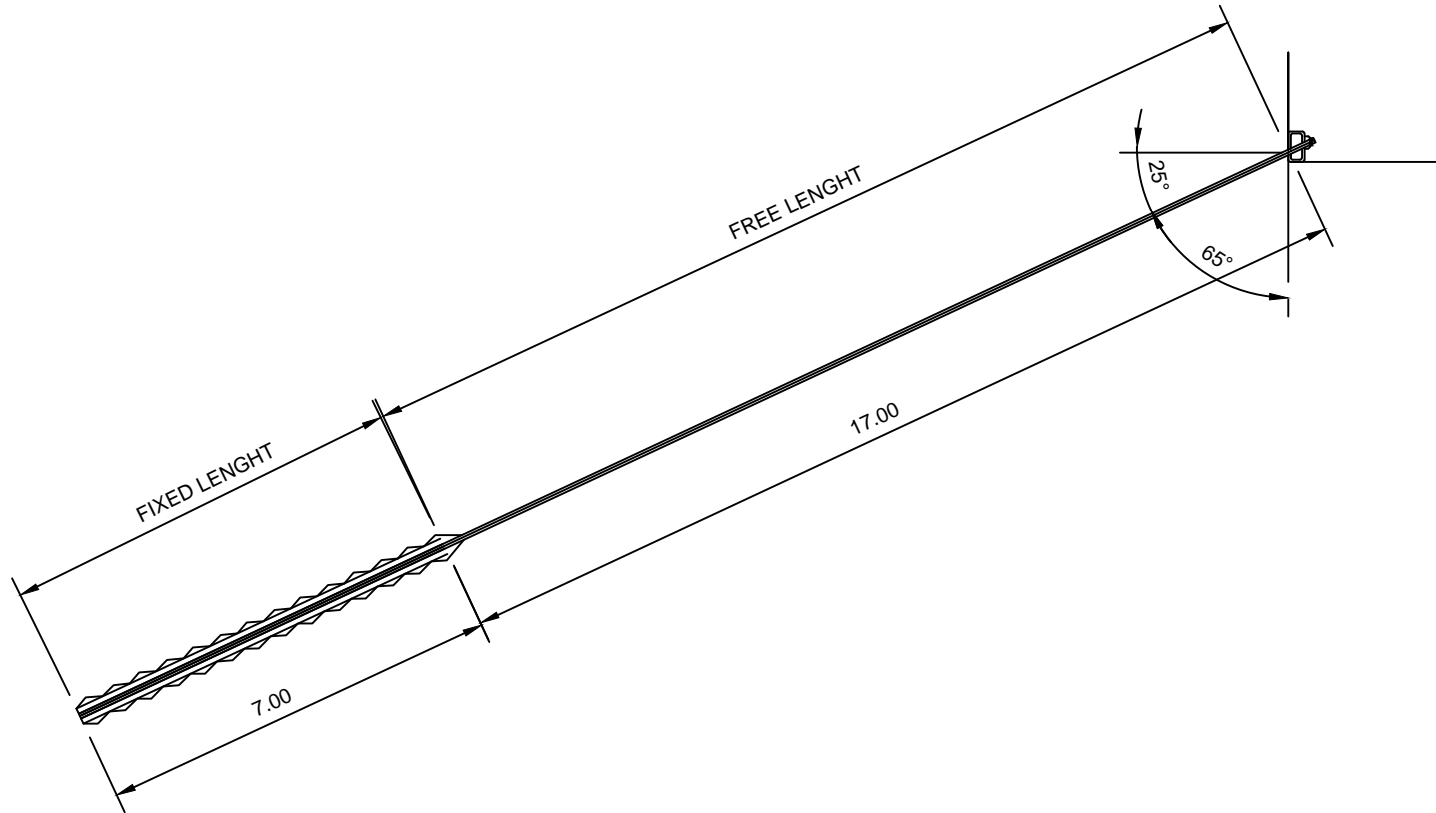
GROUND ANCHOR TIPE C

SKALA 1:150

KETERANGAN :

- DIAMETER GROUTING 0,3 M
- DIAMETER TENDON 32 MM
- ULTIMATE LOAD 828 KN
- ULTIMATE STRENGHT 1030 KN/M2

	JUDUL TUGAS AKHIR	GAMBAR	SKALA	DOSEN PEMBIMBING	MAHASISWA	
	PERENCANAAN PERKUATAN TANAH PADA KELONGSORAN TALUD RSUD BALIKPAPAN DENGAN KOMBINASI SEGMENTAL BLOK GEOGRID DAN GROUND ANCHOR	Ground Anchor Tipe C	1:150	Putu Tantri Kumala S.,ST.MT	<u>Slamet Rohadi Budi Prasetyo</u> NRP.03111745000029	
			JUMLAH	Ir. Suwarno, M.Eng		
			10/15			



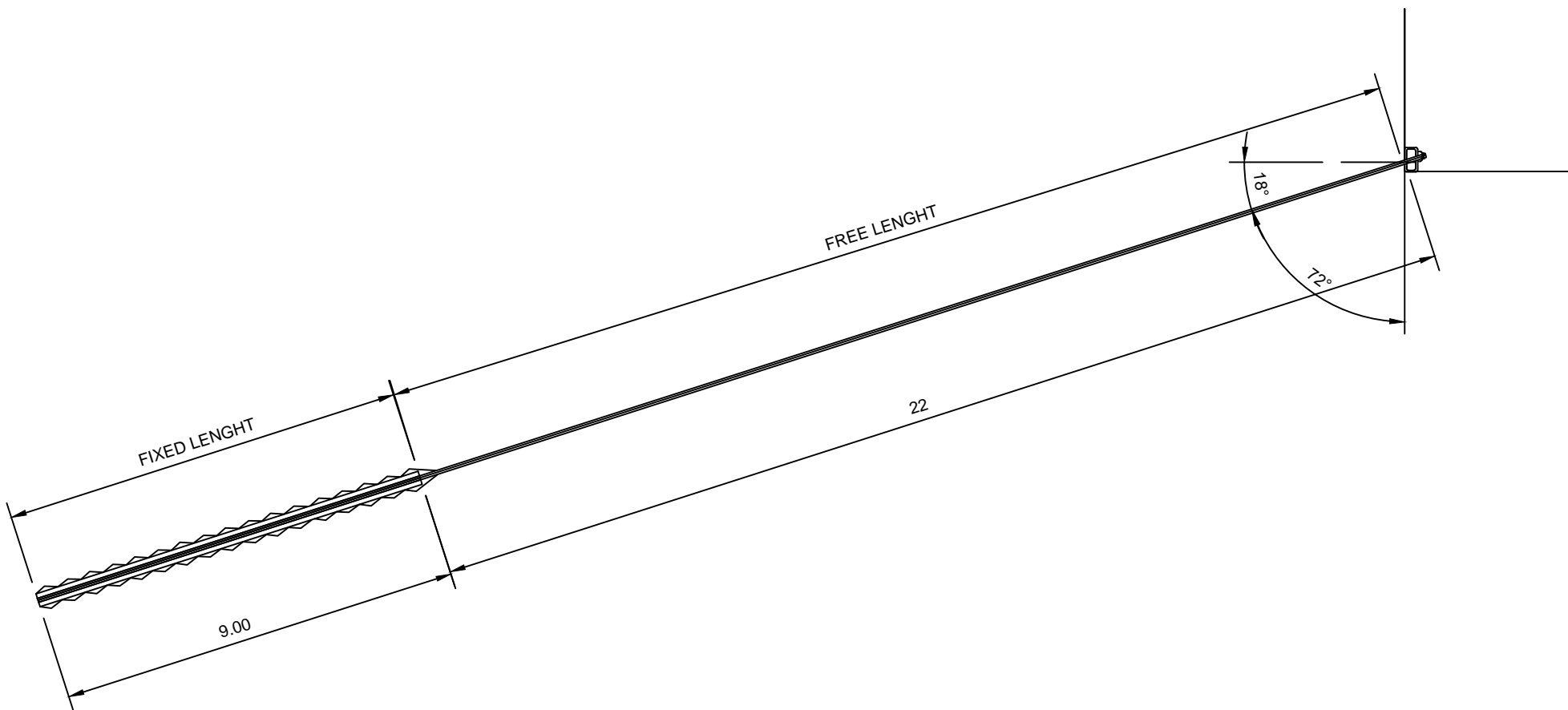
GROUND ANCHOR TIPE D

SKALA 1:150

KETERANGAN :

- DIAMETER GROUTING 0,3 M
- DIAMETER TENDON 32 MM
- ULTIMATE LOAD 828 KN
- ULTIMATE STRENGHT 1030 KN/M2

	JUDUL TUGAS AKHIR	GAMBAR	SKALA	DOSEN PEMBIMBING	MAHASISWA
	PERENCANAAN PERKUATAN TANAH PADA KELONGSORAN TALUD RSUD BALIKPAPAN DENGAN KOMBINASI SEGMENTAL BLOK GEOGRID DAN GROUND ANCHOR	Ground Anchor Tipe D	1:150	Putu Tantri Kumala S.,ST.MT	Slamet Rohadi Budi Prasetyo NRP.0311174500029
			JUMLAH		
			11/15	Ir. Suwarno, M.Eng	



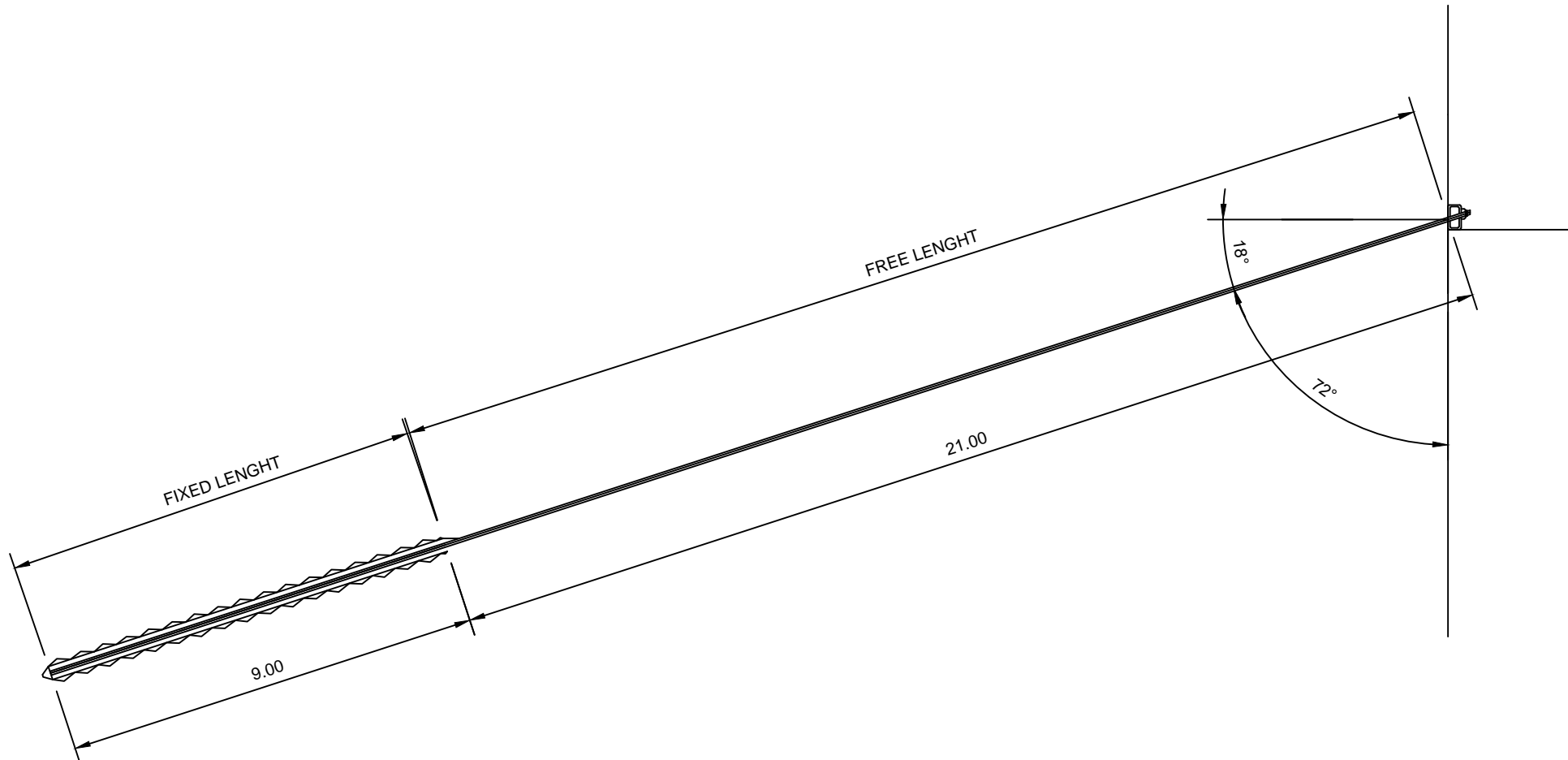
GROUND ANCHOR TIPE E

SKALA 1:150

KETERANGAN :

- DIAMETER GROUTING 0,3 M
- DIAMETER TENDON 32 MM
- ULTIMATE LOAD 828 KN
- ULTIMATE STRENGHT 1030 KN/M2

	JUDUL TUGAS AKHIR	GAMBAR	SKALA	DOSEN PEMBIMBING	MAHASISWA
	PERENCANAAN PERKUATAN TANAH PADA KELONGSORAN TALUD RSUD BALIKPAPAN DENGAN KOMBINASI SEGMENTAL BLOK GEOGRID DAN GROUND ANCHOR	Ground Anchor Tipe E	1:150	Putu Tantri Kumala S,ST,MT	<u>Slamet Rohadi Budi Prasetyo</u> <u>NRP.03111745000029</u>
			JUMLAH		
			12/15	Ir. Suwarno, M.Eng	



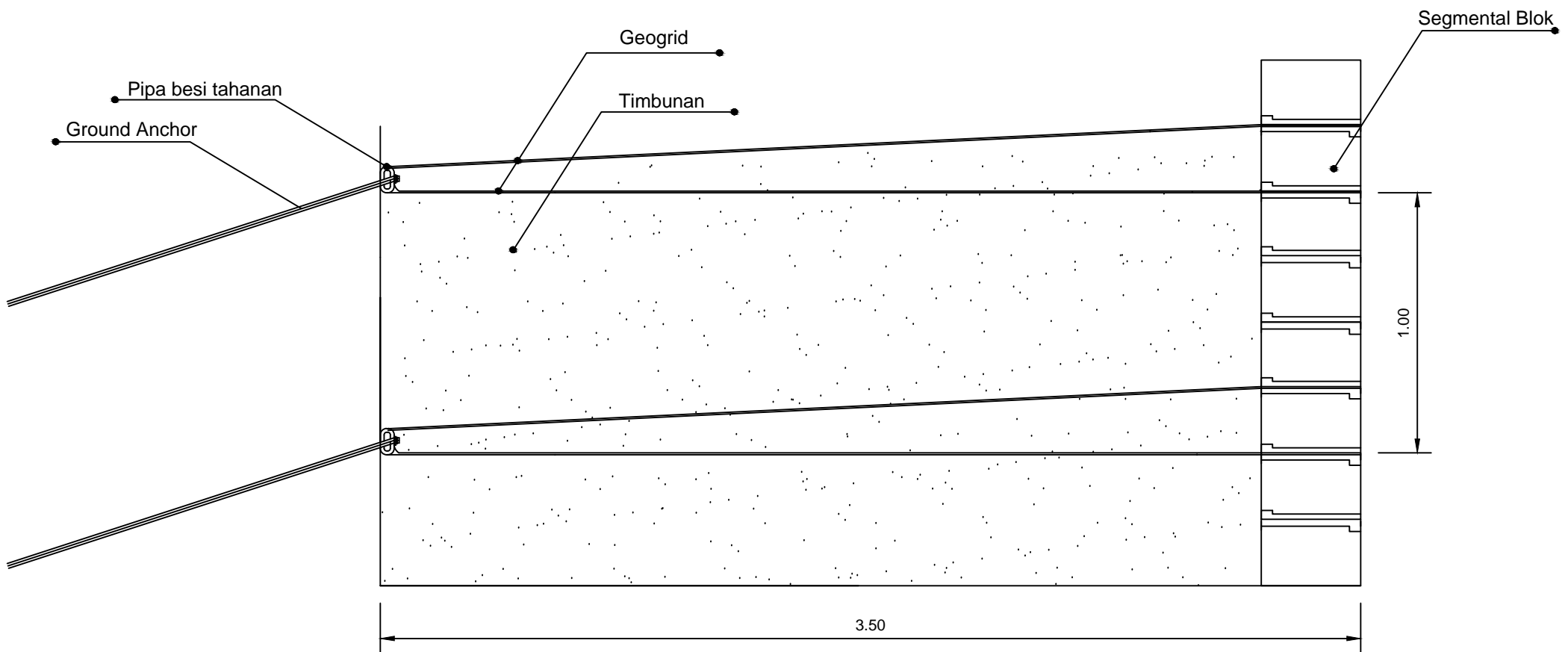
GROUND ANCHOR TIPE F

SKALA 1:150

KETERANGAN :

- DIAMETER GROUTING 0,3 M
- DIAMETER TENDON 32 MM
- ULTIMATE LOAD 828 KN
- ULTIMATE STRENGHT 1030 KN/M2

	JUDUL TUGAS AKHIR	GAMBAR	SKALA	DOSEN PEMBIMBING	MAHASISWA	
	PERENCANAAN PERKUATAN TANAH PADA KELONGSORAN TALUD RSUD BALIKPAPAN DENGAN KOMBINASI SEGMENTAL BLOK GEOGRID DAN GROUND ANCHOR	Ground Anchor Tipe F	1:150	Putu Tantri Kumala S.,ST.MT	<u>Slamet Rohadi Budi Prasetyo</u> <u>NRP.0311174500029</u>	
			JUMLAH	<u>Ir. Suwarno, M.Eng</u>		
			13/15			



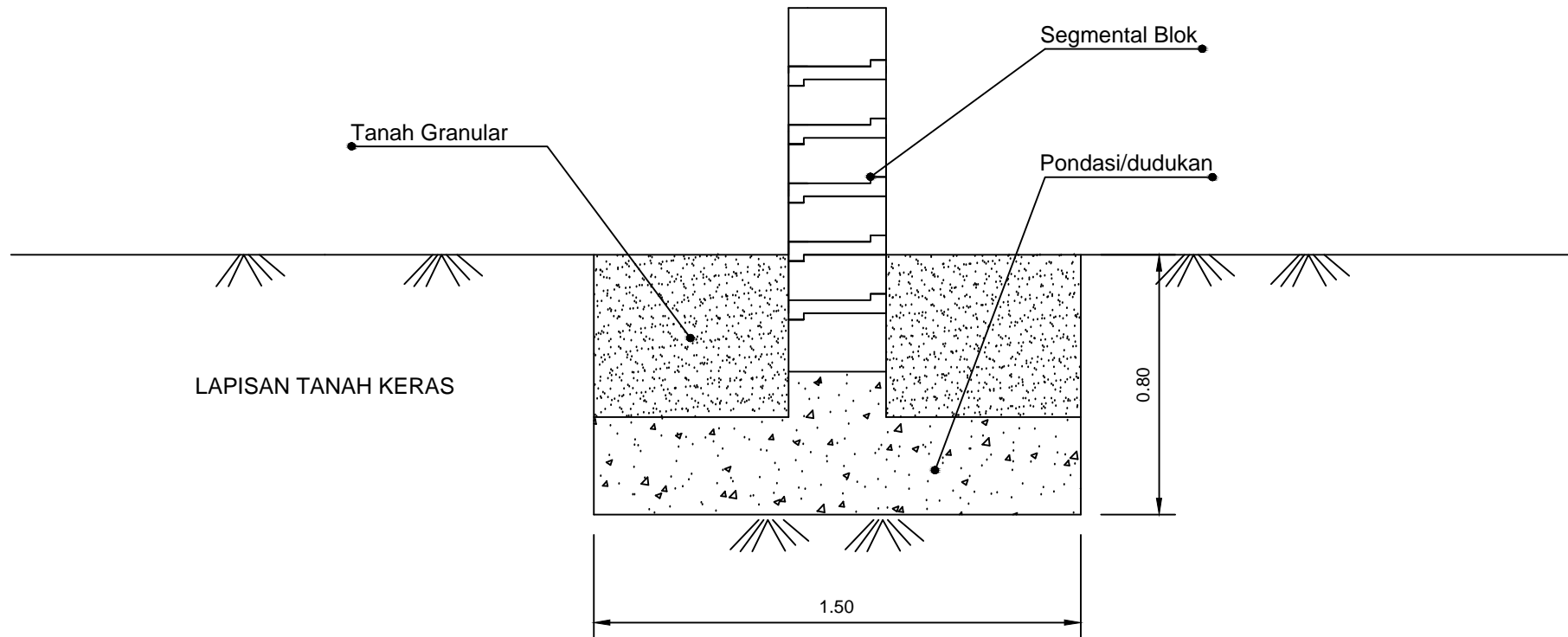
KONEKSI ANTAR PERKUATAN

SKALA 1:20

KETERANGAN :

- DIAMETER GROUTING 0,3 M
- DIAMETER TENDON 32 MM
- ULTIMATE LOAD TENDON 828 KN
- SEGMENTAL BLOK 585 X 300 X 200
- GEGRID TENSILE STRENGHT 160 KN/M

	JUDUL TUGAS AKHIR	GAMBAR	SKALA	DOSEN PEMBIMBING	MAHASISWA
	PERENCANAAN PERKUATAN TANAH PADA KELONGSORAN TALUD RSUD BALIKPAPAN DENGAN KOMBINASI SEGMENTAL BLOK GEOGRID DAN GROUND ANCHOR	Koneksi Antar Perkuatan	1:20	Putu Tantri Kumala S.,ST,MT Ir. Suwarno, M.Eng	Slamet Rohadi Budi Prasetyo NRP.03111745000029
			JUMLAH		
			14/15		



DETAIL DUDUKAN SEGMENTAL BLOK

SKALA 1:20

KETERANGAN :

- SEGMENTAL BLOK 585 X 300 X 200

	JUDUL TUGAS AKHIR	GAMBAR	SKALA	DOSEN PEMBIMBING	MAHASISWA
	PERENCANAAN PERKUATAN TANAH PADA KELONGSORAN TALUD RSUD BALIKPAPAN DENGAN KOMBINASI SEGMENTAL BLOK GEOGRID DAN GROUND ANCHOR	Detail Dudukan Segmental Blok	1:20 JUMLAH 15/15	Putu Tantri Kumala S,ST,MT Ir. Suwarno, M.Eng	Slamet Rohadi Budi Prasetyo NRP.0311174500029

BIODATA PENULIS



Penulis lahir di Pasuruan, pada tanggal 20 Mei 1996 dengan nama lengkap Slamet Rohadi Budi Prasetyo. Penulis merupakan anak pertama dari 2 bersaudara. Pendidikan formal yang telah ditempuh yaitu SDN Alastlogo III, SMPN 2 Nguling, SMAN 1 Grati.

Setelah lulus dari SMAN 1 Jember Penulis melanjutkan jenjang studi Diploma 3 dibidang Teknik Sipil di Universitas Jember. Kemudian pada tahun 2017, Penulis melanjutkan Studi Strata 1 bidang Teknik Sipil di Institut Teknologi Sepuluh Nopember Surabaya. Selama kuliah dijurusan Teknik Sipil ITS, penulis tertarik pada bidang studi Geoteknik terutama pada kasus perkuatan tanah. Oleh karena itu, pada Tugas Akhir ini penulis mengambil topik bahasan mengenai perencanaan perkuatan talud. Pernulis berharap agar Tugas Akhir ini dapat bermanfaat bagi pembaca serta bagi penulis sendiri. Apabila pembaca ingin berkorespondensi dengan penulis, dapat melalui email : slametrpb20@gmail.com